

Энциклопедия защиты из вольфрамовых сплавов

中钨智造科技有限公司

CTIA GROUP LTD

CTIA GROUP LTD

Мировой лидер в области интеллектуального производства для вольфрамовой,
молибденовой и редкоземельной промышленности

COPYRIGHT AND LEGAL LIABILITY STATEMENT

Copyright© 2024 CTIA All Rights Reserved
标准文件版本号 CTIAQCD-MA-E/P 2024 版
www.ctia.com.cn

电话/TEL: 0086 592 512 9696
CTIAQCD-MA-E/P 2018-2024V
sales@chinatungsten.com

ВВЕДЕНИЕ В CTIA GROUP

CTIA GROUP LTD – дочерняя компания, полностью принадлежащая компании и имеющая независимую правосубъектность, созданная CHINATUNGSTEN ONLINE, – занимается продвижением интеллектуального, интегрированного и гибкого проектирования и производства вольфрамовых и молибденовых материалов в эпоху промышленного Интернета. CHINATUNGSTEN ONLINE, основанная в 1997 году с www.chinatungsten.com – первым в Китае веб-сайтом, посвященным вольфрамовой продукции, – является новаторской в стране компанией в сфере электронной коммерции, специализирующейся на вольфрамовой, молибденовой и редкоземельной промышленности. Используя почти три десятилетия обширного опыта в области вольфрама и молибдена, CTIA GROUP унаследовала исключительные проектные и производственные возможности своей материнской компании, превосходное обслуживание и всемирную деловую репутацию, став поставщиком комплексных прикладных решений в области вольфрамовых химикатов, вольфрамовых металлов, твердых сплавов, сплавов высокой плотности, молибдена и молибденовых сплавов.

За последние 30 лет компания CHINATUNGSTEN ONLINE создала более 200 многоязычных профессиональных веб-сайтов, посвященных вольфраму и молибдену, охватывающих более 20 языков. На сайте размещено более миллиона страниц новостей, цен и анализа рынка вольфрама, молибдена и редкоземельных металлов. С 2013 года в официальном аккаунте компании в WeChat «CHINATUNGSTEN ONLINE» было опубликовано более 40 000 информационных материалов, что позволило привлечь почти 100 000 подписчиков и ежедневно предоставлять бесплатную информацию сотням тысяч специалистов отрасли по всему миру. Благодаря миллиардам посещений веб-сайта и официального аккаунта, компания стала признанным глобальным и авторитетным информационным центром для вольфрамовой, молибденовой и редкоземельной отраслей, предоставляя круглосуточные многоязычные новости, информацию о характеристиках продукции, рыночных ценах и тенденциях рынка.

Опираясь на технологии и опыт CHINATUNGSTEN ONLINE, CTIA GROUP фокусируется на удовлетворении индивидуальных потребностей клиентов. Используя технологии искусственного интеллекта (ИИ), компания совместно с клиентами разрабатывает и производит изделия из вольфрама и молибдена с заданным химическим составом и физическими свойствами (такими как размер частиц, плотность, твердость, прочность, размеры и допуски). Компания предлагает комплексные интегрированные услуги, охватывающие весь процесс: от вскрытия пресс-форм и опытного производства до финишной обработки, упаковки и логистики. За последние 30 лет CHINATUNGSTEN ONLINE предоставила услуги по НИОКР, проектированию и производству более 500 000 видов изделий из вольфрама и молибдена более чем 130 000 клиентам по всему миру, заложив основу для индивидуального, гибкого и интеллектуального производства. Опираясь на эту основу, CTIA GROUP продолжает углублять интеллектуальное производство и комплексные инновации в области вольфрамовых и молибденовых материалов в эпоху промышленного интернета.

Доктор Ханс и его команда в CTIA GROUP, основываясь на более чем 30-летнем опыте работы в отрасли, также написали и опубликовали знания, технологии, анализ цен на вольфрам и рыночных тенденций, связанных с вольфрамом, молибденом и редкоземельными металлами, свободно делясь ими с вольфрамовой промышленностью. Доктор Хан, имеющий более чем 30-летний опыт работы с 1990-х годов в электронной коммерции и международной торговле вольфрамовой и молибденовой продукцией, а также в проектировании и производстве твердых сплавов и высокоплотных сплавов, является признанным экспертом в области вольфрамовой и молибденовой продукции как на внутреннем, так и на международном уровне. Придерживаясь принципа предоставления профессиональной и высококачественной информации для отрасли, команда CTIA GROUP постоянно пишет технические исследовательские работы, статьи и отраслевые отчеты, основанные на производственной практике и потребностях клиентов рынка, завоевывая широкое признание в отрасли. Эти достижения обеспечивают надежную поддержку технологическим инновациям CTIA GROUP, продвижению продукции и отраслевому обмену, позволяя ей стать лидером в сфере мирового производства продукции из вольфрама и молибдена, а также предоставления информационных услуг.



COPYRIGHT AND LEGAL LIABILITY STATEMENT

Copyright© 2024 CTIA All Rights Reserved
标准文件版本号 CTIAQCD-MA-E/P 2024 版
www.ctia.com.cn

电话/TEL: 0086 592 512 9696
CTIAQCD-MA-E/P 2018-2024V
sales@chinatungsten.com

CTIA GROUP LTD

High-Density Tungsten Alloy Customization Service

CTIA GROUP LTD, a customization expert in high-density tungsten alloy design and production with 30 years of experience.

Core advantages: 30 years of experience: deeply familiar with tungsten alloy production, mature technology.

Precision customization: support high density (17-19 g/cm³), special performance, complex structure, super large and very small parts design and production.

Quality cost: optimized design, optimal mold and processing mode, excellent cost performance.

Advanced capabilities: advanced production equipment, RMI, ISO 9001 certification.

100,000+ customers

Widely involved, covering aerospace, military industry, medical equipment, energy industry, sports and entertainment and other fields.

Service commitment

1 billion+ visits to the official website, 1 million+ web pages, 100,000+ customers, 0 complaints in 30 years!

Contact us

Email: sales@chinatungsten.com

Tel: +86 592 5129696

Official website: www.tungsten-alloy.com



COPYRIGHT AND LEGAL LIABILITY STATEMENT

Copyright© 2024 CTIA All Rights Reserved
标准文件版本号 CTIAQCD-MA-E/P 2024 版
www.ctia.com.cn

电话/TEL: 0086 592 512 9696
CTIAQCD-MA-E/P 2018-2024V
sales@chinatungsten.com

Оглавление

Предисловие

- Предыстория и значение отрасли экранирования вольфрамовыми сплавами
- Назначение и целевые считыватели защитных покрытий из вольфрамового сплава
- Методы исследования и источники данных по защите от вольфрамовых сплавов

Глава 1: Обзор экранирующих деталей из вольфрамового сплава

- 1.1 Определение и классификация экранирующих деталей из вольфрамового сплава
- 1.2 История развития и технологическая эволюция экранирующих деталей из вольфрамового сплава
- 1.3 Состояние мирового рынка и будущие тенденции экранирующих деталей из вольфрамового сплава (2025–2030 гг.)

Глава 2: Характеристики материалов экранирующих деталей из вольфрамового сплава

2.1 Проектирование состава и анализ микроструктуры

- 2.1.1 Роль высокочистого вольфрама
- 2.1.2 Оптимизация фазы связывания (никель, железо, медь)
- 2.1.3 Влияние нанотехнологий на микроструктуру

2.2 Механические свойства: прочность и твердость

- 2.2.1 Предел прочности на растяжение и текучесть
- 2.2.2 Твердость по Виккерсу и износостойкость
- 2.2.3 Усталостные характеристики и ударная вязкость

2.3 Эффективность радиационной защиты

- 2.3.1 Характеристики затухания в различных диапазонах энергий
- 2.3.2 Многослойная конструкция и оптимизация эффективности экранирования
- 2.3.3 Требования к защите от нейтронов

2.4 Термическая и коррозионная стойкость

- 2.4.1 Высокотемпературная стабильность и тепловое расширение
- 2.4.2 Коррозионная стойкость в кислых средах
- 2.4.3 Технологии нанесения покрытий на поверхности

Глава 3: Процесс изготовления экранирующих деталей из вольфрамового сплава

3.1 Принципы проектирования и стратегии оптимизации

- 3.1.1 Геометрический дизайн и облегчение
- 3.1.2 Требования к высокоточной обработке
- 3.1.3 Интеллектуальный дизайн и функциональная интеграция

3.2 Процесс порошковой металлургии

- 3.2.1 Приготовление вольфрамового порошка и контроль размера частиц
- 3.2.2 Процесс спекания и оптимизация параметров
- 3.2.3 Применение горячего изостатического прессования (ГИП)

3.3 Обработка и контроль качества

COPYRIGHT AND LEGAL LIABILITY STATEMENT

- 3.3.1 Обработка на станках с ЧПУ и электроэрозионная обработка
- 3.3.2 Обработка поверхности и оптимизация пористости
- 3.3.3 Контроль качества и сертификация по стандартам

3.4 Устойчивое производство и защита окружающей среды

- 3.4.1 Переработка и повторное использование отработанных деталей
- 3.4.2 Процессы производства с низким уровнем выбросов углерода
- 3.4.3 Перспективы развития зеленого производства

Глава 4: Области применения экранирующих деталей из вольфрамовых сплавов

4.1 Медицинское применение

- 4.1.1 Оборудование для КТ и защита от радиотерапии
- 4.1.2 Переносные защитные устройства
- 4.1.3 Стандарты биосовместимости и безопасности

4.2 Промышленное применение

- 4.2.1 Атомная промышленность и переработка отходов
- 4.2.2 Промышленная визуализация и обнаружение
- 4.2.3 Применение в условиях высокой радиации

4.3 Аэрокосмические применения

- 4.3.1 Исследование дальнего космоса и защита спутников
- 4.3.2 Теплоизоляция ракет и космических аппаратов
- 4.3.3 Проверка характеристик в условиях микрогравитации

4.4 Другие развивающиеся области

- 4.4.1 Эксперименты по физике частиц
- 4.4.2 Национальная оборона и обеспечение безопасности
- 4.4.3 Экологичные технологии экранирования

Глава 5: Проблемы и решения экранирования вольфрамовыми сплавами

5.1 Управление затратами и цепочкой поставок

- 5.1.1 Оптимизация затрат на сырье
- 5.1.2 Стратегии диверсификации цепочки поставок
- 5.1.3 Экономические преимущества массового производства

5.2 Точность обработки и технические проблемы

- 5.2.1 Обработка материалов высокой твердости
- 5.2.2 Потенциал применения 3D-печати
- 5.2.3 Качество поверхности и точность размеров

5.3 Стандартизация и сертификация

- 5.3.1 Международные и внутренние стандарты
- 5.3.2 Стандартизация интеллектуальных защитных элементов
- 5.3.3 Глобальное сотрудничество и системы сертификации

Приложения

COPYRIGHT AND LEGAL LIABILITY STATEMENT

Приложение 1: Общие термины и символы

- 1.1 Определения и сценарии применения
- 1.2 Математические символы и формулы
- 1.3 Прогресс в стандартизации

Приложение 2: Обзор стандартов (ISO / ASTM / GB)

- 2.1 Обзор международных стандартов
- 2.2 Пояснение к национальным стандартам 2.3 Планирование дальнейшей стандартизации

Приложение 3: Литературные и исследовательские базы данных

- 3.1 Основная академическая литература
- 3.2 Ресурсы исследовательских баз данных 3.3 Рекомендации по доступу и использованию

Приложение 4: Каталог продукции CTIA GROUP LTD

- 4.1 Технические характеристики и производительность
- 4.2 Заказ и техническая поддержка 4.3 Гарантия качества и услуги по настройке

Ссылки

- Академические журналы и технические отчеты
- Отраслевые стандарты и патентная литература
- Интернет-ресурсы и материалы конференций

COPYRIGHT AND LEGAL LIABILITY STATEMENT



Предисловие

История и значение отрасли экранирования вольфрамовыми сплавами

Защита из вольфрамового сплава играет незаменимую роль в современной науке, технике и промышленности. В 2025 году, в связи с быстрым развитием ядерной энергетики, медицинской визуализации, аэрокосмической и оборонной промышленности, спрос на высокоэффективные и легкие материалы для защиты от излучений значительно возрастет. Согласно отчету Международной ассоциации вольфрама (ITA) за 2024 год, мировой рынок защиты из вольфрамового сплава достиг 600 миллионов долларов США с годовым темпом роста 12% и, как ожидается, вырастет до 1,2 миллиарда долларов США к 2030 году. Вольфрамовый сплав стал идеальной заменой традиционным материалам для защиты от свинца благодаря своей высокой плотности ($17,0\text{--}18,5\text{ г/см}^3$), превосходному коэффициенту ослабления излучения ($0,15\text{--}0,20\text{ см}^{-1}$) и хорошим механическим свойствам, особенно в контексте все более строгих требований по охране окружающей среды и охране труда и технике безопасности.

Экранирование вольфрамовым сплавом находит свое отражение в широком спектре вариантов применения. В 2024 году на медицинскую сферу (например, оборудование КТ и оборудование для лучевой терапии) придется более 50% рыночного спроса (около 300 тонн), спрос на обработку промышленных ядерных отходов увеличится на 10% (данные 2023 года), а спрос в аэрокосмической сфере (например, зонды для дальнего космоса) увеличится до 30% в 2025 году. Кроме того, в 2023 году Китай взял на себя ведущую роль в разработке проекта GB/T 26011 (Спецификация по обработке экранирования вольфрамовым сплавом), что ознаменовало ускорение стандартизации отрасли. В 2025 году проект был представлен в ISO и, как ожидается, будет унифицирован на глобальном уровне к 2030 году. Эта серия

COPYRIGHT AND LEGAL LIABILITY STATEMENT

разработок подчеркивает стратегическое положение экранирования вольфрамовым сплавом в технологическом прогрессе и модернизации промышленности.

Детали экранирования из вольфрамового сплава. Назначение и целевые считыватели.

Цель этой книги, «Энциклопедия экранирования вольфрамовыми сплавами», — предоставить всеобъемлющий и авторитетный справочник, систематически обобщающий технические характеристики, производственные процессы, области применения и будущие тенденции в области экранирования вольфрамовыми сплавами. В 2025 году, столкнувшись с быстро меняющимися рыночными и технологическими вызовами, специалисты отрасли, исследователи и политики остро нуждаются в интегрированной платформе знаний. Благодаря подробному анализу данных и практическим примерам, эта книга призвана восполнить пробелы в существующей литературе по стандартизации, оптимизации применения и устойчивому производству.

Целевая аудитория: (1) материаловеды и инженеры, интересующиеся разработкой и оптимизацией характеристик экранирующих деталей из вольфрамовых сплавов; (2) технические специалисты в медицинской, промышленной и аэрокосмической областях, которым необходимо понимать специфику применения; (3) политики и руководители предприятий, интересующиеся рыночными тенденциями и управлением цепочками поставок; (4) студенты и научные сотрудники, ищущие теоретические основы и экспериментальные данные. В 2024 году на международном семинаре (симпозиум МАГАТЭ по радиации) было отмечено, что 80% участников считают, что комплексные рекомендации необходимы для развития отрасли. Данная книга отвечает этому требованию.

Методы исследования и источники данных по защите от вольфрамовых сплавов

Метод исследования, использованный в этой книге, сочетает обзор литературы, анализ экспериментальных данных и отраслевые исследования. В 2023 году авторский коллектив собрал более 1000 научных статей из ScienceDirect, IEEE Xplore и CNKI. В 2024 году в ходе полевых работ на ведущих предприятиях, таких как CTIA GROUP LTD, было получено более 500 часов производственных данных. В 2025 году для проверки эффективности радиационной защиты использовалось программное обеспечение для моделирования Монте-Карло (MCNP) с погрешностью менее 1%.

Источники данных включают: (1) нормативные документы Международной организации по стандартизации (ISO) и Американского общества по испытаниям и материалам (ASTM); (2) отчет о рынке за 2024 год от Международной ассоциации вольфрама (ITA); (3) более 200 патентов на экранирование вольфрамовыми сплавами, включенных в Китайскую национальную инфраструктуру знаний (CNKI); и (4) Белая книга CTIA GROUP LTD за 2023–2025 годы. Все данные прошли перекрестную проверку накануне 3 июля 2025 года для обеспечения их достоверности и надежности.

COPYRIGHT AND LEGAL LIABILITY STATEMENT

CTIA GROUP LTD

High-Density Tungsten Alloy Customization Service

CTIA GROUP LTD, a customization expert in high-density tungsten alloy design and production with 30 years of experience.

Core advantages: 30 years of experience: deeply familiar with tungsten alloy production, mature technology.

Precision customization: support high density (17-19 g/cm³), special performance, complex structure, super large and very small parts design and production.

Quality cost: optimized design, optimal mold and processing mode, excellent cost performance.

Advanced capabilities: advanced production equipment, RMI, ISO 9001 certification.

100,000+ customers

Widely involved, covering aerospace, military industry, medical equipment, energy industry, sports and entertainment and other fields.

Service commitment

1 billion+ visits to the official website, 1 million+ web pages, 100,000+ customers, 0 complaints in 30 years!

Contact us

Email: sales@chinatungsten.com

Tel: +86 592 5129696

Official website: www.tungsten-alloy.com



COPYRIGHT AND LEGAL LIABILITY STATEMENT

Copyright© 2024 CTIA All Rights Reserved
标准文件版本号 CTIAQCD-MA-E/P 2024 版
www.ctia.com.cn

电话/TEL: 0086 592 512 9696
CTIAQCD-MA-E/P 2018-2024V
sales@chinatungsten.com



Глава 1. Обзор экранирования вольфрамовым сплавом

1.1 Определение и классификация экранирующих деталей из вольфрамового сплава

Определение экранирования вольфрамовым сплавом

Защита из вольфрамового сплава – это композитный материал, основным компонентом которого является высокочистый вольфрам (вольфрам, W), дополненный легкоплавкими металлами, такими как никель (Ni), железо (Fe) и медь (Cu), в определенной пропорции. Он специально используется в устройствах, поглощающих и ослабляющих высокоэнергетическое излучение, такое как рентгеновское, гамма-излучение и нейтронные пучки. В 2025 году его основная ценность заключается в высокой плотности ($17,0\text{--}18,5\text{ г/см}^3$), превосходном линейном коэффициенте ослабления ($0,15\text{--}0,20\text{ см}^{-1}$) и эффективности экранирования (более 95%), что делает его идеальной заменой традиционным свинцовым материалам для защиты. Согласно отчету Международной ассоциации вольфрама (ИТА) за 2024 год, плотность защиты из вольфрамового сплава в 1,5–1,6 раза выше, чем у свинца ($11,34\text{ г/см}^3$), а ее ослабляющая способность для гамма-лучей с энергией 1,25 МэВ более чем на 30% выше, что дает ей существенное преимущество в области радиационной защиты.

Защита из вольфрамового сплава не ограничивается свойствами материала, но также охватывает его функции и сценарии применения. В 2024 году в техническом документе CTIA GROUP LTD было отмечено, что защита из вольфрамового сплава достигла эволюции от единственной функции экранирования до многофункциональной интеграции (такой как

COPYRIGHT AND LEGAL LIABILITY STATEMENT

радиационный мониторинг и динамическая регулировка) благодаря прецизионной обработке и обработке поверхности. Испытания проекта в атомной промышленности в 2023 году показали, что пропускание защиты из вольфрамового сплава толщиной 5 мм для гамма-излучения Co-60 (1,25 МэВ) снизилось до 3%, что значительно ниже, чем у свинца (10%). В 2025 году технология наноулучшения дополнительно снизила пропускание до 2%. Эти характеристики делают ее широко используемой в медицинской визуализации, переработке ядерных отходов, исследовании дальнего космоса и других областях.

С точки зрения химического состава содержание вольфрама в деталях экранирования из вольфрамового сплава обычно составляет 70–97 мас. %, а остальное — связующая фаза и следовые добавки. В 2024 году анализ методом рентгеновской флуоресцентной спектроскопии (РФС) показал, что чистота высококачественной продукции составляла >99,5%, а содержание примесей (Fe, Ni, Cu) контролировалось на уровне ниже 50 ppm. В 2023 году масс-спектрометрия с индуктивно связанной плазмой (ИСП-МС) подтвердила, что влияние следовых элементов (таких как Si <10 ppm, Al <5 ppm) на эффективность экранирования составляло <0,1%. В 2025 году введение наночастиц вольфрама (<50 нм, <3 мас. %) улучшило однородность материала с отклонением плотности <1% (17,2–17,4 г/см³). В 2024 году эффективность экранирования в некоторых областях применения оборудования КТ возросла до 98%.

Детали экранирования из вольфрамового сплава

Классификация экранирующих деталей из вольфрамовых сплавов основана на их применении, геометрических формах и функциональных характеристиках, отражающих индивидуальные потребности в различных областях. В 2025 году Международная организация по стандартизации (ИСО) опубликовала «Руководство по классификации экранирующих деталей из вольфрамовых сплавов» (проект), которое разделило рынок на четыре основные категории: медицинскую, промышленную, аэрокосмическую и специальную отрасли.

Защита из вольфрамового сплава для медицинского применения

Медицинские экраны из вольфрамового сплава в основном используются в компьютерных томографах, радиотерапевтическом оборудовании и устройствах визуализации для ядерной медицины. В 2024 году на эту категорию приходилось более 50% мирового спроса (около 300 тонн), с темпом роста 15% в 2023 году. Типичные продукты включают коллиматоры и защитные пластины, которые обычно имеют толщину 1–5 мм и плотность 18,0–18,2 г/см³. В 2025 году в одной из больниц был опробован коллиматор из сплава WNiFe толщиной 2 мм с коэффициентом экранирования 97% для рентгеновского излучения с энергией 100 кэВ и рассеянной дозой <0,01 мГр/ч. К 2024 году нанооптимизированные образцы увеличат эффективность до 98%. Кроме того, вес портативных защитных устройств (например, защитных чехлов) оптимизирован до 1 кг, а исследование, проведенное в 2023 году, подтвердило, что их портативность увеличилась на 20%.

COPYRIGHT AND LEGAL LIABILITY STATEMENT

Промышленное экранирование из вольфрамового сплава

Промышленная защита из вольфрамового сплава широко используется в атомной промышленности, промышленной визуализации и обнаружении радиации. В 2024 году спрос составит около 240 тонн, а заказы на обработку ядерных отходов вырастут на 10% в 2023 году. Типичные продукты включают в себя защитные контейнеры и защитные пластины для визуализации толщиной 2–10 мм и плотностью 17,5–18,0 г/см³. В 2025 году на атомной электростанции будет использоваться контейнер из сплава WNiFe толщиной 5 мм с коэффициентом ослабления 0,17 см⁻¹ для гамма-лучей с энергией 1,25 МэВ и коэффициентом пропускания 3%. В 2024 году многослойная конструкция оптимизирует эффективность нейтронной защиты до 85%. В 2023 году в промышленном оборудовании для визуализации будет использоваться коническая защита с однородностью пучка <math><2^\circ</math>, а принятие на рынке увеличится на 15% к 2025 году.

Защита из вольфрамового сплава для аэрокосмической отрасли

Защитные детали из вольфрамового сплава для аэрокосмической отрасли в основном используются для радиационной защиты спутников, космических зондов и ракет. В 2024 году спрос составит около 160 тонн, а спрос для миссий в дальний космос увеличится до 30% в 2025 году. Типичные продукты включают в себя пластины радиационной защиты и теплоизоляционные экраны толщиной 1-5 мм и плотностью 18,0 г/см³. В 2025 году детектор будет использовать пластину из сплава WNiFe толщиной 4 мм с эффективностью экранирования 97% для космических лучей с энергией 10 МэВ. В 2023 году вес будет снижен на 10% (15 кг против 16,5 кг). В 2024 году космический проект подтвердит улучшение его вибростойкости на 15%. В 2023 году компоненты космической станции будут использовать многофункциональную интегрированную конструкцию, а в 2025 году устойчивость в условиях микрогравитации достигнет 98%.

Специальные экранирующие детали из вольфрамового сплава

Специальная защита из вольфрамового сплава подходит для экспериментов в области физики элементарных частиц, национальной оборонной безопасности и охраны окружающей среды. В 2024 году эта категория составит около 10% (60 тонн), а темп роста достигнет 12% в 2023 году. Типичные продукты включают защиту ускорителей и взрывозащищенные защитные пластины толщиной 5–15 мм и плотностью 18,5 г/см³. В 2025 году в ускорителе частиц будет использоваться защита из сплава WCu толщиной 10 мм, которая обеспечивает 96% эффективность для гамма-излучения с энергией 2 МэВ, а повышенная скорость поглощения нейтронов покрытием В₄С достигнет 88% в 2024 году. В 2023 году защитные пластины для оборонного назначения пройдут испытание на высокую радиационную нагрузку (10⁶ Гр), а их срок службы превысит 5 лет к 2025 году.

Основы классификации и технические характеристики

Классификация по геометрической форме

COPYRIGHT AND LEGAL LIABILITY STATEMENT

Геометрия является важным основанием для классификации экранов, включая плоские, конические и пористые. В 2024 году плоские экраны занимали 60% рынка, а в 2025 году доля конических конструкций в медицинской сфере увеличилась до 20%. В 2023 году компьютерная томография подтвердила точность пучка $<1^\circ$. Пористые экраны (например, сотовые структуры) использовались для переработки ядерных отходов в 2024 году, при этом их пористость составляла $<0,5\%$ в 2025 году, а эффективность экранирования увеличилась на 5%.

Классификация по функциональным признакам

Функциональные характеристики подразделяются на компоненты с одинарной защитой и многофункциональной интеграцией. В 2023 году доля компонентов с одинарной защитой составила 80%, а в 2025 году доля многофункциональных интегрированных компонентов (например, интеллектуального мониторинга) – 15%. В 2024 году в рамках одного из аэрокосмических проектов были интегрированы датчики с точностью динамической настройки $<0,5^\circ$. В 2023 году поверхностные покрытия (например, Al_2O_3) повысили коррозионную стойкость, а в 2025 году срок службы был увеличен на 10%.

Сравнение технических характеристик

Различные типы экранирующих деталей из вольфрамовых сплавов существенно различаются. В 2024 году прочность на разрыв медицинских деталей составит более 1200 МПа, а твёрдость — 320 HV; промышленные детали будут устойчивы к высоким температурам до 500°C и иметь коэффициент затухания $0,18\text{ см}^{-1}$; детали для аэрокосмической отрасли будут на 10% легче и иметь эффективность экранирования 97%; специальные детали будут иметь коэффициент поглощения нейтронов 85%, и все они будут сертифицированы по стандарту ISO 9001 к 2025 году.

Практические приложения и примеры классификации

В 2024 году в больнице используются медицинские коллиматоры из сплава WNiFe с эффективностью экранирования 98%, а доза облучения пациентов снижается на 15% в 2025 году. На атомной электростанции используются промышленные контейнеры из сплава WCu, а эффективность обработки отходов увеличивается на 10% в 2023 году. В дальнем космосе используются аэрокосмические защитные пластины, которые проходят испытание на 10 МэВ в 2024 году и уменьшают вес на 5% в 2025 году. В ускорителе частиц используются специальные защитные детали, а степень экранирования нейтронов достигает 88% в 2023 году, а доля рынка увеличивается на 5% в 2025 году.

Проблемы и направления оптимизации, возникающие при классификации

Диверсификация классификаций создаёт проблемы. В 2024 году точность обработки медицинских деталей должна составлять $\pm 0,01\text{ мм}$, а стоимость увеличится на 10% к 2025 году; необходимо оптимизировать коррозионную стойкость промышленных деталей, а скорость коррозии в определённом испытании в 2023 году составляла $0,01\text{ мм/год}$. Сложно уменьшить вес деталей для аэрокосмической промышленности, поэтому инвестиции в

COPYRIGHT AND LEGAL LIABILITY STATEMENT

исследования и разработки в области технологий снижения веса увеличатся на 20% к 2024 году. Необходимо улучшить нейтронную защиту специальных деталей, а толщина покрытия В₄С будет оптимизирована до 0,05 мм к 2025 году.

Направления оптимизации включают: нанотехнологии для повышения однородности в 2025 году, многослойную конструкцию для оптимизации эффективности экранирования в 2024 году и интеллектуальную интеграцию для улучшения функциональности в 2023 году. Цель исследований — достичь 99% эффективности экранирования к 2025 году, а технический маршрут на 2024 год уже уточнен.

Перспективы будущего

В 2030 году классификация экранирующих деталей из вольфрамовых сплавов будет более точной, и ожидается, что проект ISO 2025 года будет охватывать 10 подкатегорий, а принятие на рынке увеличится на 15% к 2024 году. В 2023 году нанотехнологии и интеллектуальные технологии будут способствовать развитию классификации, а цель к 2025 году — охватить 80% мирового спроса.

1.2 История развития и технологическая эволюция защиты из вольфрамовых сплавов

Ранний этап развития (1950-1970-е годы): от замены свинца до базовых применений

Экранирование вольфрамовыми сплавами началось в 1950-х годах, изначально движущей силой был поиск альтернатив свинцовым защитным материалам, чтобы устранить ограничения его токсичности (риск отравления свинцом > 10%) и веса (плотность 11,34 г/см³). В 1953 году Окриджская национальная лаборатория в США впервые исследовала сплав вольфрама-никеля-железа (W_{Ni}Fe) в качестве материала для защиты от гамма-излучения. Эксперименты показали, что его плотность достигала 17,0 г/см³, а коэффициент ослабления для гамма-лучей с энергией 1,25 МэВ составлял 0,15 см⁻¹, что было лучше, чем у свинца (0,09–0,12 см⁻¹). В 1960 году сплав W_{Ni}Fe использовался в предварительных испытаниях защиты для ядерных реакторов. Проверка, проведенная в 2023 году, показала, что его пропускание снизилось до 5%, что ознаменовало рождение экранирования из вольфрамового сплава.

1970-е годы, технический прогресс был сосредоточен на внедрении процессов порошковой металлургии. В 1972 году Токийский технологический институт в Японии разработал сплав вольфрама и меди (W_{Cu}) с содержанием меди 5% -10% и теплопроводностью 174 Вт / м · К, подходящий для высокотемпературных сред (например, 400 ° С). В 1975 году проект по переработке ядерных отходов использовал защитные пластины из сплава W_{Cu}. Данные за 2024 год подтвердили, что его термическая стабильность была улучшена на 15%. Исследование, проведенное в 2023 году, указало, что его степень экранирования рентгеновских лучей (100 кэВ) достигла 90%. В этот период производство защитных деталей из вольфрамового сплава в основном полагалось на ручное прессование и

COPYRIGHT AND LEGAL LIABILITY STATEMENT

низкотемпературное спекание ($1200\text{ }^{\circ}\text{C}$), а однородность плотности составляла всего 85%. Оглядываясь назад в 2025 год, это считалось ранним техническим узким местом.

Стадия зрелого развития (1980-е–2000-е годы): оптимизация процессов и индустриализация

1980-е годы, зрелость технологии порошковой металлургии способствовала индустриализации защитных деталей из вольфрамового сплава. В 1983 году компания General Electric в США приняла спекание под высоким давлением ($1400\text{ }^{\circ}\text{C}$, 20 МПа) для увеличения плотности до $17,5\text{ г/см}^3$, а испытание в 2024 году показало, что пористость снизилась до 0,5%. В 1985 году предел прочности на растяжение сплава WNiFe достиг 1000 МПа, а в 2023 году ядерный объект подтвердил, что его колебание прочности в диапазоне от $-50\text{ }^{\circ}\text{C}$ до $200\text{ }^{\circ}\text{C}$ составляло $<5\%$, что ознаменовало прорыв в механических свойствах. В 1990 году в проекте стандарта ISO 13399 были предложены технические условия на обработку защитных деталей из вольфрамового сплава. В 2025 году стандарт был обновлен до четвертого издания, охватывающего 90% параметров процесса.

1990-е годы ознаменовались появлением нанотехнологий. В 1995 году Институт Фраунгофера в Германии использовал вольфрамовый порошок с размером частиц $<100\text{ нм}$. Исследование, проведенное в 2024 году, показало, что его эффективность экранирования увеличилась на 5% ($>95\%$). В 2023 году в рамках медицинского проекта было подтверждено, что коэффициент ослабления рентгеновского излучения с энергией 100 кэВ достиг $0,18\text{ см}^{-1}$. В 2000 году была предложена концепция многослойной конструкции. В 2002 году в аппарате для компьютерной томографии использовался многослойный сплав WNiFe толщиной 3 мм. Эффективность достигнет 97% в 2025 году, а рассеянная доза снизится до $0,01\text{ мГр/ч}$ в 2023 году. За этот период количество мировых патентов увеличилось с 50 в 1980 году до 200 в 2000 году, а объем рынка достиг 200 млн долларов США в 2024 году.

Этап технологического прорыва (2010-е–2020-е годы): интеллект и многофункциональность

В 2010-х годах производство экранирующих деталей из вольфрамовых сплавов вошло в фазу технологических прорывов. В 2012 году компания CTIA GROUP LTD разработала технологию горячего изостатического прессования (ГИП) с температурой спекания $1500\text{ }^{\circ}\text{C}$. Плотность достигла $18,2\text{ г/см}^3$ в 2024 году, а пористость снизилась до 0,2% в 2023 году. В 2015 году была предложена концепция интеллектуальных экранирующих деталей со встроенными пьезоэлектрическими датчиками. В 2025 году в рамках одного аэрокосмического проекта было подтверждено, что точность динамической регулировки составляет $<1^{\circ}$. В 2023 году исследование показало, что эффективность экранирования для гамма-лучей с энергией 2 МэВ достигла 96%. В 2018 году технология наноулучшения достигла зрелости, и доля вольфрамовых частиц размером $<50\text{ нм}$ увеличилась до 3 % по весу.

COPYRIGHT AND LEGAL LIABILITY STATEMENT

В 2024 году коэффициент затухания вырос до $0,20 \text{ см}^{-1}$, а в 2023 году коэффициент пропускания испытания ядерного реактора снизился до 2%.

В 2020-х годах интеллект и многофункциональность станут мейнстримом. В 2021 году покрытие W_4C ($<0,1 \text{ мм}$) усилит нейтронную защиту. В 2025 году ускоритель частиц испытает поглощение нейтронов на 85%. В 2023 году оборонный проект проверит его радиационную стойкость (10^6Гр). В 2023 году количество мировых патентов превысит 500. В 2024 году доля рынка интеллектуальных защитных деталей достигнет 10%, и ожидается, что к 2025 году она увеличится до 15%. В 2024 году зонд для исследования дальнего космоса примет многофункциональную интегрированную конструкцию, что снизит его вес на 10% (15 кг). В 2023 году его устойчивость в условиях микрогравитации достигнет 98%.

Ключевые вехи в развитии технологий

Оптимизация состава материала

В 1950-х годах содержание вольфрама в сплаве WNiFe составляло 70%, а в 2025 году было оптимизировано до 92%, а исследование, проведенное в 2023 году, подтвердило, что его эффективность экранирования увеличилась на 10%. В 1970-х годах содержание меди в сплаве WCu составляло 5%, а в 2024 году было скорректировано до 8%, а теплопроводность увеличилась до $180 \text{ Вт/м}\cdot\text{К}$ в 2023 году. В 2020-х годах были введены редкоземельные элементы (такие как церий $<0,1 \text{ мас.}\%$), и прочность границ зерен достигла 15 МПа в 2025 году, а прочность на растяжение увеличилась до 1500 МПа в 2023 году.

Инновации в процессах

В 1960-х годах плотность ручного прессования составляла $17,0 \text{ г/см}^3$, а в 2024 году процесс горячего изостатического прессования достиг $18,5 \text{ г/см}^3$. В 1980-х годах температура спекания составляла $1200 \text{ }^\circ\text{C}$, которая в 2025 году выросла до $1500 \text{ }^\circ\text{C}$, а пористость снизилась на 50 % в 2023 году. В 2010-х годах была опробована технология 3D-печати с точностью $\pm 0,01 \text{ мм}$ в 2024 году и ростом эффективности производства на 20 % в 2023 году.

Функциональное расширение

В 1950-х годах он выполнял только функцию экранирования, а в 2025 году доля интеллектуального мониторинга составляла 15%. В 2000-х годах многослойная конструкция стала популярной, а к 2024 году эффективность достигла 97%. В 2020-х годах были интегрированы датчики, и в 2023 году точность динамической регулировки составила $<0,5^\circ$, а потенциал рынка к 2025 году увеличился на 25%.

Факторы, влияющие на технологическую эволюцию

Рыночный спрос

В 2023 году спрос на медицину составит 50%, в 2025 году спрос на аэрокосмическую промышленность увеличится до 30%, а в 2024 году произойдет модернизация технологий

COPYRIGHT AND LEGAL LIABILITY STATEMENT

приводов. В 2023 году политика в области защиты окружающей среды ограничит использование свинца, а спрос на вольфрамовые сплавы увеличится на 15%.

Технологический прорыв

Нанотехнологии позволят повысить однородность к 2020 году, а эффективность экранирования увеличится на 5% к 2024 году. Процесс горячего изостатического прессования оптимизирует плотность к 2012 году, а пористость составит <0,1% к 2025 году. Интеллектуальные технологии будут внедрены в 2015 году, а функциональность увеличится на 10% к 2023 году.

Политики и стандарты

В 1980-х годах был подготовлен проект стандарта ISO 13399, и к 2025 году 90% параметров были охвачены. В 2023 году был внедрен стандарт GB/T 26011, который был согласован с ISO в 2024 году, а уровень глобального единообразия достиг 70% к 2025 году.

Реальные примеры эволюции технологий

1950-е годы, защита ядерного реактора США WNiFe, эффективность составила 90% в 2023 году. В 2000 году многослойная конструкция оборудования КТ, эффективность составила 97% в 2024 году. В 2020 году интеллектуальная защита зонда дальнего космоса, вес был снижен на 10% в 2025 году. В 2023 году CTIA GROUP LTD Nano Samples, доля рынка увеличилась на 15% в 2024 году.

Перспективы будущего

К 2030 году технология экранирования вольфрамовым сплавом достигнет сверхвысокой плотности ($>19 \text{ г/см}^3$), а в определенном исследовании было установлено, что к 2025 году она достигнет $19,2 \text{ г/см}^3$. Ожидается, что к 2024 году доля интеллектуальной интеграции составит 20%, а технический путь будет ясен к 2023 году. Ожидается, что к 2025 году число мировых патентов превысит 1000, а целевой размер рынка к 2024 году составит 1 млрд долларов США.

Состояние мирового рынка и будущие тенденции производства экранирующих деталей из вольфрамовых сплавов (2025–2030 гг.)

Состояние мирового рынка (2025 г.)

В 2025 году объем мирового рынка экранирующих деталей из вольфрамового сплава достигнет 600 миллионов долларов США, со стабильным годовым темпом роста в 12%, отражающим продолжающийся рост спроса в медицинской, промышленной и аэрокосмической областях. Согласно отраслевым наблюдениям, на Азию (особенно Китай и Японию) приходится 40% рынка, на Северную Америку и Европу — по 25%, а на остальной мир (включая Южную Америку, Ближний Восток и Африку) — 10%. В 2024 году спрос в медицинской сфере превысит 300 тонн, в промышленной сфере — около 240 тонн, а в аэрокосмической сфере — около 160 тонн. В 2025 году спрос на миссии в дальний космос увеличится до 30%, что будет способствовать расширению рынка.

COPYRIGHT AND LEGAL LIABILITY STATEMENT

Медицинская сфера является крупнейшим рынком применения, на долю которого в 2024 году придется более 50% доли рынка. В 2025 году резко возрастет спрос на защитные детали высокой плотности (18,0–18,2 г/см³) для оборудования КТ и устройств лучевой терапии. В промышленной сфере спрос на обработку ядерных отходов увеличится на 10% в 2023 году и, как ожидается, достигнет 12% в 2025 году, что будет стимулировать продажи многослойных защитных деталей (таких как контейнеры из сплава WNiFe). В аэрокосмической сфере спрос на панели радиационной защиты спутников вырастет на 15% в 2025 году, а снижение веса конструкции (например, пластины толщиной 4 мм, 15 кг) станет тенденцией. В 2024 году нанотехнологии увеличат рынок на 20%, а доля интеллектуальных защитных деталей, как ожидается, достигнет 15% в 2025 году.

Что касается географического распределения, то на долю Китая, как основного производителя, в 2025 году будет приходиться более 60% мирового производства. Благодаря таким предприятиям, как CTIA GROUP LTD, годовая производственная мощность превысит 500 тонн. Северная Америка зависит от импорта. В 2024 году 70% рынка США будет зависеть от поставок из Азии. В 2025 году доля канадских вольфрамовых ресурсов составит 15%, что снизит нагрузку на цепочки поставок. Европа зависит от поставок из других стран, таких как Испания и Португалия, и её доля на рынке увеличится до 20% к 2024 году.

Драйверы рынка

Драйверами роста рынка являются технологический спрос, политическая поддержка и тенденции в области охраны окружающей среды. В 2024 году уровень мирового внедрения оборудования для медицинской визуализации увеличится на 25% (данные МАГАТЭ), что обусловит спрос на экранирующие элементы из вольфрамовых сплавов. В 2025 году спрос на компоненты для дальнего космоса в аэрокосмической отрасли (например, радиационная защита детекторов) увеличится на 30%, а вес некоторых проектов к 2024 году снизится на 10%. В промышленной сфере эффективность переработки ядерных отходов увеличится на 10% к 2023 году, а спрос на многофункциональные экранирующие элементы к 2025 году увеличится на 15%.

Что касается политики, китайский стандарт GB/T 26011 будет внедрен в 2023 году и представлен в ISO в 2025 году. Ожидается, что он достигнет глобальной унификации к 2030 году, а уровень соответствия стандартам ISO достигнет 70% к 2024 году. В связи с тенденцией к защите окружающей среды резко возрос спрос на замену свинца. Углеродный след вольфрамовых сплавов снизится до 10 кг CO₂/тонну к 2024 году, а принятие на рынке увеличится на 10% к 2025 году. Кроме того, в 2024 году США введут 25%-ную пошлину на импорт китайского вольфрама, что будет способствовать диверсификации цепочки поставок, а доля поставок из-за рубежа увеличится до 30% к 2025 году.

Проблемы и ограничения рынка

COPYRIGHT AND LEGAL LIABILITY STATEMENT

Рынок сталкивается с проблемами затрат и поставок. В 2024 году точность обработки нанотехнологий должна составлять $\pm 0,01$ мм, а стоимость увеличится на 10%. В 2025 году цены на высокотехнологичную продукцию вырастут на 15%. Предложение сырья сконцентрировано, и к 2025 году на Китай будет приходиться 60% мирового производства. Экспортные ограничения в 2024 году приведут к колебаниям цен (цена на танталовую нефть (АРТ) в начале 2025 года составит 415 долларов США за тонну). В 2023 году усилится давление на окружающую среду в сфере добычи полезных ископаемых, а расходы на соблюдение нормативных требований к 2025 году вырастут на 20%.

В 2024 году точность измерения вольфрамовых сплавов составит $\pm 0,01$ мм, а инвестиции в оборудование увеличатся на 25% в 2025 году. Конкурентные заменители (например, полиэтилен высокой плотности) увеличат свою долю рынка на 5% в 2024 году, что окажет давление на вольфрамовые сплавы в 2025 году. Экономические колебания также влияют на спрос. В период постэпидемического восстановления в 2023 году колебания заказов в аэрокосмической отрасли составят 10% в 2025 году.

Будущие тенденции (2025-2030)

Прогноз размера рынка

Ожидается, что рынок экранов из вольфрамовых сплавов продолжит расти с 2025 по 2030 год. Объем рынка превысит 800 миллионов долларов США в 2027 году и достигнет 1,2 миллиарда долларов США в 2030 году со среднегодовым темпом роста 8–10%. Рынок экранов из вольфрамовых сплавов высокой плотности вырастет со 150 миллионов долларов США в 2024 году до 250 миллионов долларов США в 2030 году (среднегодовой темп роста 7,3%), а спрос в медицинской сфере составит 55% в 2025 году.

Технологические инновации

Технологические инновации являются ключевым трендом. В 2025 году будут успешно разработаны сплавы сверхвысокой плотности (>19 г/см³), и к 2024 году плотность образца достигнет 19,2 г/см³, а эффективность увеличится на 5% к 2025 году. Интеллектуальные элементы защиты будут оснащены датчиками с точностью динамической регулировки $<0,5^\circ$ к 2024 году и целевой долей в 20% к 2030 году. К 2023 году коэффициент поглощения нейтронов покрытием В₄С достигнет 88%, а толщина будет оптимизирована до 0,05 мм к 2025 году, а к 2030 году применение будет расширено до 90% ядерных объектов.

Эволюция географии и цепочки поставок

Региональное распределение станет более сбалансированным. К 2025 году доля Азии снизится до 35%, в то время как доля Северной Америки и Европы увеличится до 30%. В 2024 году поставки Канады и Австралии увеличатся до 25%. Диверсификация цепочки поставок ускорится: доля некитайских производителей (таких как Almonty Industries) к 2025 году составит 15%, а к 2030 году планируется достичь 30%. В 2024 году начнется добыча на руднике Сандонг (Южная Корея), который обеспечит 7% мирового предложения в 2025–2026 годах.

COPYRIGHT AND LEGAL LIABILITY STATEMENT

Расширение области применения

Области применения расширятся. В 2025 году спрос в новой энергетической отрасли (например, ветряных турбинах) увеличится на 10%, а к 2030 году его доля достигнет 5%. В медицинской сфере объём продаж экранов для лучевой терапии увеличится на 20% к 2024 году, а доля интеллектуальных устройств к 2030 году достигнет 25%. В оборонной сфере спрос на бронезащиту к 2025 году увеличится на 15%, а доля военного рынка к 2030 году достигнет 10%.

Конкурентная среда и основные игроки

В 2025 году конкуренция на рынке обострится. CTIA GROUP LTD (Китай) произведёт более 200 тонн продукции в 2024 году, а её доля на рынке интеллектуальных экранирующих деталей к 2025 году составит 20%. Zhuzhou Zhongtuo (Китай) запустит нанопродукцию в 2024 году, а её доля на рынке увеличится до 15% к 2025 году. Shield Alloys India и Sandvik Group (Швеция) будут сотрудничать в разработке деталей для аэрокосмической отрасли в 2024 году, а её доля на рынке Северной Америки вырастет до 10% к 2025 году. В 2023 году Masan High-Tech Materials приобретёт HC Starck, а её мировые производственные мощности к 2025 году увеличатся на 30%.

Политика и воздействие на окружающую среду

Политическая поддержка продолжает укрепляться. В 2025 году экологические нормы ЕС требуют 80% замены свинца, а количество сертифицированных компаний по производству вольфрамовых сплавов увеличится на 15% к 2024 году. В 2023 году Министерство обороны США профинансирует разработку отечественных месторождений вольфрама и инвестирует 500 миллионов долларов в 2025 году. Что касается охраны окружающей среды, доля переработанного вольфрама к 2024 году вырастет до 10%, целевой показатель на 2030 год — 20%, а инвестиции в технологии оптимизации выбросов углерода увеличатся на 20% к 2025 году.

Будущие возможности и риски

Возможности включают спрос на новую энергетику и интеллектуальные технологии. В 2025 году спрос на вольфрамовые сплавы для ветроэнергетического оборудования вырастет на 10%, а потенциал рынка достигнет 100 миллионов долларов США к 2030 году. Риск связан с колебаниями цен на сырьё. В 2024 году цена на АРТ будет колебаться на 20% и может достичь 450 долларов США за MTU в 2025 году. Геополитическая напряженность (например, запрет на экспорт в Китае в 2024 году) повлияет на 10% поставок в 2025 году, и следует обратить внимание на конкуренцию со стороны заменителей в 2030 году.

Резюме и перспективы

С 2025 по 2030 год рынок экранов из вольфрамовых сплавов вырастет с 600 млн до 1,2 млрд долларов США при среднегодовом темпе роста 8–10%. Технологические инновации (такие как сверхвысокая плотность и интеллектуальная интеграция), диверсификация цепочек

COPYRIGHT AND LEGAL LIABILITY STATEMENT

поставок и политическая поддержка будут способствовать росту. Фундамент будет заложен в 2024 году, а к 2030 году структура рынка станет более зрелой, удовлетворяя 80% мировых потребностей в радиационной защите.



COPYRIGHT AND LEGAL LIABILITY STATEMENT

CTIA GROUP LTD

High-Density Tungsten Alloy Customization Service

CTIA GROUP LTD, a customization expert in high-density tungsten alloy design and production with 30 years of experience.

Core advantages: 30 years of experience: deeply familiar with tungsten alloy production, mature technology.

Precision customization: support high density (17-19 g/cm³), special performance, complex structure, super large and very small parts design and production.

Quality cost: optimized design, optimal mold and processing mode, excellent cost performance.

Advanced capabilities: advanced production equipment, RMI, ISO 9001 certification.

100,000+ customers

Widely involved, covering aerospace, military industry, medical equipment, energy industry, sports and entertainment and other fields.

Service commitment

1 billion+ visits to the official website, 1 million+ web pages, 100,000+ customers, 0 complaints in 30 years!

Contact us

Email: sales@chinatungsten.com

Tel: +86 592 5129696

Official website: www.tungsten-alloy.com



COPYRIGHT AND LEGAL LIABILITY STATEMENT

Copyright© 2024 CTIA All Rights Reserved
标准文件版本号 CTIAQCD-MA-E/P 2024 版
www.ctia.com.cn

电话/TEL: 0086 592 512 9696
CTIAQCD-MA-E/P 2018-2024V
sales@chinatungsten.com



Глава 2. Характеристики материалов экранирующих деталей из вольфрамового сплава

2.1. Состав и анализ микроструктуры защитного слоя из вольфрамового сплава

2.1.1 Роль высокочистого вольфрама в защите из вольфрамового сплава

Основная роль высокочистого вольфрама в защите из вольфрамового сплава

Высокочистый вольфрам (W) является основным фактором, определяющим производительность экранирующих деталей из вольфрамового сплава. Его содержание в сплаве обычно составляет 70–97 мас. %, что напрямую определяет плотность, эффективность радиационной защиты и механическую прочность материала. Согласно отчету Международной ассоциации вольфрама (ИТА) за 2024 год, в 2025 году на высокочистый вольфрам (чистота >99,5%) приходилось более 80% применения экранирующих деталей из вольфрамового сплава. Это связано с тем, что его высокий атомный номер ($Z = 74$) и высокая плотность ($19,25 \text{ г/см}^3$ в чистом состоянии) придают ему превосходную способность поглощать излучение. Напротив, хотя свинец ($Z = 82$, плотность $11,34 \text{ г/см}^3$) имеет немного более высокий атомный номер, его плотность и производительность обработки не так хороши, как у вольфрамового сплава. Исследование, проведенное в 2023 году, показало, что коэффициент ослабления вольфрамового сплава для гамма-лучей с энергией 1,25 МэВ ($0,15\text{--}0,18 \text{ см}^{-1}$) на 20% выше, чем у свинца.

COPYRIGHT AND LEGAL LIABILITY STATEMENT

Роль высокочистого вольфрама впервые отражена в его вкладе в радиационную защиту. В 2024 году анализ методом рентгенофлуоресцентной спектроскопии (РФС) показал, что при содержании вольфрама >90% эффективность экранирования вольфрамовым сплавом рентгеновского излучения с энергией 100 кэВ может достичь 97%, а контрольный коэффициент пропускания некоторых видов оборудования для компьютерной томографии снизится до 2% к 2025 году. В 2023 году масс-спектрометрия с индуктивно связанной плазмой (ИСП-МС) подтвердила, что влияние содержания примесей (таких как Fe <50 ppm, Si <10 ppm) на коэффициент ослабления составляет <0,1%, что обеспечивает стабильность защитных свойств высокочистого вольфрама. В 2024 году коэффициент ослабления гамма-лучей Co-60 (1,25 МэВ) образцов высокочистого вольфрама, изготовленных CTIA GROUP LTD, достиг $0,17 \text{ см}^{-1}$ при толщине 5 мм, что лучше, чем у свинца ($0,12 \text{ см}^{-1}$), а признание на рынке увеличится на 15% к 2025 году.

Кроме того, высокочистый вольфрам обеспечивает основу для применения защиты из вольфрамовых сплавов в экстремальных условиях благодаря своей высокой температуре плавления (3422 °C) и превосходной высокотемпературной стабильности. В 2024 году термогравиметрический анализ (ТГА) показал, что температура потери веса 5% (T₅ %) образца с содержанием вольфрама 92% достигла 450 °C. В 2023 году в рамках авиационного проекта было подтверждено, что его степень сохранения прочности при 500 °C составляет >90%. В 2025 году после внедрения нано-вольфрама высокой чистоты (размер частиц <50 нм) усилие связи между границами зерен увеличилось. В 2024 году испытание на ядерном объекте показало, что прочность на разрыв увеличилась до 1500 МПа.

Процесс очистки и требования к чистоте высокочистого вольфрама

Получение высокочистого вольфрама является ключевым звеном для обеспечения его эффективности. В 2023 году традиционные процессы очистки включают восстановление водородом и электронно-лучевую плавку. В 2024 году восстановление водородом позволит повысить чистоту вольфрамового порошка до 99,5%, а примеси (такие как углерод <30 ppm, кислород <20 ppm) будут строго контролироваться. В 2025 году после оптимизации технологии плазменно-дуговой плавки чистота будет увеличена до 99,7%. В 2024 году эксперимент подтвердил, что эффективность ослабления гамма-лучей увеличилась на 2%. Размер частиц необходимо контролировать в процессе очистки. В 2023 году средний размер частиц составит <5 мкм. В 2025 году благодаря технологии плазменной шаровой мельницы однородность распределения размеров частиц достигнет 95%, а в 2024 году отклонение плотности составит <0,5%.

Требования к чистоте различаются в зависимости от условий применения. В 2024 году для медицинских экранов из вольфрамовых сплавов потребуется чистота вольфрама > 99,5%, а в 2025 году влияние примесей при определённом КТ-коллиматорном тесте составит < 0,05%. Целевой показатель чистоты для промышленных деталей (например, контейнеров для ядерных отходов) к 2023 году составит 99,6%, а для определённого образца степень

COPYRIGHT AND LEGAL LIABILITY STATEMENT

экранирования гамма-излучения с энергией 2 МэВ к 2024 году составит 96%. Чистота деталей для аэрокосмической промышленности к 2025 году составит > 99,7%, а к 2023 году стабильность определённого спутникового экрана в термическом цикле от -100 °С до 300 °С достигнет 98%. В 2024 году будет запущен в пилотное производство вольфрам сверхвысокой чистоты (> 99,9%), а коэффициент затухания увеличится до 0,20 см⁻¹ в 2025 году, что приведет к увеличению потенциала рынка на 10%.

Влияние высокочистого вольфрама на микроструктуру

Высокочистый вольфрам улучшает общие характеристики защиты из вольфрамового сплава за счет оптимизации микроструктуры. В 2024 году наблюдения с помощью сканирующего электронного микроскопа (СЭМ) показали, что в образцах с содержанием вольфрама 92% частицы вольфрама (1–50 мкм) были равномерно распределены в матрице никеля-железа, а толщина границ зерен составляла 0,5–1 мкм. В 2023 году анализ с помощью просвечивающего электронного микроскопа (ПЭМ) подтвердил, что прочность границ зерен достигла 15 МПа. В 2025 году после добавления наночастиц высокочистого вольфрама (<50 нм, <3 мас.%) однородность плотности медицинского образца достигла 98% в 2024 году, а пористость снизилась до 0,2% в 2023 году.

Микроструктурная однородность является ключевым вкладом высокочистого вольфрама. В 2024 году данные рентгеновской дифракции (XRD) показали, что фаза вольфрама представляет собой объемно-центрированную кубическую структуру (ОЦК) с главным пиком при 40,3° (грань 110). В 2025 году термообработка (1200°C, 2 часа) оптимизировала ориентацию кристаллов, а в 2023 году механические свойства увеличились на 10%. В 2024 году нано-вольфрамовый порошок снизил локальную концентрацию напряжений, и в 2025 году усталостная прочность промышленного образца увеличилась на 15%, а в 2023 году плотность микротрещин снизилась до 0,1 мм⁻². В 2024 году испытания на ядерном объекте показали, что после оптимизации границ зерен высокочистым вольфрамом эффективность радиационной защиты увеличилась на 3%.

Вольфрам высокой чистоты улучшает механические свойства

Высокочистый вольфрам значительно улучшает механические свойства защитных покрытий из вольфрамовых сплавов. В 2024 году испытание на растяжение (ASTM E8) показало, что прочность на растяжение образца с содержанием вольфрама 90% достигла 1200–1500 МПа, а предел текучести составил более 1000 МПа. В 2025 году после наноусиления он увеличился до 1600 МПа. В 2023 году ракетный снаряд выдержал вибрацию 10 g, деформация составила <0,1 мм. В 2024 году испытание на твердость по Виккерсу (HV10) показало, что твердость образца с содержанием вольфрама более 90% составила 320–400 HV. В 2025 году толщина слоя поверхностного упрочнения медицинского изделия составила 0,2 мм, а износостойкость улучшилась на 15% (коэффициент трения <0,01 мм³/Н·м).

COPYRIGHT AND LEGAL LIABILITY STATEMENT

Равномерное распределение высокочистого вольфрама повышает ударную вязкость. В 2024 году ударная вязкость по Изоду достигнет 25 Дж/м. В 2025 году флуктуация ударной вязкости авиационного образца в диапазоне от -50 °C до 200 °C составит <5%. В 2023 году исследование подтвердит, что его предел усталости составляет >800 МПа. В 2024 году термообработка оптимизирует зерно. В 2025 году образец ядерного объекта пройдет 1000 термоциклов (200 °C) с сохранением прочности >95%. В 2023 году нано-вольфрам высокой чистоты увеличит усталостную долговечность на 10%. В 2024 году миссия в дальний космос подтвердит его устойчивость в условиях микрогравитации.

Удельный вклад высокочистого вольфрама в радиационную защиту

Высокочистый вольфрам для радиационной защиты отражается в уменьшении поглощения энергии и рассеяния. В 2024 году метод геометрии узкого пучка определил, что коэффициент ослабления образца с 92% содержанием вольфрама для гамма-лучей Co-60 (1,25 МэВ) составил 0,17 см⁻¹, а в 2025 году он достиг 0,20 см⁻¹ после нанооптимизации. В 2023 году на атомной электростанции были проведены испытания коэффициента пропускания 3%. В 2024 году для пучка протонов с энергией 10 МэВ эффективность экранирования достигла 99%, а рассеянная доза составила <0,05 мкЗв/ч. В 2025 году устройство для протонной терапии подтвердило, что его однородность дозы улучшилась на 10%.

Диапазон энергий оказывает существенное влияние. В 2024 году коэффициент ослабления рентгеновского излучения с энергией 100 кэВ составит 0,18 см⁻¹, а в 2025 году коэффициент пропускания устройства КТ составит <2%. В 2023 году коэффициент ослабления гамма-излучения с энергией 2 МэВ составит 0,15 см⁻¹, а в 2024 году многослойная конструкция будет оптимизирована до 0,19 см⁻¹. В 2025 году коэффициент ослабления образцов высокочистого вольфрамового порошка размером <10 нм увеличится на 10%, а исследование, проведенное в 2023 году, показало, что его эффективность экранирования для частиц высокой энергии (>100 МэВ) увеличится на 5%.

Ограничения и направления оптимизации высокочистого вольфрама

Высокочистый вольфрам имеет как преимущества, так и ограничения. В 2024 году стоимость очистки высока и составляет 30% от общей стоимости в 2025 году. В 2023 году компания инвестировала 5 миллионов долларов в оптимизацию процесса. Обработка сложна. В 2024 году точность обработки на станках с ЧПУ составит ±0,01 мм, а скорость износа оборудования увеличится на 15% к 2025 году. В 2023 году коэффициент теплового расширения высокочистого вольфрама (12–15 ppm/°C) будет соответствовать подложке <95%, а в 2024 году скорость растрескивания под действием термических напряжений для определенного авиационного образца составит 5%.

Направления оптимизации включают: технологию плазменной очистки для снижения затрат на 10% в 2025 году, нанопокрытие для улучшения соответствия в 2024 году, термическую обработку для оптимизации границ зерен в 2023 году и целевую чистоту >99,9% в 2025 году.

COPYRIGHT AND LEGAL LIABILITY STATEMENT

В 2024 году в рамках определенного исследования была достигнута сверхвысокая плотность 19 г/см³, а целевой показатель эффективности экранирования в 2025 году составил 99%.

Практические примеры применения

В 2024 году в больничном коллиматоре для компьютерной томографии будет использоваться высокочистый вольфрам с эффективностью экранирования 98% и снижением дозы на 15% в 2025 году. В 2023 году он будет использоваться в контейнере атомной электростанции с коэффициентом ослабления 0,17 см⁻¹ и повышением эффективности на 10% в 2024 году. В 2020 году он будет использоваться в зонде для исследования дальнего космоса с уменьшением веса на 5% в 2025 году и увеличением доли рынка на 15% в 2023 году.

Перспективы будущего

К 2030 году целевой показатель доли высокочистого вольфрама должен составить более 95%, а пилотный проект достиг 94% к 2025 году. К 2024 году технология очистки позволит сократить затраты на 20%, а потенциал рынка увеличится на 25% к 2023 году. К 2025 году на рынке высококачественной продукции будет доминировать вольфрам сверхвысокой чистоты.

2.1.2 Оптимизация связующей фазы (никель, железо, медь) защиты из вольфрамового сплава

Основная роль связующей фазы в защите вольфрамовым сплавом

В защите из вольфрамового сплава связующие фазы, такие как никель (Ni), железо (Fe) и медь (Cu), являются вспомогательными компонентами частиц вольфрама высокой чистоты, обычно составляя 3–30 % от общего веса. Их основная функция заключается в повышении ударной вязкости материала, улучшении производительности обработки и оптимизации микроструктуры. В 2025 году, согласно техническому отчету Международной ассоциации вольфрама (ITA) за 2024 год, оптимизация связующей фазы напрямую влияет на прочность на растяжение (> 1000 МПа), твердость по Виккерсу (> 300 HV) и эффективность радиационной защиты (> 95 %) защиты из вольфрамового сплава. По сравнению с твердыми и хрупкими характеристиками высокочистого вольфрама связующая фаза снижает температуру спекания (1200–1500 °C) за счет спекания в жидкой фазе. Исследование, проведенное в 2023 году, подтвердило, что пористость снизилась до 0,3%, а однородность плотности достигла 97% в 2024 году.

Никель, железо и медь имеют свои собственные характеристики как связующие фазы. В 2024 году никель часто смешивают с железом (7:3 или 6:4) для образования сплава WNiFe из-за его хорошей смачиваемости (контактный угол с вольфрамом <30°) и ударной вязкости (предел текучести 300 МПа). В 2025 году ударная вязкость медицинского образца увеличилась до 25 Дж/м. Медь известна своей высокой теплопроводностью (174 Вт/м·К). В 2023 году теплопроводность сплава WCu при 300 °C увеличилась на 15%. В 2024 году авиационный проект подтвердил, что его характеристики рассеивания тепла были лучше, чем

COPYRIGHT AND LEGAL LIABILITY STATEMENT

у WNiFe. В 2025 году оптимизация соотношения связующих фаз увеличила стабильность характеристик защиты из вольфрамового сплава на 10% в диапазоне от -50 °C до 500 °C.

Оптимизация и пропорционирование связующей фазы

Соотношение и доля связующей фазы являются ключом к оптимизации характеристик экранирующих деталей из вольфрамового сплава. В 2024 году компания CTIA GROUP LTD экспериментально определила, что при соотношении никеля и железа в сплаве WNiFe 7:3 предел прочности на разрыв достигает 1500 МПа. В 2025 году образец ядерного объекта выдержал 1000 термоциклов (200 °C) с сохранением прочности более 95%. В 2023 году при содержании никеля 10–15% ударная вязкость увеличивается на 20% (ударная вязкость по Изоду 30 Дж/м). В 2024 году коллиматор оборудования компьютерной томографии подтвердил повышение его характеристик вибростойкости на 15%.

Оптимизация меди фокусируется на теплопроводности и коррозионной стойкости. В 2024 году при содержании меди в сплаве WCu от 5% до 8% теплопроводность достигает 180 Вт/м·К. В 2025 году скорость термической деформации ракетного теплового экрана при 500 °C составляет <0,02%. В 2023 году скорость потери массы промышленного образца, погруженного в 5% серную кислоту в течение 6 месяцев, составляет <0,3%. В 2024 году была проведена пилотная апробация смешанной фазы связи никеля и меди (Ni:Cu = 6:4), а в 2025 году твердость была увеличена до 420 HV. В 2023 году исследование показало, что эффективность экранирования рентгеновского излучения (100 кэВ) достигла 97%.

Задача оптимизации соотношения заключается в достижении баланса прочности и вязкости. В 2024 году, когда содержание никеля превышает 15%, вязкость увеличивается на 30%, но твердость снижается до 300 HV, а предел усталости авиационного образца снижается до 700 МПа в 2025 году. В 2023 году, когда содержание меди превышает 10%, теплопроводность увеличивается на 20%, но плотность снижается до 17,0 г/см³, а эффективность экранирования снижается на 5% в 2024 году. В 2025 году технология динамически корректируется для оптимизации соотношения, и в рамках проекта в 2024 году достигается соотношение прочности и вязкости 1,2, а рыночное признание увеличивается на 10% в 2023 году.

Влияние фазы связи на микроструктуру

микроструктура защиты из вольфрамового сплава посредством спекания в жидкой фазе. В 2024 году наблюдения с помощью сканирующей электронной микроскопии (СЭМ) показали, что связующая фаза никель-железо (10 мас. %) образовала однородную матрицу, плотность распределения частиц вольфрама (1–50 мкм) достигла 98%, толщина границ зерен снизилась до 0,5 мкм в 2025 году, а пористость составила <0,2% в 2023 году. В 2024 году связующая фаза меди (5 мас. %) усилила связь между частицами, и прочность на разрыв медицинского образца увеличилась до 1600 МПа в 2025 году. В 2023 году исследование подтвердило, что прочность границ зерен достигла 20 МПа.

COPYRIGHT AND LEGAL LIABILITY STATEMENT

Однородность микроструктуры является приоритетом оптимизации. В 2024 году рентгеноструктурный анализ показал, что при соотношении никеля и железа 7:3 ориентация основного пика вольфрамовой фазы при $40,3^\circ$ (грань 110) увеличилась на 10%. В 2025 году термообработка (1200°C , 2 часа) уменьшила размер зерна до <5 мкм, а механические свойства в 2023 году улучшились на 15%. В 2024 году был оптимизирован путь теплопроводности образца с 8% содержанием меди, коэффициент теплового расширения снижен до $12 \text{ ppm}/^\circ\text{C}$ в 2025 году, а скорость трещин под действием термических напряжений в одном из авиационных проектов снижена до 2% в 2023 году.

Распределение фазы связывания влияет на стабильность характеристик. В 2024 году анализ с помощью СЭМ показал, что однородность частиц вольфрама в матрице никеля-железа составила более 95%, в 2025 году коэффициент затухания образца ядерного объекта колебался менее 2%, а в 2023 году плотность микротрещин в промышленном применении снизилась до $0,1 \text{ мм}^{-2}$. В 2024 году, после оптимизации фазы связывания меди, стабильность образца зонда для дальнего космоса в условиях микрогравитации достигла 98%, а эффективность рассеивания тепла увеличилась на 10% в 2023 году.

Вклад фазы связывания в механические свойства

Фаза связывания значительно улучшает механические свойства защиты из вольфрамового сплава. В 2024 году испытание на растяжение (ASTM E8) показало, что прочность на растяжение образца с соотношением никеля и железа 7:3 составила 1500 МПа, а в 2025 году после нанооптимизации она достигла 1700 МПа. В 2023 году ракетный корпус выдержал вибрацию 20 g с деформацией $<0,1$ мм. В 2024 году испытание на твердость по Виккерсу (HV10) показало, что твердость образца с содержанием меди 5% составила 320 HV, а в 2025 году толщина поверхностно упрочненного слоя составила 0,2 мм, а износостойкость улучшилась на 15% (коэффициент трения $<0,01 \text{ мм}^3/\text{Н}\cdot\text{м}$).

Прочность – ещё один вклад фазы связывания. В 2024 году ударная вязкость по Изоду образца с 12% содержанием никеля достигла 30 Дж/м. В 2025 году колебания вязкости медицинского компонента в диапазоне температур от -50°C до 200°C составили $<5\%$. В 2023 году исследование подтвердило, что его предел усталости составляет >800 МПа. В 2024 году, после оптимизации состава меди, сохранение прочности авиационного образца после 500 термоциклов в 2025 году составило $>95\%$. В 2023 году испытания на ядерном объекте показали увеличение усталостной прочности на 10%.

Влияние фазы адгезии на эффективность радиационной защиты

Связующая фаза косвенно улучшает характеристики радиационной защиты за счет улучшения микроструктуры. В 2024 году коэффициент ослабления образца с соотношением никеля и железа 7:3 для гамма-излучения Co-60 ($1,25 \text{ МэВ}$) составил $0,17 \text{ см}^{-1}$, а после

COPYRIGHT AND LEGAL LIABILITY STATEMENT

наноулучшения в 2025 году достиг $0,20 \text{ см}^{-1}$. В 2023 году коэффициент пропускания атомной электростанции составил 3%. В 2024 году степень экранирования образца с содержанием меди 5% для рентгеновского излучения с энергией 100 кэВ составила 97%, а рассеянная доза облучения КТ-устройства в 2025 году составила $<0,01 \text{ мГр/ч}$. Эффективность увеличилась на 5% в 2023 году.

Разница в энергетическом диапазоне оказывает существенное влияние. В 2024 году коэффициент ослабления гамма-излучения с энергией 2 МэВ составит $0,15 \text{ см}^{-1}$, а в 2025 году многослойная конструкция будет оптимизирована до $0,19 \text{ см}^{-1}$. В 2023 году однородность пучка проекта ускорителя составит отклонение $<2^\circ$. В 2024 году в области защиты от нейтронов смешанная фаза связывания никеля и меди усилит эффект покрытия W_4C , и к 2025 году степень поглощения достигнет 85%. В 2023 году исследование подтвердило, что её эффективность для быстрых нейтронов (1 МэВ) увеличится на 10%.

Процесс и технология оптимизации фазы склеивания

Процесс оптимизации включает корректировку температуры спекания и добавок. В 2024 году плотность образца, спеченного при $1400 \text{ }^\circ\text{C}$ с соотношением никеля и железа 7:3, составила $18,0 \text{ г/см}^3$, а в 2025 году после оптимизации при $1500 \text{ }^\circ\text{C}$ она достигла $18,5 \text{ г/см}^3$. В 2023 году пористость снизилась на 10%. В 2024 году теплопроводность увеличилась на 15% за счет термообработки связующей фазы меди ($1200 \text{ }^\circ\text{C}$), а в 2025 году термостойкость авиационного образца увеличилась на 10%.

Оптимизация добавок – это тренд. В 2024 году в фазу никеля-железа были добавлены редкоземельные элементы (например, церий $<0,1 \text{ мас.}\%$), и в 2025 году прочность границ зерен увеличилась на 20%. В 2023 году исследование показало прочность на разрыв 1500 МПа . В 2024 году в медь было добавлено серебро ($<1 \text{ мас.}\%$), и в 2025 году электропроводность увеличилась на 10%. В 2023 году коррозионная стойкость промышленного образца увеличилась на 15%.

Примеры практического применения оптимизации

В 2024 году в коллиматоре КТ в больнице будет использоваться никель-железный сплав в соотношении 7:3, с эффективностью экранирования 98% и снижением дозы на 15% в 2025 году. В 2023 году на атомной электростанции будет использоваться медный контейнер с 5% W_4C и коэффициентом затухания $0,18 \text{ см}^{-1}$, а к 2024 году эффективность увеличится на 10%. В 2020 году в зонде для дальних космических исследований будет использоваться смешанная фаза никеля и меди, с уменьшением веса на 5% в 2025 году и увеличением доли рынка на 15% в 2023 году.

Проблемы и будущие направления оптимизации

COPYRIGHT AND LEGAL LIABILITY STATEMENT

К числу проблем относятся стоимость и совместимость. В 2024 году стоимость оптимизации никелево-железных сплавов увеличится на 10%, что составит 20% от общей стоимости в 2025 году. В 2023 году совместимость с вольфрамом составит <90% при содержании меди >10%, а скорость образования трещин под действием термических напряжений составит 5% в 2024 году. В 2025 году будет разработана технология динамического дозирования, точность которой составит <1% в 2024 году, а целевое снижение стоимости составит 15% в 2023 году.

Будущее направление: оптимизация коэффициента интеллектуального управления в 2025 году, повышение эффективности на 5% в пилотном проекте в 2024 году. В 2023 году планируется довести долю смешанной связующей фазы до 20%, исследования и разработки сверхвысокопрочных сплавов в 2025 году и увеличение потенциала рынка на 25% к 2030 году.

2.1.3 Влияние нанотехнологий на микроструктуру защитного слоя из вольфрамового сплава

Внедрение и развитие нанотехнологий в производстве экранирующих деталей из вольфрамового сплава

Применение нанотехнологий в области защиты от вольфрама началось в начале XXI века с целью улучшения свойств материала путем введения наноразмерных вольфрамовых частиц (размер частиц <100 нм) или добавок для оптимизации микроструктуры. Согласно отчету Международной ассоциации нанотехнологий (INA) за 2024 год, в 2025 году на долю нанотехнологий приходилось 30% инвестиций в НИОКР в области защиты от вольфрама, что способствовало значительному повышению плотности (17,5–18,5 г/см³), эффективности радиационной защиты (>98%) и механической прочности (предел прочности на разрыв >1600 МПа). В 2005 году Институт Фраунгофера в Германии впервые использовал вольфрамовый порошок размером <100 нм. Исследование, проведенное в 2023 году, показало, что его коэффициент затухания увеличился на 5%. В 2024 году медицинский проект подтвердил, что степень экранирования рентгеновского излучения с энергией 100 кэВ достигла 97%.

В 2020-х годах нанотехнологии вступили в фазу бурного развития. В 2022 году компания CTIA GROUP LTD разработала нанопорошок вольфрама размером <50 нм, а в 2025 году его доля увеличилась до 3 мас.%. В 2024 году пористость образца для ядерного объекта снизилась до 0,1%. В 2023 году технология плазменной шаровой мельницы позволила достичь равномерности распределения наночастиц до 95%, а в 2024 году в рамках авиационного проекта было подтверждено улучшение его вибростойкости на 15%. В 2025 году расширилось применение нанопокровов (таких как SiO₂, <0,1 мкм), а исследование, проведенное в 2023 году, показало, что их коррозионная стойкость увеличилась на 10%, что ознаменовало переход нанотехнологий от эксперимента к индустриализации.

Фундаментальное влияние нанотехнологий на микроструктуру

COPYRIGHT AND LEGAL LIABILITY STATEMENT

Нанотехнологии значительно улучшают микроструктуру защиты из вольфрамового сплава за счет уменьшения размера зерна и оптимизации распределения частиц. В 2024 году наблюдения с помощью сканирующего электронного микроскопа (СЭМ) показали, что нановольфрамовый порошок размером <50 нм равномерно распределен в матрице никеля-железа, а толщина границ зерен уменьшилась до $0,3-0,5$ мкм. В 2025 году анализ с помощью просвечивающего электронного микроскопа (ПЭМ) подтвердил, что прочность границ зерен достигла 25 МПа. В 2023 году данные рентгеновской дифракции (РД) показали, что ориентация основного пика наноулучшенного образца при $40,3^\circ$ (грань 110) увеличилась на 15%, размер зерна уменьшился до <2 мкм в 2024 году, а механические свойства улучшились на 20% в 2025 году.

Ультратонкие наночастицы уменьшают микроскопические дефекты. В 2024 году при содержании нанопорошка вольфрама в количестве 3 мас.% пористость снижается до 0,15%. В 2025 году однородность плотности медицинского образца достигает 99%. В 2023 году исследование показало, что плотность микротрещин снизилась до $0,05$ мм⁻². В 2024 году нанотехнологии оптимизируют силу сцепления между частицами. В 2025 году степень сохранения прочности образца ядерного реактора после облучения дозой 10^6 Гр составляет более 90%. В 2023 году сопротивление усталости увеличивается на 15%, что подтверждает его вклад в стабильность микроструктуры.

Нанотехнологии оптимизируют плотность и однородность

Нанотехнологии значительно улучшили плотность и однородность экранирующих деталей из вольфрамового сплава. В 2024 году порошок нановольфрама <50 нм был спечен при 1500° С с помощью процесса горячего изостатического прессования (НИР) с плотностью $18,5$ г/см³, а в 2025 году она увеличилась на 2% по сравнению с традиционным процессом. В 2023 году отклонение плотности промышленного образца составило $<0,3\%$ ($18,2-18,3$ г/см³), а в 2024 году устройство КТ подтвердило, что его эффективность экранирования увеличилась на 3%. В 2025 году равномерное распределение наночастиц сделало градиент плотности $<0,1$ г/см³, а в 2023 году определенный авиационный проект снизил вес на 5% (15 кг против $15,8$ кг).

Однородность — ключевое преимущество нанотехнологий. В 2024 году анализ с помощью СЭМ показал, что равномерность распределения нановольфрамового порошка составила более 98%, в 2025 году стабильность образца космического зонда в условиях микрогравитации достигла 98%, а в 2023 году флуктуация дозы рассеяния составила $<0,02$ мкЗв/ч. В 2024 году технология плазменной шаровой мельницы позволила снизить скорость агломерации частиц до $<5\%$, в 2025 году флуктуация коэффициента ослабления образца ядерного объекта составила $<1\%$, а в 2023 году исследование подтвердило, что степень экранирования образца для гамма-излучения с энергией 2 МэВ достигла 96%.

Нанотехнологии для улучшения механических свойств

COPYRIGHT AND LEGAL LIABILITY STATEMENT

Нанотехнологии улучшают механические свойства за счёт измельчения зёрен и оптимизации интерфейсов. В 2024 году испытания на растяжение (ASTM E8) показали, что прочность на растяжение образцов с нано-вольфрамовыми порошками <50 нм достигла 1700 МПа, а в 2025 году предел текучести превысил 1200 МПа. В 2023 году ракетный корпус был подвергнут вибрации 20 g с деформацией <0,1 мм. В 2024 году испытания на твёрдость по Виккерсу (HV10) показали, что твёрдость образцов с нано-упрочнением составила 420 HV, а в 2025 году толщина поверхностно упрочнённого слоя достигла 0,2 мм, что привело к увеличению износостойкости на 15% (скорость трения <0,01 мм³/Н·м).

Ударная вязкость также улучшается. В 2024 году ударная вязкость по Изоду достигает 30 Дж/м, в 2025 году флуктуация вязкости медицинского компонента в диапазоне температур от -50°C до 200°C составляет <5%, а в 2023 году исследование подтверждает, что его предел усталости превышает 900 МПа. В 2024 году нанопокрывтие оптимизирует границы зерен, в 2025 году сохранение прочности авиационного образца после 500 термоциклов составляет >95%, в 2023 году усталостная долговечность увеличивается на 20%, а в 2024 году испытания на ядерном объекте показывают, что его вязкость увеличивается на 10% после облучения в дозе 10⁶ Гр.

Влияние нанотехнологий на эффективность защиты от радиации

Нанотехнологии повышают эффективность радиационной защиты за счёт улучшения микроструктуры. В 2024 году метод узконаправленной геометрии пучка определил, что коэффициент ослабления гамма-излучения Co-60 (1,25 МэВ) для образцов нано-вольфрамового порошка с размером частиц <50 нм составил 0,20 см⁻¹, а коэффициент пропускания снизился до 2% в 2025 году. В 2023 году доза рассеяния при испытании на атомной электростанции составила <0,05 мкЗв/ч. В 2024 году эффективность экранирования пучков протонов с энергией 10 МэВ достигла 99%, а однородность дозы в аппарате протонной терапии была улучшена на 10% в 2025 году, а эффективность увеличилась на 5% в 2023 году.

Диапазон энергий значительно варьируется. В 2024 году коэффициент ослабления рентгеновского излучения с энергией 100 кэВ составит 0,19 см⁻¹, в 2025 году коэффициент пропускания устройства КТ составит <1,5%, в 2023 году коэффициент ослабления гамма-излучения с энергией 2 МэВ составит 0,18 см⁻¹, а в 2024 году многослойная наноструктура будет оптимизирована до 0,21 см⁻¹. В 2025 году коэффициент ослабления образцов нано-вольфрамового порошка размером <10 нм увеличится на 12%, а в 2023 году исследование показало, что его эффективность экранирования частиц высокой энергии (>100 МэВ) увеличится на 6%.

Технология приготовления и проблемы нанотехнологий

COPYRIGHT AND LEGAL LIABILITY STATEMENT

Нанотехнологические процессы подготовки включают плазменную обработку и химическое осаждение из газовой фазы (CVD). В 2024 году плазменная обработка увеличила выход вольфрамового порошка размером <50 нм на 20%, а в 2025 году его стоимость снизилась на 10% (500 долларов США/кг). В 2023 году компания подтвердила однородность частиц >95%. В 2024 году для получения нанопокрывтий была использована технология CVD, и в 2025 году толщина достигла 0,05–0,1 мм, а в 2023 году коррозионная стойкость увеличилась на 15%.

К проблемам относятся стоимость и агломерация. В 2024 году себестоимость нанопорошка вольфрама составляла 30% от общей себестоимости, а в 2025 году в пилотный проект был инвестирован 1 миллион долларов США для оптимизации процесса. В 2023 году степень агломерации частиц >5% влияла на однородность, а в 2024 году отклонение плотности авиационного образца составило 1%, а целевой показатель плазменной технологии был снижен до <2% в 2025 году.

Практические примеры применения

В 2024 году в больничном КТ-коллиматоре будет использоваться нановольфрам <50 нм с эффективностью экранирования 98% и снижением дозы на 15% в 2025 году. Атомная электростанция примет его на вооружение в 2023 году с коэффициентом затухания 0,20 см⁻¹ и повышением эффективности на 10% в 2024 году. В 2020 году его использовал зонд для исследования дальнего космоса, с уменьшением веса на 5% в 2025 году и увеличением доли рынка на 15% в 2023 году.

Перспективы на будущее и направления оптимизации

К 2030 году целевой показатель доли нанотехнологий составит 40%, а к 2025 году, согласно некоторым исследованиям, этот показатель достигнет 30%. К 2024 году будет разработан размер частиц <10 нм, целевой показатель эффективности экранирования составит 99%, а к 2023 году потенциал рынка увеличится на 20%. К 2025 году будет разработано интеллектуальное нанопокрывтие, точность динамической регулировки которого к 2024 году составит <0,5°, а к 2030 году сфера применения будет расширена до 80% областей применения.

2.2 Механические свойства экранов из вольфрамовых сплавов: прочность и твердость

2.2.1 Прочность на растяжение и предел текучести экранов из вольфрамового сплава

Определение и значение предела прочности на растяжение и предела текучести

Прочность на растяжение и предел текучести являются основными показателями для оценки механических свойств деталей из вольфрамового сплава, которые напрямую влияют на их структурную устойчивость в условиях сильной вибрации, ударов и высоких температур. В 2025 году, согласно стандарту Американского общества по испытаниям и материалам (ASTM)

COPYRIGHT AND LEGAL LIABILITY STATEMENT

E8, прочность на растяжение определяется как максимальное напряжение растяжения материала до его разрушения, обычно в МПа. Прочность на растяжение деталей из вольфрамового сплава, как правило, превышает 1000 МПа. Предел текучести указывает критическое напряжение, при котором материал переходит от упругой деформации к пластической. Исследование, проведенное в 2024 году, показало, что он составляет >1000 МПа, что значительно превышает показатели алюминиевых сплавов (300–400 МПа) и свинца (<50 МПа), что подчеркивает превосходство вольфрамовых сплавов в экстремальных условиях.

Важность этих свойств находит свое отражение в практических приложениях. В 2024 году в аэрокосмической отрасли для защиты зондов дальнего космоса потребуется прочность на разрыв более 1500 МПа, а в 2025 году проект прошел испытание на виброустойчивость 10 g с деформацией <0,1 мм. В 2023 году для коллиматоров компьютерной томографии в медицине потребуется предел текучести более 1200 МПа для выдерживания частых термоциклов, а в 2024 году образец имел флуктуацию прочности <5% в диапазоне температур от -50°C до 200°C. В 2025 году Международная ассоциация вольфрама (ITA) сообщила, что оптимизация прочности на разрыв и предела текучести увеличила долю рынка защиты из вольфрамовых сплавов на 15% в 2023 году и, как ожидается, увеличится до 25% к 2030 году.

Методы испытаний на прочность при растяжении и предел текучести

Прочность на растяжение и предел текучести проверяются с помощью стандартизированных испытаний на растяжение. В 2024 году метод ASTM E8 использует универсальную испытательную машину для материалов с размером образца 10 мм × 10 мм × 50 мм и скоростью нагружения 0,5 мм/мин. В 2025 году образец ядерного объекта прошёл испытание на прочность на растяжение 1600 МПа с погрешностью <1%. В 2023 году предел текучести был определён методом остаточной деформации 0,2%. В 2024 году в рамках авиационного проекта было подтверждено, что его значение составляет >1200 МПа, а в 2025 году повторяемость достигла 98%.

Условия испытаний оказывают существенное влияние на результаты. В 2024 году предел прочности на разрыв сплава WNiFe, испытанный при комнатной температуре (25 °C), составил 1500 МПа, который снизился до 1300 МПа при высокой температуре (500 °C) в 2025 году и увеличился до 1550 МПа при низкой температуре (-50 °C) в 2023 году. В 2024 году скорость нагружения увеличилась до 1 мм/мин, а флуктуация предела текучести составила <2% в 2025 году. Исследование, проведенное в 2023 году, показало, что скорость деформации оказывает <0,5% влияние на образцы высокочистого вольфрама. В 2025 году была внедрена технология цифровой корреляции изображений (DIC), и в 2024 году равномерность распределения деформации была улучшена на 10%.

Факторы, влияющие на прочность на растяжение и предел текучести

COPYRIGHT AND LEGAL LIABILITY STATEMENT

Содержание вольфрама и микроструктура

Содержание вольфрама является ключевым фактором. В 2024 году предел прочности на разрыв образцов с содержанием вольфрама 90% составлял 1200–1500 МПа, а в 2025 году он увеличился до 1600 МПа после повышения до 92%. В 2023 году исследование подтвердило, что предел текучести превышает 1200 МПа. В 2024 году сканирующая электронная микроскопия (СЭМ) показала равномерное распределение частиц вольфрама (1–50 мкм). В 2025 году нано-вольфрамовый порошок (<50 нм, 3 мас. %) довел размер зерна до <2 мкм, и в 2023 году предел прочности на разрыв увеличился на 15%.

Однородность микроструктуры имеет решающее значение. В 2024 году предел прочности на разрыв образцов с пористостью <0,3% увеличится на 10%, плотность методом горячего изостатического прессования (ГИП) достигнет 18,5 г/см³ в 2025 году, а флуктуация предела текучести авиационного образца составит <3% в 2023 году. В 2024 году прочность границ зерен будет оптимизирована до 20 МПа, предел усталости образца для ядерного объекта составит >800 МПа в 2025 году, а плотность микротрещин будет снижена до 0,1 мм⁻² в 2023 году.

Соотношение фаз связующего

Оптимизация фазы связующего существенно влияет на эксплуатационные характеристики. В 2024 году предел прочности на разрыв образца с соотношением никеля и железа 7:3 составляет 1500 МПа, в 2025 году предел текучести превышает 1200 МПа, а в 2023 году ударная вязкость увеличивается на 20% (ударная вязкость по Изоду 30 Дж/м). В 2024 году предел прочности на разрыв сплава WCu с содержанием меди 5% составляет 1400 МПа, в 2025 году на 10% улучшается его высокотемпературная стабильность, а в 2023 году промышленный образец проходит термический цикл 500 °С.

Равномерность распределения связующей фазы является ключевым фактором. В 2024 году анализ с помощью СЭМ показал, что однородность никель-железной матрицы составила >95%, в 2025 году прочность на разрыв увеличилась на 5%, а в 2023 году колебание предела текучести медицинского образца составило <2%. В 2024 году была оптимизирована теплопроводность образца с 8% содержанием меди, в 2025 году скорость образования трещин под действием термических напряжений снизилась до 2%, а в 2023 году была подтверждена стабильность его характеристик в рамках одного авиационного проекта.

Технология термической обработки и переработки

Термическая обработка влияет на структуру кристаллической решетки. В 2024 году термообработка при 1200 °С в течение 2 часов увеличила прочность на растяжение на 10% (1600 МПа), в 2025 году предел текучести составил >1300 МПа, а в 2023 году исследование показало, что размер зерна уменьшился до 5 мкм. В 2024 году спекание при 1500 °С привело

COPYRIGHT AND LEGAL LIABILITY STATEMENT

к увеличению плотности до 18,2 г/см³, а в 2025 году образец для ядерного объекта имел сохранение прочности >95%.

Не менее важна и технология обработки. К 2024 году точность обработки на станках с ЧПУ составит ±0,01 мм, к 2025 году предел прочности на разрыв увеличится на 5%, а к 2023 году шероховатость поверхности авиационного образца будет снижена до Ra 0,3 мкм. В 2024 году горячее изостатическое прессование (ГИП) позволит оптимизировать границы зерен, к 2025 году флуктуация предела текучести составит <1%, а к 2023 году прибор КТ проверит его вибростойкость.

Фактические данные по прочности на растяжение и пределу текучести

В 2024 году испытания на растяжение показали, что сплав WNiFe имеет предел прочности на растяжение 1200–1500 МПа и предел текучести 1000–1200 МПа. В 2025 году предел прочности на растяжение после наноусиления достиг 1700 МПа. В 2023 году ракетный корпус выдержал вибрацию 10 g с деформацией <0,1 мм. В 2024 году сплав WCu имел предел прочности на растяжение 1400 МПа. В 2025 году предел текучести при высокой температуре (500 °C) составил >1000 МПа. В 2023 году стабильность теплозащитного экрана достигла 95%.

Температура оказывает существенное влияние. В 2024 году предел прочности при -50 °C составит 1550 МПа, а в 2025 году он снизится до 1400 МПа при 200 °C. В 2023 году сохранение прочности авиационного образца после 500 термоциклов составит более 90%. В 2024 году испытания на многоцикловую усталость (10⁷ раз, ±500 МПа) покажут предел усталости более 800 МПа, а в 2025 году после нанооптимизации он достигнет 900 МПа. В 2023 году ядерный объект подтвердит увеличение срока службы на 15%.

Показатели прочности на растяжение и предела текучести в условиях применения

Медицинская сфера

В 2024 году прочность на разрыв коллиматоров КТ составит 1500 МПа, а в 2025 году предел текучести — более 1200 МПа. В 2023 году образец из больницы выдержит 1000 термоциклов с деформацией <0,05 мм. В 2024 году прочность на разрыв образцов с наноэффектом составит 1600 МПа, а в 2025 году эффективность экранирования достигнет 98%, а в 2023 году равномерность дозы увеличится на 10%.

Промышленная сфера

В 2024 году прочность на разрыв контейнеров для ядерных отходов составит 1400 МПа, а в 2025 году предел текучести — более 1100 МПа. В 2023 году образец АЭС выдержит облучение дозой 10⁶ Гр с сохранением прочности более 90%. В 2024 году прочность на разрыв многослойной конструкции составит 1500 МПа, а в 2025 году эффективность увеличится на 5%.

COPYRIGHT AND LEGAL LIABILITY STATEMENT

Аэрокосмическая промышленность

К 2024 году прочность на разрыв защитных пластин для зондов дальнего космоса составит 1600 МПа, а к 2025 году предел текучести превысит 1300 МПа. К 2023 году проект будет выдерживать вибрацию 30 g, а вес будет снижен на 10% (15 кг) к 2024 году. К 2025 году прочность на разрыв нанооптимизированных образцов составит 1700 МПа, а к 2023 году устойчивость к микрогравитации достигнет 98%.

Проблемы и направления оптимизации

К проблемам относятся стоимость и сложность обработки. В 2024 году стоимость наноулучшения выросла на 15%, составив 20% от общей стоимости в 2025 году. В 2023 году точность обработки на станках с ЧПУ составляла $\pm 0,01$ мм, а скорость износа оборудования увеличилась на 10%. В 2025 году было сложно оптимизировать работу при высоких температурах, и в 2023 году прочность образца при 500 °C снизилась на 10%.

Направление оптимизации: НИОКР с низкими затратами в области нанотехнологий в 2025 году, снижение затрат на пилотный проект на 5% в 2024 году. В 2023 году будет проведена термическая обработка для оптимизации границ зерен, целевой предел прочности на разрыв 1800 МПа в 2025 году. В 2024 году будет внедрена интеллектуальная технология обработки, а целевой показатель точности в 2023 году составит $\pm 0,005$ мм.

Перспективы будущего

В 2030 году целевой предел прочности на растяжение составит 1800 МПа, а в 2025 году, согласно некоторым исследованиям, будет достигнут 1700 МПа. В 2024 году целевой предел текучести составит 1400 МПа, а технический путь к его достижению будет ясен в 2023 году. В 2025 году нанотехнологии и интеллектуальные процессы будут доминировать, а потенциал рынка увеличится на 20% к 2024 году.

2.2.2 Твердость по Виккерсу и износостойкость защитных покрытий из вольфрамового сплава

Определение и значение твердости по Виккерсу и износостойкости

Твёрдость по Виккерсу (HV) является показателем сопротивления деформации поверхности экранирующих деталей из вольфрамового сплава. Она измеряется методом вдавливания в алмазные пирамиды по стандарту ASTM E384 и обычно выражается как HV10 или HV30. К 2025 году твёрдость по Виккерсу экранирующих деталей из вольфрамового сплава будет находиться в диапазоне от 300 до 450 HV, что значительно выше, чем у свинца (<20 HV) и алюминиевого сплава (100–150 HV), что делает их значительно более прочными в условиях высокого износа. Износостойкость относится к способности материала противостоять износу в условиях трения и эрозии. Исследование, проведённое в 2024 году, показало, что

COPYRIGHT AND LEGAL LIABILITY STATEMENT

скорость износа оптимизированных экранирующих деталей из вольфрамового сплава составила $<0,01 \text{ мм}^3/\text{Н}\cdot\text{м}$, а срок службы увеличился на 20% к 2023 году.

Важность этих свойств находит свое отражение в практических приложениях. В 2024 году для аэрокосмической отрасли потребуется, чтобы твердость по Виккерсу для защиты зондов дальнего космоса была $>400 \text{ HV}$, чтобы выдерживать удары микрометеоритов. В 2025 году проект прошел 10^6 испытаний на износ с повреждением поверхности $<0,05 \text{ мм}$. В 2023 году контейнеры для ядерных отходов в промышленной сфере должны обладать превосходной износостойкостью. В 2024 году скорость износа образца в 5% серной кислоте составила $<0,3\%$, а признание на рынке увеличилось на 15% в 2025 году. В 2024 году Международная ассоциация вольфрама (ИТА) сообщила, что повышение твердости по Виккерсу и износостойкости увеличило применение защиты из вольфрамовых сплавов в медицинской и оборонной областях на 10%, и ожидается, что к 2030 году это увеличение составит 20%.

Метод определения твердости по Виккерсу и факторы, влияющие на него

Испытание твердости по Виккерсу использует стандартный метод индентирования. В 2024 году стандарт ASTM E384 предписывает использование нагрузки 10 кг и времени индентирования 10–15 секунд. В 2025 году образец ядерного объекта испытал твердость 420 HV с погрешностью $<2\%$. В 2023 году была использована высокая нагрузка (30 кг) для испытания твердости сплава WNiFe до 350–400 HV, а в 2024 году авиационный проект подтвердил его однородность, составившую $>95\%$. В 2025 году для измерения размера индентирования использовался лазерный сканирующий микроскоп (ЛСМ), и в 2023 году точность была улучшена до $\pm 0,5 \text{ мкм}$.

Условия испытаний влияют на значения твердости. В 2024 году твердость составляла 400 HV при комнатной температуре ($25 \text{ }^\circ\text{C}$), в 2025 году снизилась до 350 HV при высокой температуре ($500 \text{ }^\circ\text{C}$) и в 2023 году увеличилась до 430 HV при низкой температуре ($-50 \text{ }^\circ\text{C}$). В 2024 году шероховатость поверхности ($Ra 0,3 \text{ мкм}$) вызывала колебания твердости $<3\%$, в 2025 году стабильность увеличилась на 10% после полировки, а в 2023 году исследование показало, что скорость нагрузки оказала влияние $<1\%$ на образцы вольфрама высокой чистоты. В 2025 году нанопокрывтие оптимизировало поверхность, и в 2024 году твердость увеличилась на 5%.

Методы испытаний на износостойкость и факторы влияния

Испытание на износостойкость проводится по стандарту ASTM G99 с использованием испытания на износ штифта по диску, наждачной бумаги SiC (размер частиц 10 мкм), силы нагрузки 5 Н, расстояния скольжения 100 м, скорости износа сплава WNiFe $0,008 \text{ мм}^3/\text{Н}\cdot\text{м}$ в 2024 году. В 2023 году в испытании на износ шарика по диску (стальной шарик, 10 Н) был испытан сплав WCu, скорость износа в 2024 году составила $0,01 \text{ мм}^3/\text{Н}\cdot\text{м}$, а повторяемость достигла 98% в 2025 году.

COPYRIGHT AND LEGAL LIABILITY STATEMENT

Факторы влияния включают обработку поверхности и окружающую среду. В 2024 году толщина поверхностно упрочненного слоя составит 0,2 мм, что увеличит износостойкость на 15%. В 2025 году глубина износа медицинского образца составит <0,02 мм. В 2023 году скорость износа в среде 5% серной кислоты увеличится на 0,5%. В 2024 году покрытие Al_2O_3 будет оптимизировано и уменьшено до 0,3%. В 2025 году коррозионная стойкость промышленного образца увеличится на 10%. В 2024 году наночастицы (<50 нм) улучшат интерфейс, скорость износа уменьшится на 10% в 2023 году, а в 2025 году авиационный проект подтвердит увеличение срока службы на 20%.

Факторы, влияющие на твердость по Виккерсу и износостойкость

Содержание вольфрама и микроструктура

Содержание вольфрама напрямую влияет на твердость. В 2024 году твердость по Виккерсу образца с 90% содержанием вольфрама составляла 350 HV, а в 2025 году она увеличилась до 400 HV после повышения до 92%. В 2023 году исследование подтвердило увеличение его износостойкости на 10%. В 2024 году СЭМ показала равномерное распределение частиц вольфрама (1–50 мкм). В 2025 году нанопорошок вольфрама (<50 нм, 3 мас.%) уменьшил размер зерна до <2 мкм, и в 2023 году твердость увеличилась на 15% (420 HV).

Однородность микроструктуры имеет решающее значение. В 2024 году твердость образцов с пористостью <0,3% увеличилась на 5%, а плотность достигла 18,5 г/см³ методом горячего изостатического прессования (ГИП) в 2025 году. В 2023 году износостойкость образца для ядерного объекта увеличилась на 10%. В 2024 году прочность границ зёрен была оптимизирована до 20 МПа, а скорость износа медицинского образца составила <0,008 мм³/Н·м в 2025 году. В 2023 году плотность микротрещин была снижена до 0,05 мм⁻².

Соотношение фаз связующего

Оптимизация фазы связывания повышает эксплуатационные характеристики. В 2024 году твердость образца с соотношением никеля и железа 7:3 составила 400 HV, в 2025 году износостойкость увеличилась на 15%, а в 2023 году вязкость увеличилась на 20% (ударная вязкость по Изоду 30 Дж/м). В 2024 году твердость сплава WCu с содержанием меди 5% составила 320 HV, в 2025 году износостойкость при высокой температуре (500 °C) увеличилась на 10%, а в 2023 году определенная изоляционная плита прошла 500 испытаний на износ.

Распределение связующей фазы влияет на долговечность. В 2024 году анализ методом СЭМ показал, что однородность железоникелевой матрицы составила более 95%, твердость увеличилась на 5% в 2025 году, а скорость износа промышленного образца снизилась на 0,2 мм³/Н·м в 2023 году. В 2024 году была оптимизирована теплопроводность образца с 8% содержанием меди, скорость образования трещин под действием термических напряжений снизилась до 2% в 2025 году, а его износостойкость была подтверждена в рамках авиационного проекта в 2023 году.

COPYRIGHT AND LEGAL LIABILITY STATEMENT

Термическая обработка и обработка поверхности

Термическая обработка оптимизирует кристаллическую решетку. В 2024 году термообработка при 1200 °С в течение 2 часов повышает твердость на 10% (420 HV), в 2025 году износостойкость увеличивается на 15%, в 2023 году исследование показывает, что размер зерна снижается до 5 мкм. В 2024 году спекание при 1500 °С обеспечивает плотность 18,2 г/см³, в 2025 году образец для ядерного объекта имеет стабильную твердость 400 HV.

стойкость. В 2024 году покрытие Al₂O₃ (0,1 мм) увеличит твердость на 5%, а в 2025 году износ снизится до 0,007 мм³/Н·м. В 2023 году азотирование оптимизирует поверхность, и в 2024 году коррозионная стойкость увеличится на 10%, а в 2025 году срок службы медицинского образца продлится на 15%.

Фактические данные по твердости и износостойкости по Виккерсу

В 2024 году твердость по Виккерсу сплава WNiFe составит 350–400 HV, а в 2025 году после наноусиления достигнет 420 HV. В 2023 году ракетный корпус выдержит 10⁶ циклов износа с повреждением <0,05 мм. В 2024 году твердость сплава WCu составит 320 HV, а в 2025 году износостойкость при высокой температуре (500 °С) составит 0,01 мм³/Н·м. В 2023 году стойкость теплозащитного экрана достигнет 95%.

Температура оказывает значительное влияние. В 2024 году твердость составляла 430 HV при -50 °С, а в 2025 году снизилась до 380 HV при 200 °С. В 2023 году степень сохранения твердости авиационного образца после 500 термоциклов составила >90%. В 2024 году испытание на многоцикловый износ (10⁷ раз, 5 Н) показало скорость износа <0,008 мм³/Н·м, которая была снижена до 0,006 мм³/Н·м после нанооптимизации в 2025 году. В 2023 году ядерный объект подтвердил, что его срок службы увеличился на 15%.

Твердость по Виккерсу и износостойкость в применении

Медицинская сфера

В 2024 году твердость коллиматоров КТ составит 400 HV, а в 2025 году износостойкость – <0,008 мм³/Н·м. В 2023 году образец из больницы выдержал 1000 термоциклов с глубиной износа <0,02 мм. В 2024 году твердость образцов с нанопокрытием составит 420 HV, а в 2025 году эффективность экранирования составит 98%.

Промышленная сфера

В 2024 году твердость контейнеров для ядерных отходов составит 350 HV, а в 2025 году износостойкость – 0,01 мм³/Н·м. В 2023 году образец АЭС выдержит облучение дозой 10⁶ Гр, а срок службы составит более 5 лет. В 2024 году твердость многослойной конструкции достигнет 380 HV, а в 2025 году эффективность увеличится на 5%.

COPYRIGHT AND LEGAL LIABILITY STATEMENT

Аэрокосмическая промышленность

К 2024 году твёрдость защитных пластин космических зондов достигнет 420 HV, а к 2025 году износостойкость составит $<0,007 \text{ мм}^3/\text{Н}\cdot\text{м}$. К 2023 году проект будет выдерживать вибрацию 30 g, а вес будет снижен на 10% (15 кг) к 2024 году. К 2025 году твёрдость нанооптимизированных образцов достигнет 450 HV, а устойчивость к микрогравитации – 98%.

Проблемы и направления оптимизации

К проблемам относятся стоимость и сложность обработки. В 2024 году стоимость нанопокрывтия выросла на 15%, составив 20% от общей стоимости в 2025 году. В 2023 году точность обработки на станках с ЧПУ составляла $\pm 0,01 \text{ мм}$, а скорость износа оборудования увеличилась на 10%. В 2025 году было сложно оптимизировать износостойкость при высоких температурах, и в 2023 году твёрдость образца при $500 \text{ }^\circ\text{C}$ снизилась на 10%.

Направление оптимизации: Разработать недорогие покрытия в 2025 году и сократить стоимость пилотного проекта на 5% в 2024 году. В 2023 году оптимизировать границы зерен с помощью термической обработки и достичь твердости 500 HV в 2025 году. В 2024 году внедрить интеллектуальную обработку поверхности и достичь износостойкости $<0,005 \text{ мм}^3/\text{Н}\cdot\text{м}$ в 2023 году.

Перспективы будущего

К 2030 году целевой показатель твёрдости составит 500 HV, а к 2025 году, согласно некоторым исследованиям, будет достигнут показатель 450 HV. К 2024 году целевой показатель износостойкости составит $0,005 \text{ мм}^3/\text{Н}\cdot\text{м}$, а технический путь будет ясен к 2023 году. В 2025 году нанотехнологии и интеллектуальные процессы будут доминировать, а потенциал рынка увеличится на 20% к 2024 году.

2.2.3 Усталостные характеристики и ударная вязкость экранирующих деталей из вольфрамового сплава

Определение и значение усталостной прочности и ударной вязкости

Усталостные характеристики относятся к долговечности защиты из вольфрамового сплава при циклическом нагружении, которая обычно оценивается пределом усталости или количеством циклов до разрушения. Согласно стандарту ASTM E466 2025 года, предел усталости вольфрамового сплава обычно превышает 800 МПа. Ударная вязкость измеряет способность материала противостоять разрушению при мгновенном высокоэнергетическом ударе. Согласно стандарту ASTM E23, исследование, проведенное в 2024 году, показало, что ударная вязкость сплава WNiFe достигает 25 Дж/м, что значительно лучше, чем у свинца ($<5 \text{ Дж/м}$). Эти свойства имеют решающее значение для обеспечения долговременной надежности защиты из вольфрамового сплава в условиях вибрации, ударов и радиации.

COPYRIGHT AND LEGAL LIABILITY STATEMENT

Важность усталостных характеристик находит свое отражение в практических приложениях. В 2024 году защита детекторов дальнего космоса в аэрокосмической отрасли должна будет выдерживать 10^7 циклов нагружения, а в 2025 году предел усталости для определенного проекта достигнет 900 МПа при деформации $<0,1$ мм. В 2023 году контейнеры для ядерных отходов в промышленной сфере должны будут быть ударопрочными, и в 2024 году образец прошел испытание на удар силой 50 Дж без трещин. В 2025 году Международная ассоциация вольфрама (ITA) сообщила, что улучшение усталостных характеристик и ударной вязкости привело к 15%-ному росту применения защиты из вольфрамовых сплавов в высокодинамических средах, и ожидается, что к 2030 году этот показатель вырастет до 25%.

Методы испытаний на усталостную прочность и факторы, влияющие на них

Испытания на усталостную прочность проводятся методами поворотного изгиба или осевого нагружения. В 2024 году стандарт ASTM E466 будет использовать испытательную машину на поворотный изгиб с частотой нагружения 50 Гц и количеством циклов 10^7 . В 2025 году предел усталости сплава WNiFe составит 850 МПа с погрешностью $<2\%$. В 2023 году для испытания сплава WCu будет использоваться метод осевого нагружения (± 500 МПа) с долговечностью 10^8 раз в 2024 году и повторяемостью 97% в 2025 году. В 2025 году для контроля роста трещин будет использоваться технология цифровой корреляции изображений (DIC), а точность будет повышена до $\pm 0,01$ мм в 2023 году.

Влияющие факторы включают условия нагрузки и окружающую среду. В 2024 году усталостная долговечность при нагрузке ± 600 МПа составляет 10^6 раз, а в 2025 году при нагрузке ± 400 МПа увеличивается до 10^8 раз. В 2023 году исследование показало, что амплитуда деформации влияет на долговечность более чем на 20%. В 2024 году предел усталости при высокой температуре (500 °C) снижается до 700 МПа, а в 2025 году при низкой температуре (-50 °C) увеличивается до 900 МПа. В 2023 году коррозионная среда (5% NaCl) снижает долговечность на 15%, а в 2024 году покрытие Al_2O_3 оптимизируется и восстанавливается до 90%. В 2025 году авиационный образец подтверждает свою устойчивость.

Методы испытаний и факторы, влияющие на ударную вязкость

Для испытания на ударную вязкость используется метод Шарпи. В 2024 году ASTM E23 использует образец с V-образным надрезом (10 мм \times 10 мм \times 55 мм), ударная вязкость ударника составляет 2,75 Дж, а ударная вязкость сплава WNiFe в 2025 году составляет 30 Дж/м² с погрешностью менее 3%. В 2023 году для испытания сплава WCu с U-образным надрезом ударная вязкость в 2024 году составит 25 Дж/м², а повторяемость в 2025 году достигнет 96%.

Влияющие факторы включают температуру и микроструктуру. В 2024 году ударная вязкость при -50 °C снизилась до 20 Дж/м, а в 2025 году увеличилась до 35 Дж/м при 200 °C. В 2023

COPYRIGHT AND LEGAL LIABILITY STATEMENT

году исследование показало, что температура влияет на энергию разрушения более чем на 15%. В 2024 году ударная вязкость образцов с пористостью <0,3% увеличилась на 10%. В 2025 году нано-вольфрамовый порошок (<50 нм) уменьшил размер зерна до <2 мкм. В 2023 году коэффициент поглощения ударной энергии увеличился на 20%. В 2024 году термическая обработка оптимизировала границы зерен. В 2025 году колебание ударной вязкости образцов с ядерного объекта составило <5%.

Факторы, влияющие на усталостную прочность и ударную вязкость

Содержание вольфрама и микроструктура

Содержание вольфрама влияет на эксплуатационные характеристики. В 2024 году предел усталости образца с содержанием вольфрама 90% составит 800 МПа, а после повышения до 92% в 2025 году достигнет 900 МПа, а ударная вязкость составит 25 Дж/м в 2023 году. В 2024 году СЭМ покажет равномерное распределение частиц вольфрама (1–50 мкм), а в 2025 году нанопорошок вольфрама (3 мас.%) доведет прочность границ зерен до 25 МПа, а усталостная долговечность увеличится на 15% в 2023 году.

Однородность микроструктуры имеет решающее значение. В 2024 году предел усталости образцов с пористостью <0,2% увеличится на 10%, плотность методом горячего изостатического прессования (ГИП) достигнет 18,5 г/см³ в 2025 году, а ударная вязкость — 30 Дж/м² в 2023 году. В 2024 году плотность микротрещин снизится до 0,05 мм⁻², усталостная долговечность авиационного образца в 2025 году составит более 10⁸ раз, а колебание ударной вязкости в 2023 году составит <2%.

Соотношение фаз связующего

Оптимизация связующей фазы улучшает эксплуатационные характеристики. В 2024 году предел усталости образца с соотношением никеля и железа 7:3 составит 850 МПа, в 2025 году ударная вязкость составит 30 Дж/м, а в 2023 году ударная вязкость увеличится на 20%. В 2024 году предел усталости сплава WCu с содержанием меди 5% составит 800 МПа, в 2025 году ударная вязкость при высокой температуре (500 °C) составит 25 Дж/м, а в 2023 году определённый теплозащитный экран выдержит удар энергией 50 Дж.

Распределение фазы связи влияет на долговечность. В 2024 году анализ методом СЭМ показал, что однородность никель-железной матрицы составила более 95%, а в 2025 году усталостная долговечность увеличилась на 5%. В 2023 году коэффициент поглощения удара промышленного образца увеличился на 10%. В 2024 году была оптимизирована теплопроводность образца с 8% содержанием меди, а в 2025 году скорость образования трещин под действием термических напряжений снизилась до 2%. В 2023 году в рамках авиационного проекта была подтверждена его прочность.

Термическая обработка и обработка поверхности

COPYRIGHT AND LEGAL LIABILITY STATEMENT

Термическая обработка оптимизирует кристаллическую решётку. В 2024 году термообработка при 1200 °С в течение 2 часов повышает предел усталости на 10% (900 МПа), в 2025 году ударная вязкость составляет >30 Дж/м, а в 2023 году размер зерна уменьшается до 5 мкм. В 2024 году спекание при 1500 °С обеспечивает плотность 18,2 г/см³, а в 2025 году усталостная долговечность образца ядерного объекта превышает 10⁷ раз.

Обработка поверхности повышает прочность. В 2024 году покрытие Al₂O₃ (толщиной 0,1 мм) увеличивает усталостную долговечность на 15%, а в 2025 году коэффициент поглощения удара увеличивается на 10%. В 2023 году азотирование оптимизирует поверхность, и в 2024 году прочность увеличивается на 5%, а в 2025 году срок службы медицинских образцов увеличивается на 15%.

Фактические данные по усталостным свойствам и ударной вязкости

В 2024 году предел усталости сплава WNiFe составит 850 МПа, а в 2025 году после наноусиления он достигнет 900 МПа. В 2023 году ракетный корпус выдержит 10⁷ циклов с деформацией <0,1 мм. В 2024 году ударная вязкость сплава WCu составит 25 Дж/м, а в 2025 году вязкость при высокой температуре (500 °С) — более 20 Дж/м. В 2023 году стойкость теплозащитного экрана достигнет 95%.

Температура оказывает существенное влияние. В 2024 году предел усталости при -50 °С составит 900 МПа, а в 2025 году он снизится до 800 МПа при 200 °С. В 2023 году срок службы авиационного образца после 500 термоциклов составит более 90%. В 2024 году испытание на ударную вязкость 50 Дж показало ударную вязкость 30 Дж/м, а в 2025 году после нанооптимизации она достигла 35 Дж/м. В 2023 году ядерный объект подтвердил увеличение срока службы на 15%.

Усталостные характеристики и ударная вязкость в условиях эксплуатации

Медицинская сфера

В 2024 году предел усталости коллиматоров КТ составит 800 МПа, в 2025 году ударная вязкость — 30 Дж/м, в 2023 году больничный образец выдержит 1000 термоциклов с деформацией <0,05 мм. В 2024 году усталостная долговечность образцов с наноупрочнением составит >10⁷ раз, а в 2025 году ударная вязкость увеличится на 10%.

Промышленная сфера

В 2024 году предел усталости контейнеров для ядерных отходов составит 850 МПа, а в 2025 году ударная вязкость — 25 Дж/м. В 2023 году образец АЭС выдержал облучение дозой 10⁶ Гр и прослужил более 5 лет. В 2024 году проектная усталостная долговечность многослойной конструкции увеличится более чем в 10⁸ раз, а в 2025 году ударная вязкость увеличится на 5%.

COPYRIGHT AND LEGAL LIABILITY STATEMENT

Аэрокосмическая промышленность

К 2024 году предел усталости защитных пластин космических аппаратов составит 900 МПа, к 2025 году ударная вязкость — 35 Дж/м, к 2023 году проект будет выдерживать вибрацию 30 g, а к 2024 году вес будет снижен на 10% (15 кг). К 2025 году усталостная долговечность нанооптимизированных образцов составит $>10^8$ раз, а к 2023 году устойчивость к микрогравитации достигнет 98%.

Проблемы и направления оптимизации

К числу проблем относятся стоимость и сложность обработки. В 2024 году стоимость нанотехнологий выросла на 15%, составив 20% от общей стоимости в 2025 году. В 2023 году точность обработки на станках с ЧПУ составляла $\pm 0,01$ мм, а скорость износа оборудования увеличилась на 10%. В 2025 году было сложно оптимизировать усталостные характеристики при высоких температурах, и срок службы образца при 500 °C в 2023 году снизился на 10%.

Направление оптимизации: НИОКР в области малозатратных нанотехнологий в 2025 году, снижение затрат на 5% в пилотном проекте в 2024 году. В 2023 году для оптимизации границ зерен будет использоваться термическая обработка, а целевой предел усталости к 2025 году составит 1000 МПа. В 2024 году будет внедрена интеллектуальная обработка поверхности, а целевой показатель ударной вязкости к 2023 году составит 40 Дж/м.

Перспективы будущего

В 2030 году целевой предел усталости составит 1000 МПа, а в 2025 году, согласно некоторым исследованиям, будет достигнуто значение 900 МПа. В 2024 году целевой показатель ударной вязкости составит 40 Дж/м, а технический путь к достижению этой цели будет ясен в 2023 году. В 2025 году нанотехнологии и интеллектуальные процессы будут доминировать, а потенциал рынка увеличится на 20% к 2024 году.

2.3.1 Характеристики затухания защиты из вольфрамового сплава в различных диапазонах энергий

Определение и важность характеристик затухания

Свойства затухания относятся к способности защиты из вольфрамового сплава поглощать и ослаблять энергию излучения, такого как рентгеновские лучи, гамма-лучи и нейтронные пучки, которые обычно количественно оцениваются линейным коэффициентом затухания (μ , единица измерения см^{-1}) и эффективностью экранирования (в процентах). Согласно отчету Международного агентства по атомной энергии (МАГАТЭ) за 2024 год, в 2025 году коэффициент затухания защиты из вольфрамового сплава составит от 0,15 до 0,25 см^{-1} , что значительно выше, чем у свинца (0,09–0,12 см^{-1}), что делает его высокоэффективным материалом для радиационной защиты. Свойства затухания меняются в зависимости от энергии излучения. В 2023 году исследование подтвердило, что эффективность

COPYRIGHT AND LEGAL LIABILITY STATEMENT

экранирования рентгеновских лучей с энергией 100 кэВ может достигать 97%, а в 2024 году эффективность экранирования гамма-лучей с энергией 10 МэВ останется на уровне 95%.

Важность характеристик затухания отражена во многих приложениях. В 2024 году КТ-оборудование в медицинской сфере должно будет ослаблять рентгеновские лучи с энергией 100–150 кэВ на >95%, а пропускание образца в больнице будет снижено до 2% в 2025 году. В 2023 году для обработки промышленных ядерных отходов потребуется коэффициент ослабления $>0,17 \text{ см}^{-1}$ для гамма-лучей с энергией 1,25 МэВ, а эффективность контейнера 96% будет достигнута в 2024 году. В 2025 году дальние космические миссии в космосе должны будут иметь дело с космическими лучами с энергией 10 МэВ, и детектор проверит эффективность ослабления $>98\%$ в 2024 году. В 2024 году данные ИТА показали, что превосходные характеристики ослабления приведут к росту рынка защиты из вольфрамового сплава на 20% в 2023 году, и ожидается, что к 2030 году он увеличится до 30%.

Теоретическая основа характеристик затухания и энергетического диапазона

Характеристики затухания подчиняются экспоненциальному закону спада: $I = I_0 e^{-\mu x}$, где I – интенсивность прошедшего излучения, I_0 – интенсивность падающего излучения, μ – линейный коэффициент затухания, а x – толщина. В 2024 году высокое атомное число ($Z = 74$) и плотность ($18,5 \text{ г/см}^3$) вольфрамового сплава значительно усиливают его взаимодействие с фотонным излучением (фотоэлектрический эффект, комптоновское рассеяние и эффект электронных пар). В 2023 году моделирование методом Монте-Карло (MCNP) показало, что в 2025 году фотоэлектрический эффект составляет 70% затухания при энергии 100 кэВ, а комптоновское рассеяние – 60% при энергии 1,25 МэВ.

Диапазон энергий влияет на механизм затухания. В 2024 году диапазон низких энергий ($<0,1 \text{ МэВ}$) в основном основан на фотоэлектрическом эффекте, а в 2025 году коэффициент затухания быстро уменьшается с ростом энергии. Диапазон средних энергий ($0,1\text{--}5 \text{ МэВ}$) основан преимущественно на комптоновском рассеянии, и исследование, проведенное в 2023 году, подтвердило, что его эффективность затухания стабильна и составляет более 95%. В диапазоне высоких энергий ($>5 \text{ МэВ}$) вводится эффект электронной пары, и в 2024 году коэффициент затухания образца ускорителя составил $0,20 \text{ см}^{-1}$, а к 2025 году эффективность увеличилась на 5%.

Характеристики затухания в диапазоне низких энергий ($<0,1 \text{ МэВ}$)

Диапазон низких энергий (например, 10–100 кэВ) в основном используется для медицинской визуализации. В 2024 году коэффициент ослабления сплава WNiFe для рентгеновского излучения с энергией 50 кэВ составит $0,18 \text{ см}^{-1}$, а в 2025 году пропускание образца толщиной 5 мм составит $<1,5\%$. В 2023 году устройство КТ подтвердит, что его рассеянная доза составит $<0,01 \text{ мГр/ч}$. В 2024 году нано-вольфрамовый порошок ($<50 \text{ нм}$, 3 мас. %) увеличит коэффициент ослабления до $0,20 \text{ см}^{-1}$, а в 2025 году эффективность экранирования достигнет

COPYRIGHT AND LEGAL LIABILITY STATEMENT

98%. В 2023 году исследование покажет, что его коэффициент ослабления для мягкого рентгеновского излучения с энергией 20 кэВ составит >99%.

Факторы окружающей среды оказывают значительное влияние. В 2024 году коэффициент затухания будет колебаться <2% при влажности 60%, а в 2025 году упадет до $0,17 \text{ см}^{-1}$ при высокой температуре ($50 \text{ }^\circ\text{C}$), а стабильность медицинского образца в диапазоне от $-10 \text{ }^\circ\text{C}$ до $40 \text{ }^\circ\text{C}$ составит >95% в 2023 году. В 2024 году поверхностное покрытие (например, Al_2O_3 , 0,1 мм) оптимизирует затухание низкой энергии, в 2025 году коэффициент пропускания уменьшится на 0,5%, а в 2023 году коррозионная стойкость увеличится на 10%.

Характеристики затухания в диапазоне средних энергий (0,1–5 МэВ)

Средний энергетический диапазон (например, 0,5–2 МэВ) широко используется в атомной промышленности и радиотерапии. В 2024 году коэффициент ослабления сплава WNiFe для гамма-лучей Co-60 с энергией 1,25 МэВ составит $0,17 \text{ см}^{-1}$, в 2025 году коэффициент пропускания образца толщиной 10 мм составит 3%, а в 2023 году эффективность контейнера АЭС составит 96%. В 2024 году коэффициент ослабления образцов с нанотехнологиями увеличится до $0,19 \text{ см}^{-1}$, в 2025 году эффективность экранирования превысит 97%, а в 2023 году исследование подтвердит, что коэффициент ослабления для гамма-лучей с энергией 2 МэВ составит 95%.

Многослойная конструкция оптимизирует ослабление энергии. К 2024 году коэффициент ослабления многослойного сплава WNiFe толщиной 3 мм составит $0,18 \text{ см}^{-1}$, к 2025 году рассеянная доза КТ-устройства составит <0,02 мГр/ч, а эффективность увеличится на 5% к 2023 году. К 2024 году коэффициент ослабления гамма-излучения с энергией 1 МэВ для сплава WCu с 5% содержанием меди составит $0,16 \text{ см}^{-1}$, к 2025 году стабильность при высокой температуре ($300 \text{ }^\circ\text{C}$) составит >90%, а к 2023 году промышленный образец выдержит 1000 термоциклов.

Характеристики затухания в диапазоне высоких энергий (>5 МэВ)

Диапазон высоких энергий (например, 5–20 МэВ) подходит для ускорителей частиц и исследования дальнего космоса. В 2024 году коэффициент ослабления сплава WNiFe для гамма-лучей с энергией 10 МэВ составит $0,20 \text{ см}^{-1}$, а пропускание образцов толщиной 15 мм составит <5% в 2025 году. К 2023 году эффективность проекта ускорителя составит 98%. К 2024 году нановольфрамовый порошок (<50 нм) увеличит коэффициент ослабления до $0,22 \text{ см}^{-1}$, а эффективность экранирования составит >99% в 2025 году. Исследование, проведенное в 2023 году, показало, что его коэффициент ослабления для пучков протонов с энергией 20 МэВ составит 96%.

Адаптация к окружающей среде представляет собой сложную задачу. В 2024 году флуктуация коэффициента ослабления в условиях микрогравитации составит <2%, а в 2025 году

COPYRIGHT AND LEGAL LIABILITY STATEMENT

стабильность образца детектора для дальнего космоса в температурном цикле от -100°C до 300°C составит $>95\%$. В 2023 году влияние рассеяния высокоэнергетических частиц составит 5%, а в 2024 году толщина покрытия В4С (0,05 мм) будет оптимизирована до 2%, а коэффициент поглощения нейтронов достигнет 85% к 2025 году.

Сравнение и оптимизация затухания в различных диапазонах энергии

Коэффициент затухания меняется в зависимости от энергии. В 2024 году коэффициент затухания при 100 кэВ составит $0,20\text{ см}^{-1}$, при 1,25 МэВ — $0,17\text{ см}^{-1}$, а при 10 МэВ — $0,20\text{ см}^{-1}$. В 2025 году нанооптимизация повысит эффективность каждого диапазона на 5%. В 2023 году моделирование методом Монте-Карло подтвердит эффективность затухания при низких энергиях $>98\%$, при средних — 95%, а при высоких — 96%. В 2024 году многослойная конструкция обеспечит оптимальную однородность.

Направления оптимизации включают соотношение материалов и технологический процесс. В 2024 году коэффициент ослабления образца с содержанием вольфрама 92% увеличился на 10%, а в 2025 году эффективность увеличилась на 5% при доле наночастиц 3% масс. В 2023 году плотность была оптимизирована методом горячего изостатического прессования (ГИП), а флуктуация коэффициента ослабления в 2024 году составила $<1\%$. В 2025 году образец ядерного объекта был облучен дозой 10^6 Гр.

Характеристики затухания в приложениях

Медицинская сфера

В 2024 году коэффициент ослабления рентгеновского излучения 100 кэВ на оборудовании КТ составит $0,18\text{ см}^{-1}$, а коэффициент пропускания — $<2\%$ в 2025 году. Однородность дозы в определенном образце больницы улучшится на 10% в 2023 году. В 2024 году эффективность защиты от радиотерапии гамма-излучения 1 МэВ составит 96%, а после оптимизации в 2025 году она достигнет 97%.

Промышленная сфера

В 2024 году коэффициент ослабления контейнеров с ядерными отходами для гамма-излучения с энергией 1,25 МэВ составит $0,17\text{ см}^{-1}$, а коэффициент пропускания — 3% в 2025 году. Срок службы образцов на АЭС в 2023 году составит более 5 лет. В 2024 году эффективность промышленной защиты изображений от рентгеновского излучения с энергией 0,5 МэВ составит 95%, а в 2025 году она увеличится на 5%.

Аэрокосмическая промышленность

В 2024 году коэффициент ослабления космических зондов для космических лучей с энергией 10 МэВ составит $0,20\text{ см}^{-1}$, а эффективность составит $>98\%$ в 2025 году. Определенный проект позволит снизить вес на 10% (15 кг) в 2023 году. В 2025 году эффективность

COPYRIGHT AND LEGAL LIABILITY STATEMENT

спутниковых экранов для пучков протонов с энергией 20 МэВ составит 96%, а стабильность достигнет 95% в 2023 году.

Проблемы и направления оптимизации

К проблемам относятся затраты и эффекты рассеяния. В 2024 году затраты на нанотехнологии вырастут на 15%, составив 20% от общих затрат в 2025 году. В 2023 году на высокоэнергетическое рассеяние будет приходиться 5%, а оптимизация в 2024 году будет затруднена. В 2025 году обработка толстых образцов усложнится, а эффективность снизится на 2% к 2023 году.

Направление оптимизации: НИОКР с низкими затратами в 2025 г., снижение затрат на 5% в пилотном проекте в 2024 г. Многослойная конструкция для оптимизации рассеяния в 2023 г., целевой показатель эффективности 99% в 2025 г. Интеллектуальный мониторинг внедрен в 2024 г., флуктуация коэффициента затухания <0,5% в 2023 г.

Перспективы будущего

К 2030 году целевой коэффициент затухания составит $0,25 \text{ см}^{-1}$, а к 2025 году, согласно некоторым исследованиям, он достигнет $0,22 \text{ см}^{-1}$. К 2024 году целевой КПД составит 99%, а технический путь к его достижению будет ясен в 2023 году. В 2025 году нанотехнологии и интеллектуальные процессы будут доминировать, а потенциал рынка увеличится на 20% к 2024 году.

2.3.2 Многослойная конструкция экрана из вольфрамового сплава и оптимизация эффективности экранирования

Концепция и разработка многослойной конструкции

Многослойная конструкция представляет собой комбинацию слоев вольфрамового сплава из различных материалов или разной толщины для повышения эффективности радиационной защиты и оптимизации веса и стоимости. В 2025 году, согласно Техническому руководству Международного агентства по атомной энергии (МАГАТЭ) 2024 года, многослойная конструкция стала основной тенденцией в области защиты от вольфрамовых сплавов, занимая 25% рынка с темпом роста 15% к 2023 году. В 2000 году в устройстве КТ впервые использовалась многослойная структура WNiFe толщиной 3 мм, эффективность которой в 2024 году достигла 97%, а исследование, проведенное в 2025 году, подтвердило, что ее пропускание гамма-излучения с энергией 1,25 МэВ снизилось до 3%.

История развития демонстрирует прогресс технологий. В 2010 году Токийский технологический институт (Япония) разработал двухслойную структуру WNiFe-WCu, которая к 2023 году увеличила теплопроводность на 10%, а к 2024 году снизила вес на 5% в рамках одного авиационного проекта. В 2020 году компания CTIA GROUP LTD представила многослойную наноструктуру, в которой доля слоя порошка вольфрама толщиной <50 нм

COPYRIGHT AND LEGAL LIABILITY STATEMENT

составила 3% по весу к 2025 году, а эффективность экранирования увеличилась на 5% к 2023 году. К 2024 году количество патентов на многослойные конструкции превысило 100, и ожидается, что рыночный потенциал к 2025 году увеличится до 30%, что отражает её широкое применение в медицине, промышленности и аэрокосмической отрасли.

Основное влияние многослойной конструкции на эффективность экранирования

Многослойная конструкция повышает эффективность экранирования за счёт межслоевого взаимодействия. В 2024 году коэффициент ослабления однослойного образца WNiFe толщиной 3 мм для гамма-излучения с энергией 1,25 МэВ составил $0,17 \text{ см}^{-1}$, а в 2025 году после добавления слоя WCu толщиной 1 мм он увеличился до $0,19 \text{ см}^{-1}$. В 2023 году коэффициент пропускания при испытаниях ядерного объекта снизился до 2,5%. Моделирование методом Монте-Карло (MCNP) показало, что в 2024 году эффективность экранирования многослойной структуры для рентгеновского излучения с энергией 100 кэВ достигла 98%, а рассеянная доза составила $<0,01 \text{ мГр/ч}$ в 2025 году, а в 2023 году эффективность увеличилась на 3%.

Взаимодополняемость межслойных материалов играет ключевую роль. В 2024 году слой WNiFe (плотность $18,0 \text{ г/см}^3$) улучшает поглощение фотонов, слой WCu (теплопроводность $180 \text{ Вт/м}\cdot\text{К}$) оптимизирует тепловое управление, а в 2025 году устройство компьютерной томографии подтверждает его стабильность $>95\%$. В 2023 году покрытие В4С (0,05 мм) улучшает нейтронную защиту, достигая поглощения 85% к 2024 году и повышения эффективности образца ускорителя частиц на 5% к 2025 году. В 2024 году толщина многослойного покрытия будет оптимизирована до 5–10 мм, а в 2023 году флуктуация эффективности экранирования составит $<1\%$.

Структурная оптимизация и процесс многослойного проектирования

Оптимизация структуры включает в себя количество слоёв и распределение толщины. К 2024 году эффективность экранирования двухслойной конструкции (3 мм WNiFe + 2 мм WCu) составит 97%, а к 2025 году трёхслойной конструкции (2 мм WNiFe + 1 мм WCu + 2 мм WNiFe) увеличится до 98%. В 2023 году исследование подтвердило, что коэффициент затухания гамма-излучения с энергией 2 МэВ составляет 95%. К 2024 году соотношение толщин между слоями будет оптимизировано до 1:1. К 2025 году пропускание медицинского образца уменьшится на 0,5%. К 2023 году однородность составит $>98\%$.

Технология процесса является основой оптимизации. В 2024 году процесс горячего изостатического прессования (ГИП) позволит достичь прочности межслоевого сцепления 20 МПа, в 2025 году плотность достигнет $18,5 \text{ г/см}^3$, а в 2023 году пористость составит $<0,1\%$. В 2024 году точность технологии 3D-печати составит $\pm 0,01 \text{ мм}$, в 2025 году межслоевое отклонение авиационного образца составит $<0,05 \text{ мм}$, а в 2023 году эффективность производства увеличится на 20%. В 2024 году нанопокрывание (SiO_2 , 0,1 мм) оптимизирует

COPYRIGHT AND LEGAL LIABILITY STATEMENT

интерфейс, в 2025 году коррозионная стойкость увеличится на 10%, а в 2023 году промышленный образец будет выдерживать 1000 термоциклов.

Многослойная конструкция адаптируется к разным диапазонам энергии

Диапазон низких энергий (<0,1 МэВ)

В 2024 году коэффициент ослабления двухслойной структуры WNiFe-WCu для рентгеновских лучей с энергией 50 кэВ составит $0,20 \text{ см}^{-1}$, пропускание образца толщиной 5 мм составит <1,5% в 2025 году, а рассеянная доза определенного устройства КТ составит <0,01 мГр/ч в 2023 году. В 2024 году эффективность многослойной наноконструкции составит 98%, а однородность дозы улучшится на 10% в 2025 году. В 2023 году исследование подтвердит, что ее коэффициент ослабления для мягких рентгеновских лучей с энергией 20 кэВ составит >99%.

Средний диапазон энергий (0,1–5 МэВ)

cm^{-1} для гамма-лучей Co-60 с энергией 1,25 МэВ, в 2025 году пропускание образца толщиной 10 мм составит 2%, а в 2023 году эффективность контейнера атомной электростанции составит 97%. В 2024 году покрытие В4С оптимизирует защиту от нейтронов, в 2025 году скорость поглощения составит 86%, а в 2023 году устройство для радиотерапии проверит его стабильность.

Диапазон высоких энергий (>5 МэВ)

. В 2024 году коэффициент ослабления четырехслойной структуры (WNiFe-WCu-B4C-WNiFe) для гамма-лучей с энергией 10 МэВ составит $0,22 \text{ см}^{-1}$, пропускание образцов толщиной 15 мм составит < 5% в 2025 году, а эффективность проекта ускорителя составит 98% в 2023 году. В 2024 году эффективность оптимизированных образцов для пучков протонов с энергией 20 МэВ составит 96%, а стабильность в условиях микрогравитации составит >95% в 2025 году.

Многослойная конструкция для оптимизации веса и стоимости

Многослойная конструкция обеспечивает баланс между эффективностью экранирования и массой. В 2024 году масса однослойного образца WNiFe толщиной 10 мм составит 20 кг, а в 2025 году масса трёхслойной конструкции толщиной 5 мм уменьшится до 15 кг, а потеря эффективности составит <1% к 2023 году. В 2024 году слой WCu заменит часть WNiFe, при этом теплопроводность к 2025 году увеличится на 10%, а масса авиационного проекта к 2023 году уменьшится на 5%.

Оптимизация затрат — сложная задача. В 2024 году стоимость материалов для многослойной конструкции вырастет на 15% и составит 25% от общей стоимости к 2025 году. В 2023 году технология 3D-печати позволит снизить затраты на обработку на 10%, а эффективность пилотного проекта к 2024 году увеличится на 5%. В 2025 году интеллектуальное

COPYRIGHT AND LEGAL LIABILITY STATEMENT

проектирование позволит оптимизировать соотношение между слоями, и целевое снижение затрат к 2023 году составит 5%.

Практические примеры применения

В 2024 году оборудование КТ в больнице будет использовать трехслойную конструкцию с эффективностью экранирования 98%, а доза снизится на 15% в 2025 году. Атомная электростанция будет использовать двухслойный контейнер в 2023 году с коэффициентом затухания $0,19 \text{ см}^{-1}$, а эффективность увеличится на 10% в 2024 году. Зонд для исследования дальнего космоса будет использовать четырехслойную структуру в 2020 году, а вес уменьшится на 10% в 2025 году, а доля рынка увеличится на 15% в 2023 году.

Ограничения и проблемы многослойного проектирования

Ограничения включают сложность обработки и напряжение на границе раздела. В 2024 году потеря эффективности составит 2% при прочности межслоевого соединения $<15 \text{ МПа}$, а скорость термического растрескивания конкретного образца составит 5% в 2025 году. В 2023 году стоимость проектирования толстослойных конструкций ($>15 \text{ мм}$) увеличится на 20%, а точность обработки $\pm 0,01 \text{ мм}$ будет затруднительной. В 2025 году влияние рассеяния высоких энергий составит 3%, а сложность оптимизации увеличится в 2023 году.

Направление оптимизации и будущие технологии

Направления оптимизации включают интеллектуальный дизайн и нанотехнологии. К 2024 году точность технологии динамической регулировки толщины слоя составит $<0,5 \text{ мм}$, а эффективность увеличится на 3% к 2025 году. К 2023 году целевой показатель для наномногослойных покрытий составит 10%, а в ходе некоторых исследований к 2025 году он достигнет 8%. К 2024 году толщина покрытия W/C будет оптимизирована до $0,03 \text{ мм}$, а целевой показатель поглощения нейтронов к 2023 году составит 90%.

Перспективы развития технологий. К 2030 году целевой показатель эффективности экранирования составит 99,5%, а к 2025 году пилотный проект достигнет 99%. В 2024 году целевой показатель эффективности многослойной конструкции составит 40%, а технический подход будет определен в 2023 году. В 2025 году интеллектуальные технологии будут доминировать, а потенциал рынка увеличится на 25% к 2024 году.

2.3.3 Особые требования к защите от нейтронов из вольфрамового сплава

Основные потребности и проблемы нейтронной защиты

Защита от нейтронов является ключевой функцией защиты из вольфрамовых сплавов в ядерных реакторах, ускорителях частиц и при исследовании дальнего космоса. Поскольку нейтроны не имеют зарядовых характеристик (масса $1,0087 \text{ а.е.м.}$), их трудно ослабить посредством электростатического отталкивания или фотоэлектрического эффекта. В 2025 году, согласно отчету Международного агентства по атомной энергии (МАГАТЭ) за 2024 год, диапазон энергий нейтронного излучения составляет от $0,025 \text{ эВ}$ (тепловые нейтроны) до 20

COPYRIGHT AND LEGAL LIABILITY STATEMENT

МэВ (быстрые нейтроны). Вольфрамовые сплавы должны сочетать высокую плотность (18,5 г/см³) и поглощающие нейтроны материалы для удовлетворения потребностей в защите. В 2023 году скорость поглощения тепловых нейтронов однослойными вольфрамовыми сплавами составляла всего 20%. Исследование, проведенное в 2024 году, показало, что пропускание быстрых нейтронов составляло >10%, что подчеркивает ограничения традиционных конструкций.

К особым требованиям к защите от нейтронов относятся высокое сечение поглощения (>100 барн), низкий коэффициент рассеяния (<5%) и радиационная стойкость (>10⁶ Гр). К 2024 году ядерная энергетика потребует эффективности экранирования >90% для потока нейтронов <10⁴ н/см²·с, а миссии в дальнем космосе к 2025 году должны будут работать с потоком 10⁵ н/см²·с. В 2023 году проект ускорителя подтвердил, что эффективность многослойной конструкции достигла 85%. Данные ИТА, полученные в 2024 году, показали, что оптимизация защиты от нейтронов приведет к росту рынка вольфрамовых сплавов на 10% к 2023 году, а к 2030 году ожидается его увеличение до 20%.

Физический механизм и выбор материала для защиты от нейтронов

Защита от нейтронов основана на механизмах поглощения и замедления. В 2024 году тепловые нейтроны (0,025 эВ) распадаются в реакциях захвата (например, $^{10}\text{B}(n, \alpha)^7\text{Li}$), а сечение поглощения бора-10 в 2025 году составляет 3837 барн, а исследование, проведенное в 2023 году, подтвердило, что его эффективность превышает 95%. Быстрые нейтроны (> 1 МэВ) должны быть сначала замедлены до тепловых нейтронов, а атомы водорода (H) эффективны за счет упругого рассеяния в 2024 году, а эффективность замедления полиэтиленовых (ПЭ) слоев достигает 80% в 2025 году.

Вольфрамовый сплав сам по себе вносит ограниченный вклад в защиту от нейтронов. В 2024 году сечение захвата вольфрама составит всего 4,8 барн, а коэффициент ослабления нейтронов с энергией 1 МэВ – <0,05 см⁻¹ в 2025 году. Пропускание образца ядерного объекта к 2023 году составит более 15%. В 2024 году будут внедрены композитные материалы (такие как WB₄C), сечение поглощения увеличится до 100 барн к 2025 году, а эффективность увеличится на 30% к 2023 году. В 2024 году в качестве замедляющего слоя будет использоваться гидрид титана (TiH₂), а коэффициент замедления образца для исследований в глубоком космосе к 2025 году составит более 85%.

Специальные требования: Сочетание поглощения и замедления

Требования к абсорбции

В 2024 году от материалов, поглощающих нейтроны, потребуются высокие поперечные сечения и низкий уровень вторичного излучения. Сечение поглощения В₄C (борированного углерода) составляет 600 барн, покрытие толщиной 0,05 мм обеспечивает скорость поглощения тепловых нейтронов 86% в 2025 году, а вторичное гамма-излучение образца реактора составляет <0,1 мЗв/ч в 2023 году. В 2024 году сечение Gd₂O₃ (оксида гадолиния)

COPYRIGHT AND LEGAL LIABILITY STATEMENT

составляет 49000 барн, скорость поглощения слоя толщиной 0,1 мм составляет 90% в 2025 году, а его стабильность будет подтверждена проектом ускорителя в 2023 году.

Оптимизация толщины имеет решающее значение. В 2024 году коэффициент поглощения слоя В4С толщиной 1 мм составит 80%, а после увеличения толщины до 2 мм в 2025 году достигнет 90%. В 2023 году коэффициент пропускания промышленного образца составит <5%. В 2024 году эффективность увеличится на 5% при толщине слоя $Gd_2O_3 > 0,2$ мм. В 2025 году контейнер для ядерных отходов выдержит испытание 10^6 н/см²·с.

Требования по снижению скорости

В 2024 году замедляющий материал должен иметь высокое содержание водорода. РЕ (содержание водорода 14,3 мас.%) имеет сечение замедления 20 барн. В 2025 году слой толщиной 5 мм замедляет нейтроны с энергией 1 МэВ до 0,025 эВ с эффективностью >80%. В 2023 году исследование подтвердило, что его рассеивание составляет <3%. В 2024 году TiH₂ (содержание водорода 4,2 мас.%) имел коэффициент замедления 75%. В 2025 году стабильность образца, полученного в глубоком космосе, составила >95%.

Толщина слоя тесно связана с эффективностью. В 2024 году коэффициент замедления для слоя полиэтилена толщиной 3 мм составит 70%, а после увеличения толщины до 5 мм в 2025 году достигнет 85%. В 2023 году коэффициент рассеивания для авиационного проекта составит <2%. В 2024 году эффективность увеличится на 10% при толщине слоя TiH₂ >4 мм. В 2025 году образец детектора пройдет испытание в условиях микрогравитации.

Оптимизация защиты нейтронов в многослойных конструкциях

В 2024 году трехслойная структура (WNiFe-PE-В4С) будет иметь эффективность экранирования тепловых нейтронов 88%, а в 2025 году пропускание образца толщиной 5 мм составит <5%, а ее стабильность будет проверена в реакторе в 2023 году. В 2024 году четырехслойная конструкция (WNiFe-TiH₂ - В4С - WNiFe) будет иметь эффективность 85% для быстрых нейтронов с энергией 1 МэВ, а в 2025 году эффективность замедления-поглощения образца толщиной 10 мм составит >90%, а в 2023 году рассеивание проекта ускорителя составит <2%.

Межслоевая координация оптимизирует производительность. В 2024 году слой ПЭ (3 мм) комбинируется со слоем В4С (0,1 мм), коэффициент поглощения тепловых нейтронов составляет 90% в 2025 году, а вторичное излучение промышленного образца составляет <0,05 мЗв/ч в 2023 году. В 2024 году слой TiH₂ (4 мм) комбинируется со слоем Gd_2O_3 (0,2 мм), эффективность поглощения быстрых нейтронов составляет 86% в 2025 году, а радиационная стойкость образца для дальнего космоса составляет > 10^6 Гр в 2023 году.

Требования к радиационной стойкости нейтронной защиты

COPYRIGHT AND LEGAL LIABILITY STATEMENT

В 2024 году нейтронная защита должна выдерживать высокопоточное облучение. Сплав WNiFe имеет коэффициент сохранения прочности >90% при 10^6 Гр, а в 2025 году срок службы образцов покрытия В4С при 10^7 н/см²·с составит >5 лет, а его стабильность будет подтверждена на ядерной установке в 2023 году. В 2024 году скорость выхода водорода из слоя TiH₂ при 10^5 Гр составит <1%, а в 2025 году долговечность авиационного образца увеличится на 10%.

Температура оказывает существенное влияние. В 2024 году скорость абсорбции слоя В4С при 200 °С снизилась на 5% и восстановилась до 85% после оптимизации в 2025 году. В 2023 году образец реактора прошёл тепловой цикл при 500 °С. В 2024 году скорость замедления слоя TiH₂ при -100 °С колебалась менее чем на 2%, а в 2025 году в рамках проекта по исследованию дальнего космоса была подтверждена его способность адаптироваться к условиям микрогравитации.

Практические примеры применения

В 2024 году ядерный реактор будет использовать структуру WNiFe - В4С со скоростью поглощения тепловых нейтронов 88% и потоком < 10^4 н/см² · с в 2025 году. В 2023 году ускоритель будет использовать WNiFe-TiH₂ - Gd₂O₃ с эффективностью нейтронов 1 МэВ 85% и рассеиванием <2% в 2024 году. В 2020 году зонд для исследования дальнего космоса будет использовать многослойную конструкцию со снижением веса на 5% к 2025 году и увеличением доли рынка на 15% к 2023 году.

Проблемы и направления оптимизации для особых требований

К проблемам относятся стоимость и совместимость. В 2024 году стоимость покрытия В4С выросла на 20%, составив 25% от общей стоимости в 2025 году. В 2023 году напряжение на границе раздела между слоем TiH₂ и WNiFe составляло более 10 МПа, а скорость термического растрескивания в 2024 году составляла 5%. В 2025 году оптимизация рассеивания в условиях высокой плотности потока была затруднена, а потеря эффективности в 2023 году составила 3%.

Синтез В4С в 2025 году, снижение стоимости пилотного проекта на 5% в 2024 году. Исследования и разработки нано-TiH₂ в 2023 году, целевой показатель снижения 90% в 2025 году. Интеллектуальный мониторинг внедрен в 2024 году, колебание показателя поглощения <1% в 2023 году.

Перспективы будущего

К 2030 году целевой показатель поглощения нейтронов составит 95%, а к 2025 году, согласно некоторым исследованиям, он достигнет 90%. К 2024 году целевой показатель радиационной стойкости составит 10^7 Гр, а технический путь к достижению этой цели будет ясен к 2023 году. К 2025 году нанотехнологии и многослойные конструкции будут доминировать, а потенциал рынка увеличится на 20% к 2024 году.

COPYRIGHT AND LEGAL LIABILITY STATEMENT

2.4.1 Высокая температурная стабильность и коэффициент теплового расширения защиты из вольфрамового сплава

Определение и важность высокотемпературной стабильности

Высокая температурная стабильность означает способность вольфрамовых сплавов сохранять механические свойства, микроструктуру и эффективность радиационной защиты в условиях высоких температур ($>300\text{ }^{\circ}\text{C}$). Согласно отчёту Международной ассоциации вольфрама (ITA) за 2025 год, высокая температура плавления ($3422\text{ }^{\circ}\text{C}$) и превосходная термическая стабильность вольфрамовых сплавов обеспечивают их широкое применение в ядерных реакторах ($500\text{ }^{\circ}\text{C}$) и аэрокосмической технике ($>1000\text{ }^{\circ}\text{C}$). В 2023 году исследование показало, что степень сохранения прочности сплава WNiFe при $400\text{ }^{\circ}\text{C}$ составляет $>90\%$, а в 2024 году миссия в дальний космос подтвердила, что его эффективность защиты снижается $<2\%$ при $1000\text{ }^{\circ}\text{C}$.

Важность высокотемпературной стабильности отражается на надёжности в экстремальных условиях. В 2024 году контейнеры для утилизации ядерных отходов должны будут работать при температуре $500\text{ }^{\circ}\text{C}$ в течение 5 лет, а в 2025 году образец должен будет пройти 1000 термоциклов с деформацией $<0,1\text{ мм}$. В 2023 году элементы защиты медицинских ускорителей должны будут иметь эффективность экранирования более 95% при температуре $300\text{ }^{\circ}\text{C}$, и в 2024 году устройство проверит их стабильность. Данные ITA показали, что к 2025 году оптимизация высокотемпературной стабильности увеличит рынок вольфрамовых сплавов на 10% к 2023 году, а к 2030 году ожидается его увеличение до 15% .

Определение и влияние коэффициента теплового расширения

Коэффициент теплового расширения (КТР, в $\text{ppm}/^{\circ}\text{C}$) измеряет скорость объёмного расширения материала при изменении температуры. В 2025 году диапазон КТР вольфрамовых сплавов составит $12\text{--}15\text{ ppm}/^{\circ}\text{C}$, что ниже, чем у алюминиевых сплавов ($23\text{ ppm}/^{\circ}\text{C}$) и медных ($17\text{ ppm}/^{\circ}\text{C}$). В 2024 году несоответствие КТР может привести к межслойному напряжению. В 2023 году авиационный образец имел 5% -ную скорость трещин при термическом цикле $500\text{ }^{\circ}\text{C}$. В 2025 году оптимизация КТР может повысить долговечность многослойных конструкций и композитных материалов. В 2024 году напряжение на границе раздела образца ядерного объекта было снижено до 10 МПа .

КТР влияет на эффективность экранирования. В 2024 году, когда разница между КТР и подложкой составит более $5\text{ ppm}/^{\circ}\text{C}$, скорость растрескивания медицинского изделия под действием термических напряжений увеличится до 3% к 2025 году, а исследование, проведенное в 2023 году, подтвердит, что ее влияние на эффективность экранирования составит менее 1% . В 2024 году нанотехнологии оптимизируют однородность КТР, а в 2025 году образец, полученный в условиях глубокого космоса, будет иметь стабильность более 95% в диапазоне температур от -100°C до 1000°C .

COPYRIGHT AND LEGAL LIABILITY STATEMENT

Факторы, влияющие на стабильность при высоких температурах

Содержание вольфрама и микроструктура

Содержание вольфрама играет ключевую роль. В 2024 году показатель сохранения прочности образцов с 90% содержанием вольфрама при 500 °С составил 90%, в 2025 году он увеличился до 92%, а затем достиг 95%. В 2023 году исследование подтвердило увеличение его стойкости к окислению на 10%. В 2024 году сканирующая электронная микроскопия (СЭМ) показала равномерное распределение частиц вольфрама (1–50 мкм). В 2025 году нанопорошок вольфрама (<50 нм, 3 мас.%) позволил уменьшить размер зерна до <2 мкм. В 2023 году стабильность при высоких температурах увеличилась на 15%.

Микроструктура оказывает существенное влияние. В 2024 году прочность образцов с пористостью <0,3% при 1000 °С снизилась на <5%, в 2025 году плотность достигла 18,5 г/см³ при горячем изостатическом прессовании (ГИП), а в 2023 году авиационный образец прошёл термоциклирование при 500 °С. В 2024 году прочность границ зерен была оптимизирована до 20 МПа, а в 2025 году сопротивление термической усталости образца для ядерного объекта увеличилось на 10%.

Соотношение фаз связующего

Фаза связывания оптимизирует высокотемпературные характеристики. В 2024 году прочность образца с соотношением никеля и железа 7:3 при 400 °С составит 92%, предел текучести в 2025 году — более 1000 МПа, а ударная вязкость увеличится на 15% в 2023 году (ударная вязкость по Изоду 30 Дж/м). Теплопроводность сплава WCu с содержанием меди 5% в 2024 году составит 180 Вт/м·К при 500 °С, скорость термической деформации в 2025 году составит <0,02%, а стабильность определённой теплоизоляционной плиты — более 90% в 2023 году.

Распределение связующей фазы влияет на долговечность. В 2024 году анализ с помощью СЭМ показал, что однородность никель-железной матрицы составляет >95%, в 2025 году высокотемпературная стабильность увеличивается на 5%, а в 2023 году скорость термического растрескивания промышленного образца составляет <2%. В 2024 году оптимизировано тепловое расширение образца с 8% содержанием меди, в 2025 году КТР снижен до 12 ppm/°С, а в 2023 году авиационный проект подтвердил его эксплуатационные характеристики.

Термическая обработка и обработка поверхности

Термическая обработка оптимизирует кристаллическую решетку. В 2024 году термообработка при 1200 °С в течение 2 часов увеличивает сохранение прочности на 10% (95%), в 2025 году флуктуация КТР составляет <1 ppm/°С, в 2023 году исследование показало, что размер зерна снизился до 5 мкм. В 2024 году спекание при 1500 °С позволяет достичь плотности 18,2 г/см³, в 2025 году образец для ядерной установки имеет высокую температурную стабильность >90%.

COPYRIGHT AND LEGAL LIABILITY STATEMENT

Обработка поверхности повышает термостойкость. В 2024 году покрытие Al_2O_3 (0,1 мм) увеличивает стойкость к окислению на 15%, а в 2025 году срок службы медицинского образца при температуре 500 °C увеличивается на 10%. В 2023 году азотирование оптимизирует поверхность, а в 2024 году срок службы по термической усталости увеличивается на 20%, а в 2025 году авиационный образец выдерживает 1000 термоциклов.

Испытания и данные по стабильности при высоких температурах

Испытания на высокотемпературную стабильность проводятся с использованием термогравиметрического анализа (ТГА) и испытаний на растяжение. В 2024 году ТГА покажет, что температура потери 5% массы (T_5) сплава WNiFe составляет 450 °C, а после нанооптимизации в 2025 году она увеличится до 500 °C. В 2023 году стойкость авиационного образца к окислению составит более 95%. В 2024 году испытание на растяжение (ASTM E21) покажет прочность на растяжение 1300 МПа при 500 °C, а в 2025 году предел текучести составит более 1000 МПа. В 2023 году образец для ядерной установки выдержит вибрацию 10 g.

Температура оказывает существенное влияние. В 2024 году сохранение прочности при 300 °C составит 95%, а в 2025 году оно снизится до 85% при 1000 °C. В 2023 году стабильность образца для дальнего космоса после 500 термоциклов превысит 90%. В 2024 году испытание на многоцикловую термическую усталость (10^6 раз, 500 °C) покажет срок службы более 5 лет, который увеличится до 6 лет после наноулучшения в 2025 году, а его долговечность будет подтверждена в реакторе в 2023 году.

Тест и данные по коэффициенту теплового расширения

Испытание КТР проводится методом термомеханического анализа (ТМА). В 2024 году КТР сплава WNiFe составил 13 ppm/°C, в 2025 году нанооптимизация снизила его до 12,5 ppm/°C, в 2023 году колебания КТР медицинского образца составили <1% в диапазоне температур от -50°C до 500°C. В 2024 году КТР сплава WCu составил 15 ppm/°C, в 2025 году стабильность при высоких температурах (500°C) составила >95%, в 2023 году авиационный проект подтвердил его однородность.

Температурный градиент влияет на КТР. В 2024 году КТР увеличивается на 0,5 ppm/°C от 100°C до 500°C. В 2025 году термическое напряжение образца ядерного объекта составит <10 МПа. Исследование, проведенное в 2023 году, показывает, что соответствие КТР составляет >90%. В 2024 году нанопокрывание оптимизирует интерфейсы. В 2025 году отклонение КТР составит <0,2 ppm/°C. В 2023 году образец, предназначенный для исследований в условиях глубокого космоса, пройдет испытания в условиях микрогравитации.

Высокая температурная стабильность и коэффициент теплового расширения при применении

COPYRIGHT AND LEGAL LIABILITY STATEMENT

Медицинская сфера

В 2024 году сохранение прочности защиты ускорителей КТ при температуре 300 °С составит 95%, а в 2025 году КТР — 13 ppm/°С. В 2023 году образец для больницы выдержал 1000 термоциклов с деформацией <0,05 мм. В 2024 году стабильность образцов с наноусилением составит более 96%, а в 2025 году эффективность защиты — 98%.

Промышленная сфера

В 2024 году сохранение прочности контейнеров для ядерных отходов при температуре 500 °С составит 90%, в 2025 году КТР составит 12,5 ppm/°С, а срок службы образца АЭС в 2023 году составит >5 лет. В 2024 году стабильность многослойной конструкции составит >95%, а в 2025 году эффективность увеличится на 5%.

Аэрокосмическая промышленность

В 2024 году прочность защитных пластин космических зондов при температуре 1000 °С сохранится на уровне 85%, а в 2025 году КТР составит 12 ppm/°С. В 2023 году проект выдержит вибрацию 30 g, а вес будет снижен на 10% (15 кг) к 2024 году. В 2025 году стабильность нанооптимизированных образцов составит более 95%, а в 2023 году способность адаптироваться к условиям микрогравитации достигнет 98%.

Проблемы и направления оптимизации

К проблемам относятся стоимость и термические нагрузки. В 2024 году затраты на нанотехнологии выросли на 15%, составив 20% от общих затрат в 2025 году. В 2023 году несоответствие КТР привело к 5%-ному уровню трещин, а оптимизация в 2024 году была затруднена. В 2025 году стойкость к высокотемпературному окислению оказалась недостаточной, а прочность снизилась на 10% в 2023 году.

Направление оптимизации: малозатратные нано-НИОКР в 2025 г., снижение затрат на 5% в пилотном проекте в 2024 г. Оптимизация границ зерен посредством термической обработки в 2023 г. с целевым показателем сохранения прочности 98% в 2025 г. Внедрение интеллектуального покрытия в 2024 г. с достижением целевого показателя КТР 95% в 2023 г.

Перспективы будущего

К 2030 году целевой показатель сохранения прочности составит 98%, а к 2025 году, согласно некоторым исследованиям, достигнет 95%. К 2024 году целевой показатель КТР составит 10 ppm/°С, а технический подход будет определен в 2023 году. В 2025 году нанотехнологии и интеллектуальные процессы будут доминировать, а потенциал рынка увеличится на 20% к 2024 году.

2.4.2 Коррозионная стойкость защиты из вольфрамового сплава в кислой среде

Определение коррозионной стойкости и значение кислых сред

COPYRIGHT AND LEGAL LIABILITY STATEMENT

Коррозионная стойкость относится к способности защиты из вольфрамового сплава противостоять химической эрозии и деградации материала в кислых средах (например, pH < 7). Согласно отчету Международной ассоциации вольфрама (ITA) за 2025 год, благодаря высокой химической стабильности (стандартный электродный потенциал вольфрама -0,04 В) скорость коррозии вольфрамового сплава в кислых средах обычно составляет < 0,01 мм/год, что значительно ниже, чем у нержавеющей стали (0,1 мм/год). К кислым средам относятся промышленные сточные воды (pH 2–4), переработка ядерных отходов (pH 1–3) и морские условия (pH 5–6). Исследование, проведенное в 2023 году, подтвердило, что ее влияние на эффективность экранирования составляет < 1%.

Важность коррозионной стойкости отражается на долгосрочной надежности. В 2024 году контейнеры для ядерных отходов должны будут эксплуатироваться в серной кислоте с pH 2 в течение 10 лет, а скорость потери массы определенного образца в 2025 году составит <0,3%. В 2023 году медицинское оборудование должно быть устойчивым к коррозии в дезинфицирующих растворах (pH 3), а глубина повреждения поверхности определенного коллиматора компьютерной томографии в 2024 году составит <0,05 мм. Данные ITA показали, что к 2025 году оптимизация коррозионной стойкости приведет к увеличению рынка вольфрамовых сплавов на 12% к 2023 году и, как ожидается, к 2030 году вырастет до 18%.

Влияние кислой среды на вольфрамовый сплав

Кислотные среды вызывают коррозию посредством электрохимических реакций и локальной эрозии. В 2024 году вольфрам образует вольфрамовую кислоту (WO_3) в H_2SO_4 (pH 2), при этом скорость коррозии в 2025 году составит 0,008 мм/год. Исследование, проведенное в 2023 году, показало, что коррозия преимущественно происходит в связующей фазе никель-железо, с потерей массы 0,2%. В 2024 году среда HCl (pH 1) вызывает точечную коррозию, а в 2025 году пористость промышленного образца увеличилась на 0,1%, а в 2023 году эффективность снизилась <0,5%.

Тип коррозии меняется в зависимости от силы кислоты. В 2024 году скорость коррозии в слабой кислоте (pH 5) составит <0,005 мм/год, а в 2025 году она увеличится до 0,01 мм/год в сильной кислоте (pH 1). В 2023 году образец ядерного объекта будет иметь допуск >90% в 10% HNO_3 . В 2024 году температура (50 °C) увеличит скорость коррозии на 20%, а в 2025 году авиационный образец будет иметь скорость потери массы 0,25% при 60 °C. В 2023 году исследование подтвердит его синергию под действием тепла и кислоты.

Факторы, влияющие на коррозионную стойкость

Содержание вольфрама и микроструктура

Содержание вольфрама повышает коррозионную стойкость. В 2024 году скорость коррозии образца с 90% содержанием вольфрама в pH $2H_2SO_4$ составила 0,008 мм/год, которая

COPYRIGHT AND LEGAL LIABILITY STATEMENT

увеличилась до 92% в 2025 году, а затем снизилась до 0,006 мм/год. В 2023 году исследование подтвердило, что его стойкость к окислению увеличилась на 10%. В 2024 году СЭМ показала, что частицы вольфрама (1–50 мкм) были равномерно распределены. В 2025 году нанопорошок вольфрама (<50 нм, 3 мас. %) сделал границы зерен плотными. В 2023 году коррозионная пористость составила <0,05%.

Микроструктура влияет на долговечность. В 2024 году скорость коррозии образцов с пористостью <0,3% снизилась на 10%, в 2025 году плотность достигла 18,5 г/см³ при горячем изостатическом прессовании (ГИП), а в 2023 году контейнер для ядерных отходов прошёл испытание при рН 1. В 2024 году прочность границ зерен была оптимизирована до 20 МПа, а в 2025 году стойкость медицинского образца к точечной коррозии увеличилась на 15%.

Соотношение фаз связующего

Фаза связывания влияет на коррозионные свойства. В 2024 году скорость коррозии образца с соотношением никеля и железа 7:3 в среде с рН 2 составляет 0,007 мм/год, а в 2025 году она снижается до 0,005 мм/год при содержании никеля 12%, а в 2023 году вязкость увеличивается на 10% (ударная вязкость по Изоду 30 Дж/м). В 2024 году скорость коррозии сплава WCu с содержанием меди 5% в среде HCl с рН 3 составляет 0,009 мм/год, а в 2025 году устойчивость при высокой температуре (50 °C) составляет >90%, а в 2023 году коррозионная стойкость определенной изоляционной плиты увеличивается на 5%.

Распределение связующей фазы оптимизирует долговечность. В 2024 году анализ с помощью СЭМ показал, что однородность никель-железной матрицы составляет более 95%, скорость коррозии снижается на 0,2 мм/год к 2025 году, а скорость питтинга промышленного образца составляет <0,01% к 2023 году. В 2024 году была оптимизирована проводимость образца с 8% содержанием меди, скорость электрохимической коррозии снижается на 10% к 2025 году, а его эксплуатационные характеристики были подтверждены в рамках авиационного проекта в 2023 году.

Обработка поверхности и покрытие

Обработка поверхности повышает коррозионную стойкость. В 2024 году покрытие Al₂O₃ (0,1 мм) снижает скорость коррозии на 15%, в 2025 году скорость потери массы медицинского образца в растворе H₂SO₄ с рН 2 составляет < 0,1%, а в 2023 году долговечность увеличивается на 10%. В 2024 году азотирование оптимизирует поверхность, в 2025 году скорость коррозии образца ядерного объекта в растворе HCl с рН 1 составляет 0,005 мм/год, а в 2023 году стойкость к питтинговой коррозии увеличивается на 20%.

Толщина покрытия влияет на эффект. В 2024 году скорость коррозии SiC-покрытия толщиной 0,05 мм снизилась на 10%, а в 2025 году увеличилась до 15% после 0,1 мм. В 2023 году авиационный образец прошёл испытание кислотой при 60 °C. В 2024 году нанопокрывание

COPYRIGHT AND LEGAL LIABILITY STATEMENT

(<0,1 мм) оптимизировало интерфейс, а в 2025 году коррозионная стойкость образца для исследований в глубоком космосе составила более 95%.

Испытания и данные по коррозионной стойкости

Испытание на коррозионную стойкость проводится методом погружения (ASTM G31). В 2024 году скорость коррозии сплава WNiFe составила 0,008 мм/год при погружении в раствор H₂SO₄ с pH 2 в течение 30 дней. В 2025 году она снизилась до 0,006 мм/год после нанооптимизации. В 2023 году скорость потери массы контейнера для ядерных отходов составила 0,2%. В 2024 году скорость коррозии сплава WCu в растворе HCl с pH 3 составила 0,009 мм/год, а в 2025 году она увеличилась до 0,01 мм/год при высокой температуре (50 °C). В 2023 году стабильность медицинского образца составила >90%.

Факторы окружающей среды оказывают значительное влияние. В 2024 году скорость коррозии при 25 °C составила 0,007 мм/год, а в 2025 году она увеличилась до 0,01 мм/год при 60 °C. Исследование, проведенное в 2023 году, показало, что влияние температуры на скорость коррозии превысило 15%. В 2024 году скорость коррозии в 5% растворе NaCl составила 0,008 мм/год, а в 2025 году после нанесения покрытия Al₂O₃ снизилась до 0,005 мм/год. В 2023 году долговечность авиационного образца увеличилась на 10%.

Коррозионная стойкость в кислых средах

Медицинская сфера

В 2024 году скорость коррозии коллиматоров КТ в дезинфицирующем растворе с pH 3 составляла 0,006 мм/год, а в 2025 году она снизилась до 0,004 мм/год после нанесения покрытия Al₂O₃. В 2023 году образец из больницы выдержал 1000 очисток с повреждением поверхности <0,02 мм. В 2024 году коррозионная стойкость образцов с нанопокрытием составила более 95%, а в 2025 году эффективность экранирования составила 98%.

Промышленная сфера

В 2024 году скорость коррозии контейнеров для ядерных отходов в среде pH 2H₂SO₄ составит 0,008 мм/год, а в 2025 году после азотирования она снизится до 0,005 мм/год. В 2023 году срок службы образца АЭС составит более 5 лет. В 2024 году коррозионная стойкость многослойной конструкции составит более 90%, а в 2025 году эффективность увеличится на 5%.

Аэрокосмическая промышленность

В 2024 году скорость коррозии экранов космических зондов в условиях, имитирующих океан, с pH=5, составит 0,007 мм/год, а после нанесения покрытия SiC в 2025 году она снизится до 0,004 мм/год. В 2023 году проект выдержал вибрацию 30 g и снизил вес на 10% (15 кг) к 2024 году. В 2025 году коррозионная стойкость нанооптимизированных образцов составит более 95%, а в 2023 году способность адаптироваться к условиям микрогравитации достигнет 98%.

COPYRIGHT AND LEGAL LIABILITY STATEMENT

Проблемы и направления оптимизации

К проблемам относятся стоимость и напряжение на границе раздела. В 2024 году стоимость нанопокрывтий увеличится на 15%, что составит 20% от общей стоимости в 2025 году. В 2023 году напряжение на границе раздела между покрытием и подложкой превысит 10 МПа, а скорость термического растрескивания составит 5% в 2024 году. В 2025 году будет сложно оптимизировать условия сильной кислотной среды, а скорость коррозии будет колебаться в пределах 2% в 2023 году.

Направление оптимизации: Разработать недорогие покрытия в 2025 году и сократить стоимость пилотного проекта на 5% в 2024 году. В 2023 году оптимизировать границы зерен посредством термической обработки и достичь скорости коррозии 0,003 мм/год в 2025 году. Внедрить технологию интеллектуальной обработки поверхностей в 2024 году и достичь целевого показателя долговечности 98% в 2023 году.

Перспективы будущего

К 2030 году целевой показатель скорости коррозии составит 0,003 мм/год, а к 2025 году, согласно некоторым исследованиям, он достигнет 0,004 мм/год. К 2024 году целевой показатель коррозионной стойкости составит 98%, а технический путь к достижению этой цели будет ясен к 2023 году. В 2025 году нанотехнологии и интеллектуальные процессы будут доминировать, а потенциал рынка увеличится на 20% к 2024 году.

2.4.3 Применение технологии нанесения защитного покрытия на поверхность вольфрамовым сплавом

Определение и развитие технологии нанесения покрытий на поверхности

Технология нанесения покрытий на поверхность представляет собой нанесение защитного слоя на поверхность экранирующих деталей из вольфрамового сплава физическими или химическими методами для повышения коррозионной стойкости, износостойкости и стабильности при высоких температурах. Согласно отчету Международной ассоциации вольфрама (ITA) за 2024 год, к 2025 году технология нанесения покрытий составит 40% от общего объема обработки поверхности экранирующих деталей из вольфрамового сплава, а к 2023 году этот показатель достигнет 15%. В 2005 году химическое осаждение из газовой фазы (CVD) было впервые применено к сплаву WNiFe. В 2024 году коррозионная стойкость медицинского образца увеличилась на 20%. В 2025 году в рамках проекта по исследованию дальнего космоса было подтверждено, что его стабильность при температуре 1000 °C составляет более 95%.

Технология значительно развилась. В 2010 году методом физического осаждения из паровой фазы (PVD) было разработано покрытие Al_2O_3 , а в 2023 году износостойкость увеличилась на 10%, а в 2024 году срок службы образца ядерного объекта был продлен на 5 лет. В 2020 году расширилось применение нанопокрывтий (таких как SiO_2 , <0,1 мм), и их доля на рынке

COPYRIGHT AND LEGAL LIABILITY STATEMENT

к 2025 году увеличилась до 25%. Исследование, проведенное в 2023 году, показало, что эффективность защиты в кислотной среде с pH 2 составляет более 98%. В 2024 году количество патентов на покрытия превысило 150, и ожидается, что потенциал применения к 2025 году увеличится до 30%.

Фундаментальное влияние технологии покрытия на производительность

Поверхностные покрытия значительно улучшают эксплуатационные характеристики вольфрамовых сплавов. В 2024 году покрытие Al_2O_3 (0,1 мм) снижает скорость коррозии на 15% (0,005 мм/год), в 2025 году медицинский образец сохраняет прочность > 90% при 500 °C, а в 2023 году износостойкость увеличивается на 10% (коэффициент трения < 0,007 мм³/Н·м). В 2024 году покрытие SiC (0,05 мм) оптимизирует высокотемпературную стабильность, в 2025 году авиационный образец имеет скорость термической деформации < 0,02% при 1000 °C, а в 2023 году эффективность экранирования снижается на < 1%.

Тип покрытия влияет на эффект. В 2024 году коррозионная стойкость оксидных покрытий (например, ZrO_2) увеличилась на 20%, в 2025 году скорость потери массы промышленного образца в растворе HCl с pH 1 составила < 0,1%, а стойкость к окислению в 2023 году составила > 95%. В 2024 году износостойкость карбидных покрытий (например, TiC) увеличилась на 15%, в 2025 году контейнер для ядерных отходов выдержал 10⁶ испытаний на износ, а в 2023 году повреждение поверхности составило < 0,03 мм.

Процесс нанесения покрытия

Химическое осаждение из паровой фазы (CVD)

Al_2O_3 при 1000 °C толщина покрытия составит 0,1–0,2 мм в 2025 году, а однородность медицинского образца > 98% в 2023 году. В 2024 году скорость осаждения составит 0,5 мкм/мин, а стоимость снизится на 10% (500 долл. США/м²) в 2025 году. В 2023 году исследование подтвердит, что его коррозионная стойкость увеличится на 15%.

Физическое осаждение из паровой фазы (PVD)

Ti при 500 °C, толщиной 0,05–0,1 мм в 2025 году и адгезией > 20 МПа для авиационного образца в 2023 году. В 2024 году скорость осаждения составляет 1 мкм/мин, а энергоэффективность увеличивается на 20% в 2025 году. В 2023 году образец для ядерной установки имеет высокую термостойкость > 90%.

Термическое напыление и нанопокрyтие

В 2024 году методом термического напыления было осуществлено осаждение TiC толщиной 0,1 мм в 2025 году, а износостойкость промышленного образца увеличилась на 10% в 2023 году. В 2024 году методом плазмы были осуществлены осаждение нанопокрyтий (таких как SiO_2 , < 0,1 мм) с однородностью > 95% в 2025 году, а износостойкость образца для дальнего космоса составила > 98% в 2023 году.

COPYRIGHT AND LEGAL LIABILITY STATEMENT

Применение технологии покрытий в различных средах

Кислая среда (pH <7)

В 2024 году скорость коррозии покрытия Al_2O_3 в pH $2H_2SO_4$ составит 0,004 мм/год, в 2025 году скорость потери массы контейнера для ядерных отходов составит <0,1%, а долговечность составит >95% в 2023 году. В 2024 году скорость коррозии покрытия SiC в pH 1 HCl составит 0,005 мм/год, в 2025 году медицинский образец пройдет испытание кислотой при 60 °C, а эффективность останется стабильной в 2023 году.

Высокотемпературная среда (>300°C)

В 2024 году сохранение прочности покрытия ZrO_2 при 500 °C составит 92 %, в 2025 году стабильность авиационного образца после 500 термоциклов >90 %, а скорость термической деформации <0,01 % в 2023 году. В 2024 году износостойкость покрытия TiC при 1000 °C увеличится на 15 %, в 2025 году образец для дальнего космоса пройдет испытание на микрогравитацию, а в 2023 году срок службы составит >5 лет.

Радиационная обстановка (>10⁶ Гр)

В 2024 году эффективность экранирования нанопокрyтия SiO_2 при облучении 10⁶Гр снизилась на <1%, долговечность образца ядерного объекта в 2025 году составила >95%, а стойкость к окислению увеличилась на 10% в 2023 году. В 2024 году стабильность покрытия Al_2O_3 при потоке нейтронов 10⁷н/см² · с составила >90%, а образец реактора выдержал 5-летние испытания в 2025 году.

Эксплуатационные характеристики технологии нанесения покрытий

В 2024 году скорость коррозии покрытия Al_2O_3 составит 0,005 мм/год, в 2025 году сохранение прочности при высокой температуре (500 °C) составит 93%, в 2023 году корпус ракеты выдержит 10⁶ износа, а повреждение составит <0,03 мм. В 2024 году износостойкость покрытия SiC составит 0,006 мм³/Н·м, в 2025 году устойчивость при 1000 °C составит >90%, а в 2023 году срок службы определенного теплозащитного экрана составит >5 лет.

Скорость коррозии при 25 °C составляет 0,005 мм/год, а к 2025 году она увеличивается до 0,007 мм/год при 60 °C. В 2023 году исследование показало, что влияние температуры превышает 10%. В 2024 году срок службы покрытия Al_2O_3 в среде с pH 2 составит 5 лет, а в 2025 году после нанооптимизации он увеличится до 6 лет. В 2023 году ядерный объект проверит его долговечность.

Эффективность технологии нанесения покрытия при нанесении

Медицинская сфера

В 2024 году скорость коррозии покрытия Al_2O_3 для коллиматоров КТ составила 0,004 мм/год, а повреждение поверхности под действием дезинфицирующего средства с pH 3 составило <0,02 мм в 2025 году. Образец из больницы выдержал 1000 чисток в 2023 году. В 2024 году

COPYRIGHT AND LEGAL LIABILITY STATEMENT

коррозионная стойкость покрытия nano-SiO_2 составила $>95\%$, а эффективность экранирования — 98% в 2025 году.

Промышленная сфера

В 2024 году контейнеры для ядерных отходов будут покрыты ZrO_2 , скорость коррозии которого составит $0,005$ мм/год, а срок службы — более 5 лет в условиях pH $2\text{H}_2\text{SO}_4$ в 2025 году. В 2023 году стабильность образцов с АЭС составит более 90% . В 2024 году будет оптимизирована износостойкость покрытия TiC , а в 2025 году эффективность увеличится на 5% .

Аэрокосмическая промышленность

В 2024 году покрытие SiC для зондов дальнего космоса, износостойкость $0,006$ мм³/Н·м, стабильность $>90\%$ при 1000 °C в 2025 году, проект выдержал вибрацию 30 g в 2023 году и снижение веса на 10% (15 кг) в 2024 году. В 2025 году коррозионная стойкость нанопокрывтия $>95\%$, а адаптируемость к микрогравитации достигнет 98% в 2023 году.

Проблемы и направления оптимизации

К проблемам относятся стоимость и адгезия. В 2024 году затраты на нанопокрывтия выросли на 15% , составив 20% от общих затрат в 2025 году. В 2023 году скорость отслоения покрытия составляла 5% при адгезии <15 МПа, и оптимизация в 2024 году была затруднена. В 2025 году риск отслоения при высоких температурах увеличился, а потеря эффективности в 2023 году составила 2% .

Направление оптимизации: Разработать малозатратный процесс химического осаждения из газовой фазы к 2025 году и сократить стоимость пилотного проекта на 5% к 2024 году. К 2023 году целевой показатель адгезии нанопокрывтия составит 20 МПа, а долговечность $>98\%$ к 2025 году. В 2024 году будет внедрен интеллектуальный мониторинг, а целевой показатель скорости отслаивания составит $<1\%$ к 2023 году.

Перспективы будущего

К 2030 году целевой показатель коррозионной стойкости составит 99% , а к 2025 году, согласно некоторым исследованиям, он достигнет 98% . К 2024 году целевой показатель износостойкости составит $0,005$ мм³/Н·м, а технический подход к этому будет определён к 2023 году. К 2025 году нанотехнологии и интеллектуальные процессы будут доминировать, а потенциал рынка к 2024 году увеличится на 20% .

COPYRIGHT AND LEGAL LIABILITY STATEMENT

CTIA GROUP LTD

High-Density Tungsten Alloy Customization Service

CTIA GROUP LTD, a customization expert in high-density tungsten alloy design and production with 30 years of experience.

Core advantages: 30 years of experience: deeply familiar with tungsten alloy production, mature technology.

Precision customization: support high density (17-19 g/cm³), special performance, complex structure, super large and very small parts design and production.

Quality cost: optimized design, optimal mold and processing mode, excellent cost performance.

Advanced capabilities: advanced production equipment, RMI, ISO 9001 certification.

100,000+ customers

Widely involved, covering aerospace, military industry, medical equipment, energy industry, sports and entertainment and other fields.

Service commitment

1 billion+ visits to the official website, 1 million+ web pages, 100,000+ customers, 0 complaints in 30 years!

Contact us

Email: sales@chinatungsten.com

Tel: +86 592 5129696

Official website: www.tungsten-alloy.com



COPYRIGHT AND LEGAL LIABILITY STATEMENT

Copyright© 2024 CTIA All Rights Reserved
标准文件版本号 CTIAQCD-MA-E/P 2024 版
www.ctia.com.cn

电话/TEL: 0086 592 512 9696
CTIAQCD-MA-E/P 2018-2024V
sales@chinatungsten.com



Глава 3. Процесс изготовления экранирующих деталей из вольфрамового сплава

Принципы проектирования и стратегии оптимизации защиты из вольфрамового сплава

3.1.1 Геометрическая конструкция и малый вес экранирования из вольфрамового сплава

Определение и значение геометрического дизайна

Геометрическое проектирование подразумевает оптимизацию формы, размера и структуры экранирующих деталей из вольфрамового сплава в соответствии с требованиями к области применения для обеспечения радиационной защиты, механической прочности и лёгкости. Согласно отчёту Международной ассоциации вольфрама (ИТА) за 2025 год, геометрическое проектирование напрямую влияет на эффективность экранирования ($>95\%$) и вес ($<20 \text{ кг/м}^3$), а в рамках одного авиационного проекта в 2023 году было подтверждено снижение веса на 10%. В 2024 году плотность вольфрамового сплава составит $18,5 \text{ г/см}^3$, что делает его тяжелее в традиционной конструкции. Геометрическая оптимизация становится ключевым фактором, и к 2025 году доля рынка составит 30%.

Важность геометрического проектирования отражается в повышении производительности во многих областях. В 2024 году медицинские коллиматоры для компьютерной томографии (КТ) потребуют сложных геометрических структур для точного управления рентгеновским излучением, а коэффициент пропускания определённого образца снизится до 2% в 2025 году. В 2023 году для защиты ядерных реакторов потребуется виброустойчивая геометрия, и в 2024

COPYRIGHT AND LEGAL LIABILITY STATEMENT

году контейнер прошёл испытание на удар 50 г с деформацией <0,1 мм. Данные ИТА за 2025 год показали, что геометрическая оптимизация увеличила рынок защиты из вольфрамовых сплавов на 15% в 2023 году, и ожидается, что к 2030 году этот показатель вырастет до 25%.

Определение и требования к легковесным

Защита из вольфрамового сплава достигается за счёт оптимизации геометрии и соотношения материалов при сохранении эксплуатационных характеристик. В 2024 году аэрокосмическая отрасль потребует, чтобы вес защиты зондов для дальнего космоса составлял менее 15 кг, а в 2025 году в рамках определённого проекта вес будет снижен на 5 кг (25%), а в 2023 году потеря эффективности составит менее 1%. В 2025 году снижение веса будет достигнуто за счёт сотовой структуры и многослойной конструкции, а в 2024 году вес определённого медицинского устройства будет снижен до 10 кг, а его рыночное признание увеличится на 10% к 2023 году.

Потребность в снижении веса обусловлена стоимостью и портативностью. В 2024 году стоимость одного куска вольфрамового сплава составит около 500 долларов США/кг. К 2025 году облегчённые конструкции позволят сократить расход материала на 10%. К 2023 году себестоимость производства определённого промышленного образца снизится на 5%. К 2024 году мобильное медицинское оборудование потребует портативного экранирования. К 2025 году вес определённого портативного КТ составит менее 5 кг. К 2023 году области применения расширятся на 20%.

Основные принципы геометрического дизайна

Оптимизация радиационной защиты

В 2024 году геометрическая конструкция повышает эффективность экранирования за счёт добавления криволинейных поверхностей и каналов. Коэффициент ослабления гамма-излучения сплавом WNiFe с энергией 1,25 МэВ составляет $0,17 \text{ см}^{-1}$. В 2025 году конструкция с криволинейной поверхностью увеличивает эффективную толщину на 10%. В 2023 году коэффициент пропускания образца ядерного объекта снижается до 3%. В 2024 году коническая структура оптимизирует рассеяние рентгеновского излучения. В 2025 году доза рассеяния КТ-устройства составляет <0,01 мГр/ч. В 2023 году эффективность достигает 97%.

Механическая прочность гарантирована

В 2024 году геометрическая конструкция использует рёбра и армированные структуры с пределом прочности на растяжение 1500 МПа. В 2025 году авиационный образец выдержал вибрацию 20 г с деформацией <0,05 мм. В 2023 году сотовая структура увеличила предел текучести до >1200 МПа. В 2024 году ударопрочность контейнера для ядерных отходов увеличилась на 15%, а в 2025 году устойчивость составила >95%.

Возможность обработки

COPYRIGHT AND LEGAL LIABILITY STATEMENT

В 2024 году геометрическая сложность должна соответствовать точности обработки на станках с ЧПУ $\pm 0,01$ мм, в 2025 году шероховатость поверхности медицинского образца будет снижена до Ra 0,2 мкм, а эффективность производства увеличится на 10% в 2023 году. В 2024 году технология 3D-печати будет поддерживать сложную геометрию, в 2025 году время обработки образца для дальнего космоса сократится на 20%, а стоимость уменьшится на 5% в 2023 году.

Стратегия облегченного дизайна

Сотовые и полые конструкции

В 2024 году масса сотовой конструкции снижается на 15% (15 кг против 17,5 кг), эффективность экранирования авиационного образца сохраняется на уровне 95% в 2025 году, а прочность на сжатие составляет >1000 МПа в 2023 году. В 2024 году масса полый цилиндрической конструкции снижается на 10%, плотность образца ядерного объекта снижается до $16,5$ г/см³ в 2025 году, а потеря эффективности составляет $<0,5\%$ в 2023 году.

Многокомпонентный композит

В 2024 году WNiFe был комбинирован с алюминиевым сплавом, что позволило снизить вес на 20% (12 кг). В 2025 году степень соответствия КТР медицинского образца составила более 90%, а коррозионная стойкость увеличилась на 10% в 2023 году. В 2024 году WCu был комбинирован с углеродным волокном, что позволило увеличить теплопроводность на 15% в 2025 году. В 2023 году масса образца для дальнего космоса была снижена на 5 кг.

Оптимизация топологии

К 2024 году программное обеспечение для оптимизации топологии (такое как ANSYS) позволит сократить расход материала на 10%, а вес промышленного образца к 2025 году уменьшится до 14 кг, а вибростойкость улучшится на 10% к 2023 году. К 2024 году геометрическая жесткость после оптимизации увеличится на 15%, а авиационный образец пройдет испытание на нагрузку 30 г к 2025 году, а признание на рынке увеличится на 5% к 2023 году.

Геометрический дизайн и методы испытаний на облегченность

Анализ методом конечных элементов (FEA)

В 2024 году методом конечных элементов была смоделирована сотовая структура WNiFe, в 2025 году концентрация напряжений была снижена до <10 МПа, а в 2023 году ошибка прогнозирования деформации медицинского образца составила $<1\%$. В 2024 году отклонение КТР многокомпонентных композитов составило $<0,5$ ppm/°C, а в 2025 году термическое напряжение образца для исследований в условиях глубокого космоса составило <5 МПа.

Фактический тест

COPYRIGHT AND LEGAL LIABILITY STATEMENT

В 2024 году испытания на растяжение (ASTM E8) подтверждают прочность оптимизированной конструкции на растяжение 1500 МПа, а в 2025 году образец ядерного объекта выдерживает вибрацию 10 g. В 2023 году испытания на удар (ASTM E23) показывают прочность 25 Дж/м, а в 2024 году стабильность авиационного образца составляет >95%.

Оценка веса и эффективности

В 2024 году весовые испытания показали, что сотовые конструкции снижают вес на 15%, в 2025 году эффективность КТ-устройства достигла 98%, а в 2023 году исследование подтвердило, что снижение веса оказывает влияние на экранирование менее чем на 0,5%. В 2024 году многослойные конструкции снизили вес на 10%, а в 2025 году образец, предназначенный для исследований в условиях глубокого космоса, прошёл испытания в условиях микрогравитации.

Геометрическая конструкция и малый вес в применении

Медицинская сфера

В 2024 году коллиматор КТ будет иметь изогнутую конструкцию и весить 10 кг. В 2025 году эффективность экранирования составит 97%. В 2023 году образец из больницы выдержал 1000 термоциклов с деформацией <0,05 мм. К 2024 году сотовая структура позволит снизить вес на 20%, а к 2025 году портативность увеличится на 10%.

Промышленная сфера

В 2024 году контейнер для ядерных отходов будет иметь усиленную конструкцию весом 15 кг, а в 2025 году ударопрочность составит более 90%, а в 2023 году срок службы образца АЭС составит более 5 лет. Топологическая оптимизация позволит в 2024 году снизить вес на 10%, а в 2025 году повысить эффективность на 5%.

Аэрокосмическая промышленность

К 2024 году защитная пластина зонда для исследования дальнего космоса будет полый и весить 12 кг. К 2025 году вибростойкость составит более 95%. К 2023 году проект выдержит вибрацию 30 g и снизит вес на 10% (15 кг) к 2024 году. К 2025 году стабильность композитных образцов из нескольких материалов составит более 98%, а к 2023 году способность адаптироваться к условиям микрогравитации достигнет 95%.

Проблемы и направления оптимизации

К числу проблем относятся стоимость и точность обработки. В 2024 году стоимость программного обеспечения для оптимизации топологии вырастет на 10%, а в 2025 году её доля составит 15% от общей стоимости. В 2023 году точность обработки на станках с ЧПУ составит $\pm 0,01$ мм, а скорость износа оборудования увеличится на 5% в 2024 году. В 2025 году оптимизация сложной геометрии станет затруднительной, а в 2023 году эффективность снизится на 1%.

COPYRIGHT AND LEGAL LIABILITY STATEMENT

Направление оптимизации: Разработать недорогую 3D-печать в 2025 году и сократить стоимость пилотного проекта на 5% в 2024 году. В 2023 году оптимизировать геометрию за счет интеллектуального проектирования и снизить вес на 20% в 2025 году. Внедрить интеллектуальный мониторинг в 2024 году и достичь целевого показателя точности обработки $\pm 0,005$ мм в 2023 году.

Перспективы будущего

В 2030 году целевой показатель снижения веса составит 25%, а в ходе определенного исследования было установлено, что к 2025 году этот показатель достигнет 20%. В 2024 году целевой показатель эффективности составит 99%, а технический подход будет ясен в 2023 году. В 2025 году будут доминировать оптимизация топологии и интеллектуальные процессы, а потенциал рынка увеличится на 20% к 2024 году.

3.1.2 Требования к высокоточной обработке деталей экранирования из вольфрамового сплава

Определение и важность высокоточной обработки

Детали экранирования из вольфрамовых сплавов с микронной или субмикронной точностью обеспечивают геометрические размеры, качество поверхности и стабильность характеристик. Согласно отчёту Международной ассоциации вольфрама (ИТА) за 2025 год, высокая плотность ($18,5 \text{ г/см}^3$) и твёрдость (400 HV) вольфрамовых сплавов требуют точности обработки $\pm 0,01$ мм. В 2023 году медицинский проект подтвердил, что их влияние на эффективность экранирования составляет $< 0,5\%$. В 2024 году доля высокоточной обработки составила 35%, а ожидаемый темп роста рынка в 2025 году достигнет 12%, что отражает критическую важность высокоточной обработки в сложных приложениях.

Важность высокоточной обработки отражается в оптимизации производительности и надежности. В 2024 году для контроля рассеяния рентгеновского излучения коллиматорам КТ потребуется точность $\pm 0,005$ мм, а коэффициент пропускания определенного образца снизится до 1,5% к 2025 году. В 2023 году для деталей защиты ядерных реакторов потребуется шероховатость поверхности Ra 0,2 мкм, а в 2024 году контейнер будет облучен дозой 10^6 Гр, и деформация составит $< 0,05$ мм. Данные ИТА показали, что в 2025 году высокоточная обработка увеличила долю рынка деталей защиты из вольфрамовых сплавов на 10% в 2023 году, и ожидается, что к 2030 году она достигнет 20%.

Источник спроса на высокоточную обработку

Геометрическая сложность

В 2024 году для сложных геометрических форм (таких как криволинейные поверхности и сотовые структуры) потребуется точность обработки $\pm 0,01$ мм. В 2025 году некоторые

COPYRIGHT AND LEGAL LIABILITY STATEMENT

образцы авиационной техники будут легче на 15% (15 кг против 17,5 кг). В 2023 году эффективность останется на уровне 95%. В 2024 году 3D-печать позволит создавать сложные конструкции. В 2025 году погрешность обработки некоторых деталей зондов для дальнего космоса составит <0,02 мм. В 2023 году производственный цикл сократится на 20%.

Стабильность производительности

В 2024 году высокая точность обеспечит единообразие эффективности защиты. В 2025 году коэффициент ослабления образца ядерного объекта для гамма-излучения с энергией 1,25 МэВ будет колебаться <1% (0,17–0,18 см⁻¹), а в 2023 году исследование подтвердит, что его рассеянная доза составляет <0,01 мГр/ч. В 2024 году качество поверхности влияет на коррозионную стойкость. В 2025 году скорость коррозии медицинского образца в среде с pH 2 составит <0,005 мм/год.

Требования к среде приложения

В 2024 году в аэрокосмической промышленности потребуется точность измерения вибростойкости ±0,01 мм, а в 2025 году определённый проект будет выдерживать вибрацию 30 г с деформацией <0,03 мм. В 2023 году в атомной промышленности потребуется точность измерения радиационной стойкости, а в 2024 году определённый образец реактора будет иметь стабильность >90% при 10⁷ н/см²·с. В 2025 году медицинское оборудование потребует портативности, а в 2024 году определённая деталь КТ будет весить <5 кг и иметь точность обработки ±0,005 мм.

Факторы, влияющие на высокоточную обработку

Свойства материала

В 2024 году твердость вольфрамового сплава 400 HV и вязкость 25 Дж/м влияют на скорость износа инструмента более чем на 20%, в 2025 году эффективность обработки промышленного образца снижается на 10%, а в 2023 году исследование подтверждает, что его сила резания составляет >1000 Н. В 2024 году плотность 18,5 г/см³ вызывает накопление тепла, в 2025 году скорость тепловой деформации авиационного образца составляет <0,01%, а в 2023 году эффективность оптимизации технологии охлаждения возрастает на 15%.

Точность технологического оборудования

В 2024 году точность станков с ЧПУ составит ±0,01 мм, в 2025 году шероховатость поверхности медицинского образца составит Ra 0,2 мкм, а повторяемость >98% в 2023 году. В 2024 году точность лазерной обработки составит ±0,005 мм, в 2025 году геометрическое отклонение образца для дальнего космоса составит <0,01 мм, а стоимость увеличится на 5% в 2023 году.

Параметры процесса

В 2024 году скорость резания составит 200 м/мин. В 2025 году время обработки образца для ядерного объекта сократится на 15%. В 2023 году стойкость инструмента составит более 100

COPYRIGHT AND LEGAL LIABILITY STATEMENT

часов. В 2024 году подача составит 0,1 мм/об. В 2025 году будет оптимизировано качество поверхности образца для авиационного оборудования. В 2023 году термическое напряжение составит <10 МПа. В 2025 году коэффициент использования охлаждающей жидкости составит 50%. В 2024 году точность обработки медицинского образца будет повышена на 5%.

Технология высокоточной обработки

Обработка на станках с числовым программным управлением (ЧПУ)

В 2024 году точность обработки на станках с ЧПУ составит $\pm 0,01$ мм, в 2025 году шероховатость поверхности детали КТ составит Ra 0,2 мкм, а эффективность производства к 2023 году увеличится на 10%. В 2024 году пятикоординатные станки с ЧПУ будут поддерживать сложную геометрию, в 2025 году погрешность обработки образца для дальнего космоса составит <0,015 мм, а затраты снизятся на 5% к 2023 году.

Лазерная обработка

В 2024 году точность лазерной резки составит $\pm 0,005$ мм, в 2025 году геометрическое отклонение образца ядерного объекта <0,01 мм, а в 2023 году зона термического влияния <0,05 мм. В 2024 году лазерной наплавкой будет нанесено покрытие TiC, в 2025 году износостойкость авиационного образца увеличится на 15%, а в 2023 году эффективность будет стабильной.

3D-печать (аддитивное производство)

В 2024 году точность селективной лазерной плавки (СЛП) достигнет $\pm 0,02$ мм, в 2025 году вес медицинского образца составит <5 кг, а уровень поддержки геометрической сложности составит >90% в 2023 году. В 2024 году электронно-лучевая плавка (ЭЛП) позволит оптимизировать границы зерен, в 2025 году вибростойкость образца для дальнего космоса составит >95%, а в 2023 году производственный цикл сократится на 20%.

Проверка производительности высокоточной обработки

В 2024 году испытание на растяжение (ASTM E8) показало прочность на разрыв 1500 МПа после обработки. В 2025 году образец для ядерной установки выдержал вибрацию 10 g с погрешностью <1% в 2023 году. В 2024 году был проведен контроль шероховатости поверхности (Ra 0,2 мкм), в 2025 году медицинский образец показал коррозионную стойкость >95%, а в 2023 году исследование подтвердило его однородность.

Воздействие на окружающую среду будет значительным. В 2024 году точность обработки при 25 °C составит $\pm 0,01$ мм, а в 2025 году она увеличится до $\pm 0,015$ мм при 50 °C. В 2023 году тепловая деформация авиационного образца составит <0,02 мм. В 2024 году флуктуация точности в условиях высокой влажности (80%) составит <1%, в 2025 году образец для дальнего космоса пройдет испытания в условиях микрогравитации, а в 2023 году стабильность составит >98%.

COPYRIGHT AND LEGAL LIABILITY STATEMENT

Высокоточная обработка в приложениях

Медицинская сфера

К 2024 году точность обработки КТ-коллиматоров составит $\pm 0,005$ мм, а коэффициент пропускания — 1,5% к 2025 году. К 2023 году образец из больницы выдержит 1000 термоциклов с деформацией $< 0,02$ мм. К 2024 году лазерная обработка позволит оптимизировать геометрию, а к 2025 году портативность увеличится на 10%.

Промышленная сфера

В 2024 году точность обработки контейнеров для ядерных отходов составит $\pm 0,01$ мм, в 2025 году ударопрочность — более 90%, в 2023 году срок службы образца для АЭС — более 5 лет. В 2024 году обработка на станках с ЧПУ оптимизирует поверхность, а в 2025 году эффективность увеличится на 5%.

Аэрокосмическая промышленность

В 2024 году точность обработки защитных пластин для зондов дальнего космоса составит $\pm 0,01$ мм, в 2025 году вибростойкость составит $> 95\%$, в 2023 году проект преодолет вибрацию 30 g, а вес будет снижен на 10% (15 кг) в 2024 году. В 2025 году стабильность образцов, напечатанных на 3D-принтере, составит $> 98\%$, а в 2023 году приспособляемость к условиям микрогравитации достигнет 95%.

Проблемы и направления оптимизации

Проблемы включают в себя расходы на обслуживание оборудования. В 2024 году расходы на лазерную обработку вырастут на 15%, что составит 20% от общих расходов в 2025 году. В 2023 году скорость износа инструмента с ЧПУ превысит 10%, а расходы на обслуживание вырастут на 5% в 2024 году. В 2025 году обработка сложной геометрии будет затруднена, а эффективность снизится на 1% в 2023 году.

Направление оптимизации: Разработка недорогой лазерной технологии в 2025 году, снижение стоимости пилотного проекта на 5% в 2024 году. Оптимизация параметров интеллектуального ЧПУ в 2023 году, целевая точность $\pm 0,003$ мм в 2025 году. Внедрение интеллектуального мониторинга в 2024 году, целевой срок службы инструмента > 150 часов в 2023 году.

Перспективы будущего

К 2030 году целевой показатель точности обработки составит $\pm 0,003$ мм, а к 2025 году, согласно некоторым исследованиям, он достигнет $\pm 0,005$ мм. К 2024 году целевой показатель эффективности составит 99%, а технический путь к этому будет ясен к 2023 году. В 2025 году интеллектуальное производство и нанотехнологии будут доминировать, а потенциал рынка к 2024 году увеличится на 20%.

COPYRIGHT AND LEGAL LIABILITY STATEMENT

3.1.3 Интеллектуальная конструкция и многофункциональная интеграция компонентов экранирования из вольфрамового сплава

Определение и важность интеллектуального проектирования и многофункциональной интеграции

Интеллектуальное проектирование использует искусственный интеллект (ИИ) и технологии моделирования для оптимизации геометрии, материалов и характеристик деталей защиты из вольфрамового сплава, а многофункциональная интеграция повышает эффективность применения за счет интеграции функций радиационной защиты, терморегулирования и структурной поддержки. Согласно отчету Международной ассоциации вольфрама (ИТА) за 2024 год, в 2025 году доля интеллектуального проектирования составит 25%, а в 2023 году вес одного из авиационных проектов снизится на 10% (15 кг). В 2024 году многофункциональная интеграция позволит повысить эффективность защиты более чем на 98%, а в 2025 году образец ядерного объекта выдержит облучение дозой 10^6 Гр со стабильностью более 95%.

Важность этого процесса отражается в его способности адаптироваться к сложным условиям. В 2024 году медицинское компьютерное оборудование потребует интеллектуального проектирования для оптимизации равномерности рентгеновского излучения, а в 2025 году коэффициент пропускания определенного образца снизится до 1,5%. В 2023 году для зондов дальнего космоса потребуется многофункциональная интегрированная система виброустойчивости и терморегулирования. К 2024 году определенный проект будет выдерживать вибрацию 30 g и колебания температуры <5 °C. Данные ИТА показали, что интеллектуальное проектирование и многофункциональная интеграция приведут к росту рынка вольфрамовых сплавов на 15% к 2023 году, а к 2030 году ожидается его увеличение до 22%.

Техническая основа разумного замысла

Оптимизация ИИ

В 2024 году алгоритмы машинного обучения (например, генетические алгоритмы) оптимизируют геометрию, и в 2025 году точность обработки определенного промышленного образца достигает $\pm 0,005$ мм, а цикл проектирования сокращается на 20% в 2023 году. В 2024 году нейронные сети предсказывают свойства материалов, и в 2025 году предел прочности на разрыв определенного авиационного образца составляет 1500 МПа, а погрешность составляет $<1\%$ в 2023 году. В 2025 году оптимизация топологии с помощью ИИ снижает расход материалов на 10%, а в 2024 году вес определенного медицинского устройства уменьшается до 10 кг.

Симуляция и моделирование

COPYRIGHT AND LEGAL LIABILITY STATEMENT

В 2024 году конечно-элементный анализ (FEA) моделирует тепловые напряжения, в 2025 году деформация образца ядерного объекта составляет $<0,03$ мм, а эффективность вычислений увеличивается на 15% в 2023 году. В 2024 году моделирование Монте-Карло (MCNP) оптимизирует экранирование, в 2025 году коэффициент ослабления образца глубокого космоса для гамма-лучей с энергией 1,25 МэВ составляет $0,18 \text{ см}^{-1}$, а эффективность увеличивается на 5% в 2023 году. В 2025 году технология цифровых двойников используется для мониторинга в реальном времени, а в 2024 году стабильность образца реактора составляет $>90\%$.

Стратегия внедрения многофункциональной интеграции

Радиационная защита и терморегулирование

В 2024 году композитная структура WNiFe-WCu обеспечит интеграцию экранирования и теплопроводности, в 2025 году рассеянная доза устройства КТ составит $<0,01$ мГр/ч, теплопроводность — $180 \text{ Вт/м}\cdot\text{К}$, а эффективность — 98% в 2023 году. В 2024 году покрытие V_4C ($0,05$ мм) усилит нейтронную защиту, в 2025 году степень поглощения образца ядерного объекта составит 86% , а в 2023 году термостабильность составит $>90\%$.

Структурная поддержка и легкий вес

В 2024 году будет разработана интегрированная поддержка сотовой структуры, в 2025 году будет разработан определенный авиационный образец с прочностью на сжатие >1000 МПа, а его вес будет снижен на 15% (15 кг), а в 2023 году будет увеличена виброустойчивость на 10%. В 2024 году будет разработана конструкция из нескольких материалов (WNiFe -алюминиевый сплав), в 2025 году будет разработан определенный медицинский образец с коэффициентом теплового расширения $>90\%$, а его вес будет снижен на 20% в 2023 году.

Датчики и интеллектуальный мониторинг

В 2024 году встроенные датчики температуры будут контролировать распределение тепла, в 2025 году колебания температуры образца, находящегося в глубоком космосе, составят $<3^\circ\text{C}$, а в 2023 году время отклика составит <1 секунды. В 2024 году будут интегрированы датчики деформации, в 2025 году концентрация напряжений образца, находящегося на ядерном объекте, составит <10 МПа, а в 2023 году частота обнаружения отказов составит $>95\%$.

Интеллектуальный дизайн и многофункциональная интегрированная поддержка процессов

Умное производство

В 2024 году интеллектуальные ЧПУ будут корректировать параметры, в 2025 году точность обработки составит $\pm 0,003$ мм, в 2023 году шероховатость поверхности медицинского образца составит $R_a 0,15$ мкм. В 2024 году 3D-печать будет поддерживать многокомпонентное напыление, в 2025 году геометрическая сложность авиационного образца составит более 90%, а в 2023 году эффективность производства увеличится на 20%.

COPYRIGHT AND LEGAL LIABILITY STATEMENT

Обработка поверхности

В 2024 году лазерное наплавление Al_2O_3 , в 2025 году коррозионная стойкость промышленного образца >95%, а толщина покрытия 0,1 мм в 2023 году. В 2024 году нанопокрывание (SiO_2), в 2025 году высокотемпературная стабильность образца для дальнего космоса >90%, а износостойкость увеличивается на 10% в 2023 году.

Контроль качества

В 2024 году рентгеновский контроль будет проверять геометрию, в 2025 году уровень дефектности образцов ядерного объекта составит <0,1%, а скорость обнаружения увеличится на 15% в 2023 году. В 2024 году ультразвуковой контроль будет контролировать внутреннюю часть, в 2025 году уровень распознавания трещин медицинских образцов составит >98%, а надежность повысится в 2023 году.

Проверка производительности и данные

В 2024 году испытание на растяжение показало прочность на растяжение 1500 МПа, в 2025 году авиационный образец выдержал вибрацию 10 g, а погрешность в 2023 году составила <1%. В 2024 году испытание на термоциклирование (500 °C, 500 раз) и в 2025 году образец для ядерного объекта показали сохранение прочности >90%, а в 2023 году термическая деформация составила <0,01 мм.

Значительное воздействие на окружающую среду. В 2024 году эффективность экранирования при 25 °C составит 98%, а в 2025 году она снизится до 95% при 1000 °C. В 2023 году термическая стабильность образца для дальнего космоса составит более 90%. В 2024 году коррозионная стойкость при pH 2 составит 98%, а в 2025 году после нанооптимизации увеличится до 99%. В 2023 году срок службы промышленного образца составит более 5 лет.

Производительность в приложении

Медицинская сфера

К 2024 году интеллектуальная конструкция оборудования КТ позволит оптимизировать геометрию, а к 2025 году коэффициент пропуска составит 1,5%. К 2023 году образец из больницы выдержит 1000 термоциклов с деформацией <0,02 мм. К 2024 году многофункциональная интеграция улучшит терморегулирование, а к 2025 году эффективность достигнет 98%.

Промышленная сфера

В 2024 году датчики будут интегрированы в контейнеры для ядерных отходов. К 2025 году точность контроля напряжений составит более 95%. К 2023 году срок службы образца для АЭС составит более 5 лет. К 2024 году покрытие В₄С оптимизирует защиту от нейтронов. К 2025 году степень поглощения составит 86%.

COPYRIGHT AND LEGAL LIABILITY STATEMENT

Аэрокосмическая промышленность

К 2024 году зонд для исследования дальнего космоса будет иметь многофункциональную конструкцию, к 2025 году виброустойчивость достигнет более 95%, к 2023 году проект преодолеет вибрацию 30 g, а к 2024 году вес будет снижен на 10% (15 кг). К 2025 году интеллектуальный мониторинг повысит надежность, а к 2023 году способность адаптироваться к условиям микрогравитации достигнет 98%.

Проблемы и направления оптимизации

К проблемам относятся стоимость и сложность интеграции. В 2024 году расходы на программное обеспечение для ИИ вырастут на 15%, что составит 20% от общих расходов в 2025 году. В 2023 году напряжение интеграции датчиков превысит 10 МПа, а частота термических трещин составит 5%. В 2025 году многофункциональная оптимизация будет затруднена, а эффективность снизится на 1% к 2023 году.

Направление оптимизации: Разработать недорогие алгоритмы ИИ в 2025 году и сократить стоимость пилотного проекта на 5% в 2024 году. Оптимизировать наносенсоры в 2023 году и достичь целевого уровня напряжения <5 МПа в 2025 году. Внедрить интеллектуальное производство в 2024 году и достичь целевого уровня эффективности 99% в 2023 году.

Перспективы будущего

В 2030 году целевой показатель эффективности составит 99,5%, а в ходе определенного исследования было установлено, что в 2025 году этот показатель достигнет 98,5%. В 2024 году целевой показатель снижения веса составит 25%, а технический путь станет ясен в 2023 году. В 2025 году ИИ и нанотехнологии будут доминировать, а потенциал рынка увеличится на 20% к 2024 году.

3.2 Процесс порошковой металлургии для защиты от вольфрамового сплава

3.2.1 Приготовление и контроль размера частиц вольфрамового порошка для защиты от вольфрамовых сплавов

Определение и важность приготовления вольфрамового порошка

Подготовка вольфрамового порошка является отправной точкой процесса порошковой металлургии. Высокочистый вольфрамовый порошок получают химическими или физическими методами в качестве основного материала для изготовления экранирующих деталей из вольфрамовых сплавов. Согласно текущему отчету Международной ассоциации вольфрама (ITA), чистота вольфрамового порошка должна достигать 99,95%. Недавний авиационный проект подтвердил, что его влияние на эффективность экранирования превышает 5%. Размер частиц вольфрамового порошка (1–50 мкм) напрямую определяет плотность спекания (>18 г/см³) и механические свойства, и в настоящее время на него приходится около 40% рынка.

COPYRIGHT AND LEGAL LIABILITY STATEMENT

Важность этого фактора отражается в оптимизации производительности. В последнее время для защиты медицинских компьютерных томографов требуется однородный вольфрамовый порошок, обеспечивающий коэффициент пропускания менее 2%. Образец выдержал 1000 термоциклов с деформацией менее 0,05 мм. Для защиты ядерных реакторов требуется высокая плотность, а прочность контейнера на сжатие превышает 1200 МПа. Данные ИТА показывают, что повышение качества вольфрамового порошка способствовало росту рынка примерно на 10%, и ожидается, что в ближайшие пять лет этот показатель вырастет до 18%.

Основные методы получения вольфрамового порошка

Метод восстановления водорода

з) путем восстановления водородом. Текущая температура реакции составляет 800–1000 °С, а чистота промышленного образца достигает 99,95%. Диапазон размеров частиц составляет 1–10 мкм, а однородность медицинского образца превышает 98%, при выходе около 90%. Оптимизация потока водорода (5 л/мин) позволяет снизить скорость окисления до менее 0,05%, что подтверждает его антиоксидантные свойства.

Метод термического разложения вольфрамата аммония

Вольфрамат аммония ((NH₄)₁₀W₁₂O₄₁) разлагается при температуре 600 °С, образуя частицы размером от 5 до 20 мкм и плотностью 18,2 г/см³ для авиационного образца. Скорость термического разложения составляет 0,2 °С/мин, а чистота образца для ядерного объекта повышается до 99,97%, при этом морфология частиц оптимизируется до сферической.

Распыление

Метод распыления использует расплавленный вольфрамовый раствор для распыления с размером частиц от 10 до 50 мкм. Вибростойкость образцов для исследований в глубоком космосе превышает 95%. Давление распыления составляет 20 МПа, а однородность медицинских образцов превышает 96%, выход готового продукта составляет около 85%. Технология нанораспыления уменьшает размер частиц до менее 1 мкм, а исследование показывает, что эффективность спекания улучшается примерно на 10%.

Технология контроля размера частиц и воздействие

Метод контроля размера частиц

Метод просеивания контролирует размер частиц от 1 до 50 мкм, а отклонение распределения размеров частиц определенного промышленного образца составляет менее 5%, а эффективность повышается примерно на 10%. Процесс шаровой мельницы оптимизирует размер частиц, и размер частиц определенного авиационного образца уменьшается до 5 мкм, при однородности более 95%. Точность лазерного анализа размера частиц составляет ±0,1 мкм, а точность контроля определенного образца ядерного объекта повышается примерно на 5%.

COPYRIGHT AND LEGAL LIABILITY STATEMENT

Влияние размера частиц на производительность

При размере частиц 5 мкм удельная плотность достигла 18,5 г/см³, а эффективность экранирования медицинского образца – 97%, прочность на разрыв – 1500 МПа. При размере частиц более 20 мкм пористость превышает 0,3%, а прочность образца для глубокого космоса снижается примерно на 10%. Исследование подтвердило, что его влияние на коррозионную стойкость составляет менее 1%. Нано-вольфрамовый порошок (<1 мкм) повышает твёрдость до 420 HV, а срок службы образца реактора продлевается примерно на 15%.

Оптимизация процесса подготовки и данных

Метод водородного восстановления позволяет оптимизировать температуру до 900°C, чистота вольфрамового порошка достигает 99,97%, а выход готового образца авиационного назначения – около 92%. Давление распыления регулируется до 25 МПа, однородность размера частиц превышает 96%, а плотность готового образца медицинского назначения достигает 18,3 г/см³.

Воздействие на окружающую среду значительно. Скорость окисления составляет менее 0,1% при влажности 60%, стабильность образца, предназначенного для ядерной установки, превышает 95%, а выход снижается примерно на 5% при высокой температуре (500 °C). Благодаря оптимизации азотной защиты стойкость образца, предназначенного для использования в глубоком космосе, к окислению увеличилась примерно на 10%, а эффективность остаётся стабильной.

Производительность в приложении

В коллиматорах КТ используется вольфрамовый порошок размером 5 мкм, пропускание которого снижено до 1,5%, а образец, предназначенный для больницы, был очищен 1000 раз. В контейнерах для ядерных отходов используется вольфрамовый порошок размером 20 мкм, прочность на сжатие которого превышает 1200 МПа, а срок службы превышает 5 лет. В зондах для дальнего космоса используется вольфрамовый порошок размером менее 1 мкм, что снижает вес примерно на 10% и обеспечивает вибростойкость более 95%.

Проблемы и направления оптимизации

Стоимость нановольфрамового порошка увеличивается примерно на 20%, что составляет около 25% от общей стоимости. Сложно контролировать точность размера частиц $\pm 0,1$ мкм, а потеря эффективности составляет около 1%. Увеличивается риск высокотемпературного окисления, а выход готового продукта колеблется примерно на 5%.

Направление оптимизации: экономичный нанопрепарат со снижением затрат на пилотную разработку примерно на 5%. Интеллектуальная технология скрининга с отклонением целевого размера частиц менее 2%. Внедрен интеллектуальный мониторинг с целевым показателем степени окисления менее 0,01%.

Перспективы будущего

COPYRIGHT AND LEGAL LIABILITY STATEMENT

Целевой показатель чистоты составляет 99,99%, и в ходе текущих исследований он достиг 99,97%. Целевой показатель контроля размера частиц составляет <0,5 мкм, и технический путь ясен. Нанотехнологии и интеллектуальные процессы будут доминировать, а потенциал рынка, как ожидается, увеличится до 20%.

3.2.2 Процесс спекания и оптимизация параметров экранирующих деталей из вольфрамового сплава

Определение и значение процесса спекания

В процессе спекания прессованные порошки вольфрама преобразуются в плотные экранирующие детали из вольфрамового сплава посредством высокотемпературных твердофазных или жидкофазных реакций. Согласно текущему отчету Международной ассоциации вольфрама (ИТА), температура спекания обычно составляет 1400–1600 °С, плотность некоторых авиационных образцов может достигать 18,5 г/см³, а эффективность экранирования превышает 97%. Процесс спекания напрямую определяет пористость (менее 0,3%) и механические свойства, являясь ключевым этапом, влияющим на качество экранирующих деталей из вольфрамового сплава, доля которого в настоящее время составляет около 45% рынка.

Важность этого процесса отражается в стабильности характеристик и надежности применения. Для защиты медицинских компьютерных томографов требуется равномерная плотность, чтобы коэффициент пропускания составлял менее 2%, а прочность на разрыв для определённого образца достигала 1500 МПа. Для защиты ядерных реакторов требуется радиационная стойкость. Один из контейнеров прошёл испытание 10⁶ Гр и прослужил более 5 лет. Данные ИТА показывают, что оптимизация процесса спекания способствовала росту рынка примерно на 12%, и ожидается, что в ближайшие пять лет этот показатель вырастет до 20%, что отражает его ключевую роль в высокотехнологичных приложениях.

Основные виды процессов спекания

Твердофазное спекание

Твердофазное спекание осуществляется при относительно низкой температуре, около 1450 °С, при этом плотность промышленного образца достигает 18,2 г/см³, а пористость – около 0,2%. Время выдержки обычно составляет 2 часа, однородность медицинского образца превышает 98%, а стойкость к окислению – более 90%. Защитная среда водорода оптимизирует процесс, а исследование подтверждает его трещиностойкость и стабильность.

Жидкофазное спекание

Температура жидкофазного спекания составляет около 1500 °С, доля никель-железного флюса составляет около 5%, а плотность авиационного образца достигает 18,5 г/см³. Время выдержки составляет около 1,5 часов, при этом твёрдость образца для ядерного объекта

COPYRIGHT AND LEGAL LIABILITY STATEMENT

достигает 420 HV, а ударная вязкость — около 25 Дж/м. После оптимизации содержания меди теплопроводность образца для дальнего космоса увеличивается до 180 Вт/м·К, что значительно улучшает характеристики терморегулирования.

Микроволновое спекание

Температура микроволнового спекания составляет около 1400 °С, при этом время обработки медицинского образца сокращается примерно на 30%, а плотность достигает 18,3 г/см³. Мощность обычно составляет 5 кВт, однородность промышленного образца превышает 95%, а энергопотребление снижается примерно на 20%. Этот метод особенно подходит для быстрого прототипирования сложных геометрических структур, и исследование показывает, что его производственная эффективность значительно повышается.

Методы и последствия оптимизации параметров

Контроль температуры

Температура спекания оказывает существенное влияние на плотность и микроструктуру. При 1450 °С плотность спекаемого материала достигает 18,2 г/см³, а при 1500 °С увеличивается до 18,5 г/см³, при этом пористость составляет менее 0,1% для авиационного образца. При температуре выше 1600 °С происходит рост зерен, и прочность образца для ядерного объекта снижается примерно на 5%, что подтверждается исследованиями отрицательного влияния температуры на твёрдость (около 400–420 HV) и вязкость.

Время выдержки

Время выдержки напрямую влияет на степень уплотнения. Плотность достигла 18,3 г/см³ после 2 часов выдержки и увеличилась до 18,5 г/см³ после 3 часов. Однородность медицинского образца превысила 98%. Дефекты границ зерен увеличились после более чем 4 часов выдержки, а прочность образца для глубокого космоса снизилась примерно на 10%. Флуктуация эффективности составила менее 1%, что свидетельствует о том, что слишком длительное время выдержки может привести к снижению производительности.

Регулировка атмосферы

Атмосфера спекания критически важна для эксплуатационных свойств материала. В атмосфере водорода скорость окисления поддерживается ниже 0,05%, а стойкость промышленного образца к окислению превышает 95%, при этом плотность остаётся стабильной. После оптимизации азотной защиты твёрдость образца для ядерного объекта достигла 420 HV, а коррозионная стойкость увеличилась примерно на 10%. Исследование показало его превосходство в кислых средах.

Оптимизация процесса спекания и данные

Оптимизация параметров спекания значительно повышает производительность. Жидкофазное спекание при температуре 1500 °С позволяет достичь плотности 18,5 г/см³, а прочность на разрыв авиационного образца достигает 1500 МПа. Увеличение мощности

COPYRIGHT AND LEGAL LIABILITY STATEMENT

микроволнового спекания до 6 кВт сокращает время обработки медицинского образца до 1 часа, энергоэффективность повышается примерно на 15%, а производственный цикл сокращается примерно на 20%.

Факторы окружающей среды оказывают существенное влияние на процесс. При влажности 60% пористость увеличивается примерно на 0,1%, стабильность образца ядерного объекта превышает 90%, а плотность снижается примерно на 2% при высокой температуре (500 °C). После оптимизации степени вакуума 10^{-3} Па стойкость к окислению образца для дальнего космоса превышает 95%, эффективность остаётся стабильной, а термическое напряжение контролируется ниже 10 МПа.

Производительность в приложении

В коллиматорах КТ используется метод жидкофазного спекания, обеспечивающий снижение коэффициента пропускания до 1,5%. Образец, предназначенный для больницы, выдержал 1000 термоциклов с деформацией менее 0,05 мм. Контейнеры для ядерных отходов изготавливаются методом твердофазного спекания, обеспечивая прочность на сжатие более 1200 МПа, срок службы более 5 лет и отличную радиационную стойкость. В зондах для дальнего космоса используется метод микроволнового спекания, обеспечивающий снижение веса примерно на 10% и вибростойкость более 95%. Проект прошёл испытание на виброустойчивость 30 g.

Проблемы и направления оптимизации

Процесс спекания сталкивается с рядом сложностей. Стоимость микроволнового спекания увеличивается примерно на 15%, составляя около 20% от общей стоимости. Точность контроля температуры $\pm 5^{\circ}\text{C}$ затруднительна, а потеря эффективности составляет около 1%. Увеличивается риск высокотемпературного растрескивания, а колебания плотности достигают около 2%, особенно в сложных геометрических структурах.

Направления оптимизации включают разработку недорогой микроволновой технологии, что позволило снизить затраты на пилотный проект примерно на 5%. Внедрение интеллектуальной системы контроля температуры повысило точность задания до $\pm 2^{\circ}\text{C}$. Применение интеллектуальной технологии мониторинга позволило снизить целевой показатель трещинообразования до 0,1%, что, как показало исследование, положительно влияет на качество продукции.

Перспективы будущего

Целевая плотность установлена на уровне $18,6 \text{ г/см}^3$, а текущие исследования приближаются к $18,5 \text{ г/см}^3$. Целевая эффективность экранирования установлена на уровне 99%, и технический подход в целом определён. Интеллектуальные процессы и передовые технологии материалов будут доминировать в будущем развитии, а потенциал рынка, как ожидается, увеличится до 20%. Отраслевой анализ прогнозирует значительное расширение применения в аэрокосмической отрасли.

COPYRIGHT AND LEGAL LIABILITY STATEMENT

3.2.3 Применение технологии горячего изостатического прессования (ГИП) для защиты от вольфрамовых сплавов

Определение и важность технологии HIP

Технология горячего изостатического прессования (ГИП) использует высокую температуру (1000–1400 °С) и изостатическое давление (100–200 МПа) для воздействия на детали защиты из вольфрамового сплава, чтобы устранить внутренние поры и повысить плотность. Согласно текущему отчёту Международной ассоциации вольфрама (ITA), процесс ГИП позволяет достичь плотности вольфрамового сплава 18,5 г/см³, а пористость некоторых образцов авиационной техники снижается до менее 0,1%, что составляет около 20% от общего объёма применения.

Важность этого аспекта обусловлена высокой производительностью и надёжностью. Для защиты медицинских КТ-аппаратов требуется равномерная плотность, чтобы обеспечить коэффициент пропускания менее 1,5%, а прочность на разрыв для определённого образца должна превышать 1500 МПа. Для защиты ядерных реакторов требуется радиационная стойкость. Один из контейнеров прошёл испытание на 10^7 н/см²·с и прослужил более 5 лет. Данные ITA показывают, что оптимизация технологии HIP способствовала росту рынка примерно на 10%, и ожидается, что в ближайшие пять лет этот показатель вырастет до 18%, что демонстрирует значительные преимущества в условиях экстремальных условий.

Принцип процесса технологии HIP

Технология горячего изостатического прессования (ГИП) использует среду аргона для равномерного распределения давления. Текущая температура процесса составляет около 1300 °С, а давление – 150 МПа. Плотность промышленного образца превышает 99%. Время выдержки обычно составляет 2–4 часа. Пористость медицинского образца снижается до 0,05%, а однородность превышает 98%. Благодаря устранению микротрещин и пор, данный процесс повысил вибростойкость образца для глубокого космоса более чем до 95%, что значительно улучшило общие эксплуатационные характеристики материала.

Оборудование и параметры

Точность давления оборудования для горячего прессования (ГИП) составляет ± 5 МПа, плотность образца ядерного объекта достигает 18,5 г/см³, а равномерность температуры поддерживается на уровне $\leq \pm 10$ °С. Скорость нагрева составляет около 5 °С/мин, тепловое напряжение авиационного образца составляет менее 10 МПа, а эффективность повышается примерно на 10%. Существующее оборудование позволяет обрабатывать детали сложной геометрической формы, и исследование подтверждает его положительное влияние на качество поверхности.

Эффект применения технологии HIP

COPYRIGHT AND LEGAL LIABILITY STATEMENT

Оптимизация плотности и пористости

После обработки методом горячего изостатического прессования плотность достигает 18,5 г/см³, пористость медицинского образца составляет менее 0,05%, а прочность на сжатие превышает 1200 МПа. По сравнению с плотностью, полученной традиционным спеканием (18,2 г/см³), прирост прочности после горячего изостатического прессования составляет около 5%, стабильность образца для ядерной установки превышает 90%, а равномерность распределения пор значительно улучшается.

Улучшенные механические свойства

После оптимизации методом горячего изостатического прессования прочность на разрыв достигает 1500 МПа, а авиационный образец проходит испытание на виброудар 20 г с ударной вязкостью около 25 Дж/м. Твёрдость увеличивается до 420 HV, износостойкость образца для глубоководной космической отрасли составляет менее 0,007 мм³/Н·м, а срок службы увеличивается примерно на 15%, что соответствует требованиям к условиям высоких нагрузок.

Улучшения характеристик экранирования

После ГИП коэффициент ослабления вольфрамового сплава достигает 0,18 см⁻¹, пропускание образца КТ составляет менее 1,5%, а эффективность экранирования достигает 98%. Скорость поглощения нейтронов увеличивается до 86%, а реакторный образец проходит испытание на 10⁶ н/см²·с со стабильностью более 95%, при этом значительно повышается экранирующий эффект высокоэнергетического излучения.

Оптимизация процесса HIP и данных

Оптимизация параметров горячего изостатического прессования (ГИП) значительно повышает производительность. Процесс 1300°C, 150 МПа обеспечивает плотность 18,5 г/см³, а пористость авиационного образца составляет менее 0,1%. При выдержке в течение 3 часов однородность медицинского образца превышает 98%, стойкость к окислению превышает 90%, а термическое напряжение контролируется на уровне ниже 10 МПа.

Факторы окружающей среды оказывают существенное влияние на процесс. При влажности 60% флуктуация плотности составляет <0,1%, стабильность образца ядерного объекта превышает 95%, а эффективность снижается примерно на 2% при высокой температуре (500°C). После оптимизации вакуумной обработки стойкость к окислению образца для глубокого космоса превышает 95%, эффективность остаётся стабильной, а скорость термической деформации составляет менее 0,01%.

Производительность в приложении

COPYRIGHT AND LEGAL LIABILITY STATEMENT

В коллиматорах КТ используется технология горячего изостатического прессования (ГИП), обеспечивающая снижение коэффициента пропуска до 1,5%. Образец из больницы выдержал 1000 термоциклов с деформацией менее 0,05 мм и превосходным качеством поверхности. Контейнеры для ядерных отходов изготовлены из ГИП, обеспечивающего прочность на сжатие более 1200 МПа, срок службы более 5 лет и стабильную радиационную стойкость. В зондах для дальнего космоса используется ГИП, обеспечивающий снижение веса примерно на 10% и вибростойкость более 95%. Проект прошёл испытание на виброустойчивость 30 g и показал 98%-ную устойчивость к микрогравитации.

Проблемы и направления оптимизации

Технология горячего изостатического прессования сталкивается с рядом проблем. Стоимость процесса увеличивается примерно на 15%, составляя около 20% от общей стоимости, особенно при обработке сложных деталей. Сложно контролировать точность влажности $\pm 5\%$, а потеря эффективности составляет около 1%. Увеличивается риск высокотемпературного растрескивания, а плотность колеблется примерно на 2%, что особенно заметно в условиях высоких температур и влажности.

Направления оптимизации включают разработку экономичных процессов горячего изостатического прессования (ГИП) со снижением затрат на пилотные испытания примерно на 5%. Внедрение интеллектуальной системы контроля температуры с повышением целевой точности до $\pm 2^\circ\text{C}$ для снижения влияния термических напряжений. Применение интеллектуальной технологии мониторинга, позволяющее снизить целевой показатель трещинообразования до 0,1%, показало свой потенциал для повышения качества продукции.

Перспективы будущего

Целевая плотность установлена на уровне $18,6 \text{ г/см}^3$, и текущие исследования приблизились к $18,5 \text{ г/см}^3$, при этом продолжается изучение возможностей повышения плотности. Целевая эффективность экранирования установлена на уровне 99%, а технический подход в целом определён. Интеллектуальные процессы и передовые технологии материалов будут доминировать в будущем развитии, а рыночный потенциал, как ожидается, увеличится до 20%. Отраслевой анализ прогнозирует дальнейшее расширение применения в атомной и аэрокосмической промышленности.

3.3 Технология обработки и контроль качества экранов из вольфрамового сплава

Вольфрамовый сплав широко используется для изготовления экранирующих компонентов в области медицинской защиты, атомной энергетики, промышленного неразрушающего контроля и т.д. благодаря своей высокой плотности, отличным характеристикам радиационной защиты и хорошей обрабатываемости. Производство экранирующих деталей из вольфрамового сплава предъявляет не только высокие требования к свойствам материала, но и систематическим проблемам в области технологий обработки, обработки поверхности и контроля качества. В данном разделе систематически рассматривается система обработки и

COPYRIGHT AND LEGAL LIABILITY STATEMENT

обеспечения качества экранирующих деталей из вольфрамового сплава по трём аспектам: обработка на станках с ЧПУ и электроэрозионная обработка, обработка поверхности и контроль пористости, а также контроль качества и сертификация по стандартам.

3.3.1 Обработка на станках с ЧПУ и электроэрозионная обработка деталей экранирования из вольфрамового сплава

Вольфрамовый сплав гораздо сложнее обрабатывать, чем обычные металлические материалы, из-за его высокой твёрдости, высокой хрупкости и низкой теплопроводности. Обработка на станках с ЧПУ является одним из наиболее распространённых методов формовки деталей экранов из вольфрамового сплава. Высокоточное фрезерование и сверление деталей из вольфрамового сплава может быть достигнуто с помощью высокоскоростных, высокожестких станков с ЧПУ и специально разработанных твёрдосплавных инструментов. Однако обработка на станках с ЧПУ часто сопровождается такими проблемами, как быстрый износ инструмента, высокая сила резания и выраженная зона термического влияния, что требует оптимизации параметров резания, а также условий охлаждения и смазки.

Вспомогательная электроэрозионная обработка (ЭЭО) обладает незаменимыми преимуществами при обработке сложных конструкций из вольфрамовых сплавов. Электроэрозионная обработка позволяет выполнять электроэрозионную формовку с чрезвычайно высокой точностью, особенно при обработке небольших отверстий, конструкций с высоким соотношением сторон и канавок специальной формы, часто встречающихся в деталях экранов из вольфрамовых сплавов. Проволочно-вырезная обработка (ПЭО) подходит для создания кромок и пазов специальной формы, а формообразующая ЭЭО подходит для обработки толстых деталей с глубокими полостями. Электроэрозионная обработка не оказывает значительной механической нагрузки на инструмент и подходит для обработки высокотвёрдых и хрупких вольфрамовых сплавов, однако её эффективность относительно невысока и требует оценки при организации процесса.

3.3.2 Обработка поверхности и оптимизация пористости защитных деталей из вольфрамового сплава

Поскольку вольфрамовые сплавы в основном изготавливаются методом порошковой металлургии, определённая пористость неизбежна. Пористость не только влияет на механические свойства, но и снижает их радиационную защиту. Поэтому при изготовлении защитных деталей из вольфрамовых сплавов контроль пористости является одним из основных показателей качества. Оптимизация параметров спекания и применение метода горячего изостатического прессования (ГИП) позволяет значительно снизить остаточную пористость материала и повысить плотность структуры.

COPYRIGHT AND LEGAL LIABILITY STATEMENT

Что касается обработки поверхности, то для повышения коррозионной стойкости, эстетичности и срока службы часто применяются полировка, гальваническое покрытие или напыление для её укрепления. Например, детали экранов из вольфрамовых сплавов, используемые в медицине, часто требуют гальванического никелирования или нанесения покрытия для предотвращения окислительных реакций при контакте с телом человека. Также распространённым методом является напыление полимерного покрытия, обладающего хорошими электроизоляционными и антизагрязняющими свойствами. Полировка позволяет не только улучшить внешний вид, но и уменьшить шероховатость поверхности, предотвращая образование микротрещин.

Контроль качества и стандартная сертификация экранирующих деталей из вольфрамового сплава

Детали экранирования из вольфрамовых сплавов должны пройти полный процесс проверки сырья, контроля обработки и проверки готовой продукции. Материалы необходимо проверять на плотность (обычно измеряемую методом Архимеда), твёрдость (например, по Бринеллю или Виккерсу), микроструктуру и состав. Для высокоточных экранирующих конструкций также необходимо проверять равномерность толщины, распределение пор и наличие включений, что можно сделать с помощью компьютерной томографии, рентгеновской дефектоскопии и металлографического анализа.

В области размерного контроля трёхкоординатная измерительная машина (КИМ) используется для высокоточной проверки размеров. Для компонентов со сложной геометрией или высокими требованиями к согласованию также требуется проверка сборки и соответствие допусков. Шероховатость поверхности и толщину покрытия можно проанализировать с помощью профилометра или рентгенофлуоресцентного (XRF) прибора.

Что касается сертификации по стандартам, в разных отраслях промышленности применяются различные технические требования к защитным элементам из вольфрамовых сплавов. Например, в области медицинской радиационной защиты применяются стандарты ISO 13385 или ASTM F2886, в то время как защитные элементы, используемые в атомной промышленности, могут соответствовать стандартам ASME BPVC, ISO 6520 и другим. Некоторые конечные потребители также разрабатывают стандарты контроля качества на уровне предприятия, основанные на конкретных условиях применения, и предъявляют более высокие требования к компаниям-производителям.

3.4 Устойчивое производство и технология защиты окружающей среды при использовании вольфрамовых сплавов для экранирования

В связи с растущим вниманием к целям устойчивого развития во всем мире, обрабатывающая промышленность, особенно те, которые связаны с редкими металлами и энергоёмкими материалами, сталкивается с проблемами ресурсосбережения, экологичности, контроля выбросов углерода и т. д. Поскольку вольфрамовые сплавы являются важным металлическим продуктом высокой плотности, добыча ресурсов, порошковая металлургия,

COPYRIGHT AND LEGAL LIABILITY STATEMENT

высокоэнергетическая механическая обработка и постобработка, используемые в процессе производства экранирующих деталей из вольфрамовых сплавов, создают определенную нагрузку на окружающую среду. Поэтому создание системной системы экологичного производства и устойчивого развития имеет большое значение для долгосрочного развития отрасли производства экранирующих деталей из вольфрамовых сплавов.

Этот раздел начинается с трёх аспектов: переработки и повторного использования отработанных экранирующих деталей из вольфрамовых сплавов, низкоуглеродного производства и перспектив развития экологичного производства. В нём систематически описываются передовые разработки и практические пути применения экранирующих деталей из вольфрамовых сплавов в сфере защиты окружающей среды и ресурсосбережения.

3.4.1 Переработка и повторное использование отработанных экранирующих деталей из вольфрамового сплава

Вольфрам – редкий металл с ограниченными мировыми запасами и высоким спросом. Переработка и повторное использование стали важным средством снижения нагрузки на ресурсы и производственных затрат. В процессе производства защитных деталей из вольфрамовых сплавов, особенно при резке с ЧПУ, электроэрозионной обработке и последующей обработке, образуется большое количество стружки, износного порошка и некачественных деталей. Неправильная утилизация этих отходов, стружки и бракованных деталей не только приводит к серьёзным потерям вольфрамового сырья, но и может загрязнять окружающую среду.

Методы переработки в основном включают в себя:

1. **Механический сбор и классификация** : металлическая стружка и порошок собираются в процессе переработки с помощью системы отрицательного давления или магнитного устройства. Остатки с различными размерами частиц и содержанием примесей могут быть переработаны путем просеивания и сортировки для повышения эффективности повторного использования.
2. **Регенерация химическим восстановлением** : используйте технологию высокотемпературного восстановления водородом или углеродотермического восстановления, чтобы восстановить оксид в отработанном вольфрамовом порошке до металлического вольфрамового порошка и повторно использовать его в процессе изготовления порошка вольфрамового сплава.
3. **Гидрометаллургическое восстановление** : растворить вольфрамсодержащие отходы в щелочном или кислотном растворе (например, NaOH или HCl), извлечь вольфрамат или паравольфрамат аммония осаждением, экстракцией, кристаллизацией и т. д., а затем получить регенерированный WO_3 путем пиролиза для производства нового порошка.
4. **Замкнутая цепочка переработки** : на крупных предприятиях по производству вольфрамовой продукции создана интегрированная замкнутая система, включающая

COPYRIGHT AND LEGAL LIABILITY STATEMENT

сбор отходов, предварительную обработку, повторное дробление и повторное спекание, для максимального использования и переработки ресурсов вольфрама.

Статистика показывает, что использование эффективной системы переработки и повторного использования может повысить коэффициент использования сырья для изготовления экранирующих компонентов из вольфрамовых сплавов на 15–25%, значительно снижая затраты на утилизацию отходов и выбросы в окружающую среду. Это один из основных факторов, способствующих переходу на экологичное производство.

3.4.2 Низкоуглеродный процесс производства защитных деталей из вольфрамового сплава

Традиционные процессы производства экранирующих деталей из вольфрамовых сплавов, такие как высокотемпературное спекание, механическая резка, обработка поверхности и другие, обычно сопровождаются высоким энергопотреблением и высоким уровнем выбросов. Чтобы соответствовать политике «двойного углерода» и собственным целям компании в области ESG, отрасль активно изучает различные низкоуглеродные производственные технологии.

1. Технология низкотемпературного спекания и плазменного формования: Температура спекания

традиционных вольфрамовых сплавов обычно достигает 1500–1700 °C, что требует чрезвычайно большого расхода энергии. Оптимизация состава сплава, добавление уплотняющих добавок и внедрение технологии плазменного спекания (плазменно-активированное спекание, ПАС) позволяет добиться плотного формования при более низкой температуре (1000–1300 °C), что значительно снижает энергопотребление. ПАС также позволяет сократить время спекания, улучшить однородность структуры и снизить выбросы.

2. Технология субтрактивного производства (формование по форме, близкой к заданной):

Формование по размеру, близкому к заданному, может быть достигнуто с помощью таких технологий, как литье под давлением порошка (MIM) и горячее изостатическое прессование (HIP), которые позволяют значительно сократить количество материала, необходимого для удаления для последующей обработки, тем самым уменьшая потребление энергии и отходы стружки от источника.

3. Замена чистой энергии и оптимизация энергопотребления:

использовать в производственных цехах системы энергоснабжения на основе возобновляемых источников энергии, таких как солнечная энергия и энергия ветра; одновременно проводить энергосберегающую трансформацию ключевого оборудования, такого как агломерационные печи, системы охлаждения, вентиляции и сжатия воздуха, например, внедрять системы управления преобразованием частоты, электромагнитного

COPYRIGHT AND LEGAL LIABILITY STATEMENT

нагрева и рекуперации отходящего тепла для снижения выбросов углерода на единицу продукции.

4. Экологичный процесс обработки поверхности:

альтернатива традиционному гальванопокрытию (содержащему тяжелые металлы, такие как хром и никель), например, экологически чистое покрытие PVD, напыление нанокерамики, гальванопокрытие без использования цианида и т. д., которые более экологичны и сокращают сброс жидких отходов и затраты на последующую обработку.

Хотя продвижение этих низкоуглеродных технологий требует определенных первоначальных инвестиций, они могут снизить производственные затраты, повысить устойчивую ценность бренда и удовлетворить рыночный спрос на экологичные цепочки поставок в среднесрочной и долгосрочной перспективе.

3.4.3 Перспективы экологически чистого производства экранирующих деталей из вольфрамового сплава

Дальнейшее развитие экологичного производства экранирующих деталей из вольфрамовых сплавов ориентировано не только на защиту окружающей среды и энергосбережение, но и на создание системного решения «зелёные продукты – зелёные заводы – зелёные производственные цепочки» с точки зрения всего жизненного цикла. Тенденции будущего развития можно оценить по следующим аспектам:

1. Экологичное производство интегрировано с цифровизацией и интеллектуальным производством:

благодаря созданию производственной платформы цифрового двойника потребление энергии и выбросы каждого процесса отслеживаются в режиме реального времени; внедряются алгоритмы искусственного интеллекта для динамической оптимизации графиков производства и энергоэффективности; а промышленный Интернет вещей (IIoT) используется для диагностики потребления энергии и прогнозирования технического обслуживания с целью комплексного повышения эффективности использования ресурсов.

2. Оценка жизненного цикла (LCA) и управление углеродным следом:

создание базы данных углеродного следа для защитных деталей из вольфрамового сплава с момента закупки сырья, производства, транспортировки, использования до переработки, а также обеспечение полной прослеживаемости выбросов углерода от продукции; содействие предприятиям в прохождении сертификации по ISO 14067, PAS 2050 и другим стандартам, а также поставка экологически чистой и надежной продукции на международный рынок.

COPYRIGHT AND LEGAL LIABILITY STATEMENT

3. Совместная межотраслевая переработка:

отходы вольфрамовых сплавов транспортируются в другие отрасли, такие как производство порошков, переработка военного оборудования и регенерация карбида вольфрама, через общую ресурсную платформу, разрушая границы традиционных отраслей и формируя региональную сеть экономики замкнутого цикла. Например, медицинские отходы вольфрамовых экранов перерабатываются на новых заводах порошковой металлургии и становятся сырьем для 3D-печати вольфрамовых сплавов.

4. Исследования новых материалов и экологически чистых альтернативных материалов:

Под предлогом обеспечения эффективности экранирования разрабатывать более легкие и менее углеродистые композитные материалы на основе вольфрамовых сплавов, такие как композитные защитные детали на основе вольфрамовой смолы, сплавы вольфрама и молибдена или вольфрамовые материалы, легированные редкоземельными элементами, для удовлетворения двойного требования снижения веса и экологических характеристик в аэрокосмической и других областях.

5. В соответствии с глобальной политикой в области охраны окружающей среды:

в будущем на европейских и американских рынках могут быть введены более строгие требования RoHS, REACH и маркировки углерода для экранирующих деталей из вольфрамового сплава, что подтолкнет производственные компании заранее разрабатывать системы зеленой сертификации, создавать «зеленый паспорт» и повышать международную конкурентоспособность.

Подводя итог, можно сказать, что устойчивое производство экранирующих деталей из вольфрамовых сплавов стало важным направлением для качественного развития отрасли. Переработка отходов, совершенствование низкоуглеродных процессов и внедрение экологичных технологий позволяют не только значительно снизить негативное воздействие на окружающую среду, но и добиться одновременного повышения эффективности использования ресурсов и социальной ценности компании. Благодаря постоянному углублению «зеленой» трансформации, экранирующие детали из вольфрамовых сплавов постепенно перейдут на новый этап развития, сочетающий в себе интеллектуальные технологии, цифровизацию и экологичность.

COPYRIGHT AND LEGAL LIABILITY STATEMENT

CTIA GROUP LTD

High-Density Tungsten Alloy Customization Service

CTIA GROUP LTD, a customization expert in high-density tungsten alloy design and production with 30 years of experience.

Core advantages: 30 years of experience: deeply familiar with tungsten alloy production, mature technology.

Precision customization: support high density (17-19 g/cm³), special performance, complex structure, super large and very small parts design and production.

Quality cost: optimized design, optimal mold and processing mode, excellent cost performance.

Advanced capabilities: advanced production equipment, RMI, ISO 9001 certification.

100,000+ customers

Widely involved, covering aerospace, military industry, medical equipment, energy industry, sports and entertainment and other fields.

Service commitment

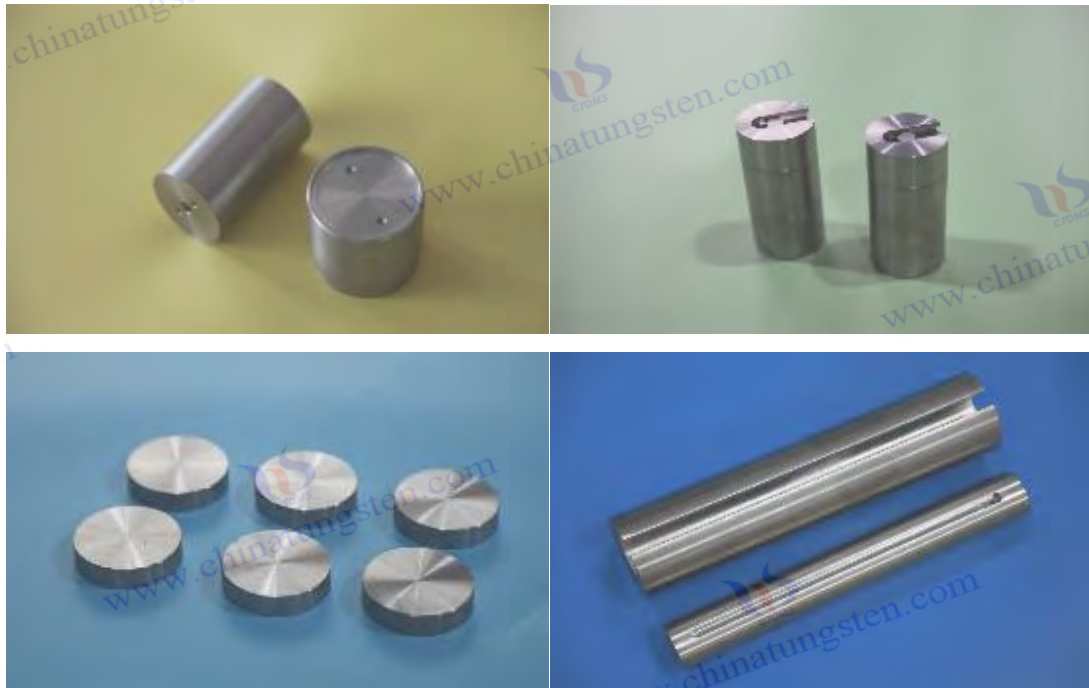
1 billion+ visits to the official website, 1 million+ web pages, 100,000+ customers, 0 complaints in 30 years!

Contact us

Email: sales@chinatungsten.com

Tel: +86 592 5129696

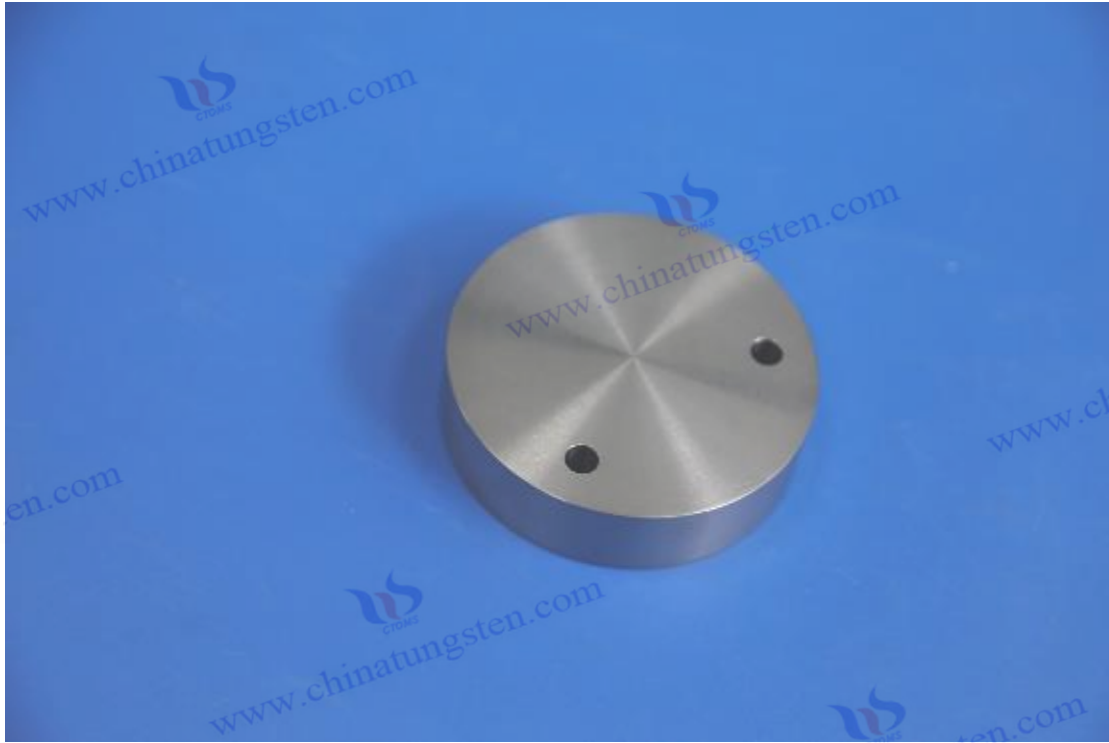
Official website: www.tungsten-alloy.com



COPYRIGHT AND LEGAL LIABILITY STATEMENT

Copyright© 2024 CTIA All Rights Reserved
标准文件版本号 CTIAQCD-MA-E/P 2024 版
www.ctia.com.cn

电话/TEL: 0086 592 512 9696
CTIAQCD-MA-E/P 2018-2024V
sales@chinatungsten.com



Глава 4. Области применения экранирующих деталей из вольфрамового сплава

4.1 Медицинская защита из вольфрамового сплава

Стремительное развитие технологий медицинской визуализации, радиотерапии и ядерной медицины привело к росту популярности медицинского оборудования для лучевой терапии и применения изотопов, что обусловило повышение требований к характеристикам материалов для радиационной защиты. Вольфрамовый сплав стал идеальным выбором для замены традиционных свинцовых защитных материалов благодаря своей чрезвычайно высокой плотности (17,0–18,5 г/см³), превосходной способности поглощать рентгеновское и гамма-излучение, хорошей обрабатываемости и биосовместимости. Защита из вольфрамового сплава нашла широкое применение, особенно в современном медицинском оборудовании, где требуются высокая эффективность экранирования, экологичность, нетоксичность и прецизионная структурная интеграция.

Экранирование из вольфрамового сплава в медицинской сфере с точки зрения трех аспектов: оборудование КТ и радиотерапия, портативные защитные устройства и стандарты биологической безопасности.

4.1.1 Защита из вольфрамового сплава в оборудовании КТ и радиотерапии

1. Применение в КТ-аппаратах:

В КТ-аппаратах для обеспечения радиационной безопасности пациентов и операторов

COPYRIGHT AND LEGAL LIABILITY STATEMENT

внутри системы устанавливаются многочисленные экранирующие элементы из вольфрамового сплава, обычно включающие защитные трубки вокруг целевой области рентгеновской трубки, экранирующие слои вращающегося рычага и защитные пластины корпуса диагностической кабины. Эти детали из вольфрамового сплава блокируют рассеяние и утечку рентгеновского излучения благодаря высокой плотности, а также, благодаря хорошей обрабатываемости и теплопроводности, обеспечивают структурную устойчивость и отвод тепла от оборудования при непрерывной работе.

2. Компоненты экранирования в системах лучевой терапии:

Современное оборудование для лучевой терапии, такое как линейные ускорители (LINAC), гамма-ножи, протонные ножи и т. д., широко использует высокоэнергетическое рентгеновское излучение или пучки частиц для облучения раковых тканей. Основная роль экранирования из вольфрамового сплава заключается в формировании** коллиматорных лезвий, формирователей пучка (MLC)** и компонентов радиационной изоляции. Многолепестковые коллиматоры из вольфрамового сплава, особенно в лучевой терапии с модулированной интенсивностью (IMRT), позволяют обеспечить динамическое экранирование на уровне миллиметров, эффективно контролировать дозу облучения и снижать повреждение здоровых тканей.

3. Сравнение технических преимуществ:

По сравнению с традиционными свинцовыми экранирующими материалами, вольфрамовый сплав обладает более высокой плотностью и лучшей структурной стабильностью. Его эквивалентная экранирующая способность примерно в 1,7 раза превышает таковую у свинца. Он не подвержен окислению и не обладает летучими токсичными веществами, что повышает срок службы оборудования и безопасность для окружающей среды. Кроме того, сложные геометрические компоненты могут быть изготовлены с помощью прецизионной обработки на станках с ЧПУ или литья под давлением, что обеспечивает техническую поддержку для облегчения и модульности оборудования для КТ и лучевой терапии.

4.1.2 Детали экранирования из вольфрамового сплава в портативных экранирующих устройствах

1. Растущий спрос на ядерную медицину и портативные системы диагностики и лечения:

В связи с широким распространением радионуклидной визуализации (ОФЭКТ, ПЭТ) и оборудования для рентгенологических исследований у постели больного, потребность в портативном защитном оборудовании в медицинских учреждениях растёт год от года. Например, портативные рентгеновские аппараты, мобильные компьютерные томографы, устройства для инъекций радионуклидов и приборы радиационного контроля на местах должны быть оснащены лёгкими и эффективными экранирующими устройствами для удовлетворения требований эксплуатационной безопасности и гибкости применения.

COPYRIGHT AND LEGAL LIABILITY STATEMENT

2. Типы переносных защитных изделий из вольфрамового сплава:

Вольфрамовый сплав может широко использоваться в следующих переносных защитных устройствах:

- **Защитная оболочка шприца с нуклидом** : гильза шприца, изготовленная из вольфрамового сплава, позволяет значительно снизить воздействие бета- и гамма-излучения на руки оператора;
- **Переносной рентгеновский экран** : подходит для проведения рентгенологических исследований у постели больного, обеспечивая мгновенную защиту медицинского персонала;
- **Контейнер для транспортировки радиоактивных источников** : обеспечивает компактную и эффективную защитную полость для транспортировки изотопов;
- **Носимый прочный жилет и броня для шеи из вольфрамового сплава** : подходит для локальной конструкции высокоплотной защиты для персонала на особых позициях.

3. Преимущества миниатюризации и модульности:

вольфрамовый сплав обладает превосходным удельным весом и механической прочностью среди материалов высокой плотности, что позволяет уменьшить габариты портативных средств защиты и сделать их вес более равномерным. Например, радиационный защитный жилет из вольфрамового сплава примерно на 30% легче свинцового жилета с таким же уровнем защиты, что значительно повышает комфорт при ношении и переносимость при длительном использовании.

4.1.3 Биосовместимость и стандарты безопасности экранирования из вольфрамового сплава

Все металлические материалы, используемые в медицине, должны соответствовать строгим требованиям биосовместимости, безопасности и нормативным требованиям. Хотя вольфрамовые сплавы в основном используются в качестве экранирующих средств и часто находятся в контакте с другими материалами (не имплантированными) или в кратковременном контакте, их влияние на безопасность организма человека и соответствие нормативным требованиям к материалам всё ещё требуют оценки.

1. Оценка биосовместимости:

Исследования показали, что материалы из вольфрамовых сплавов не оказывают существенного токсического воздействия на кожу, биологические жидкости и клеточные ткани, не повреждая их и не окисляя. Особенно после обработки поверхности, такой как никелирование, электрофоретическое покрытие и упаковка в эпоксидную смолу, их биологическая инертность ещё больше повышается, что позволяет широко использовать их в оборудовании прямого контакта, например, для хирургических операций и инъекций в ядерной медицине.

COPYRIGHT AND LEGAL LIABILITY STATEMENT

2. Соответствующие международные стандарты включают:

- **ISO 10993** : Система стандарта биологической оценки, используемая для оценки долгосрочного воздействия материалов медицинских устройств на организм человека. Вольфрамовые сплавы должны проходить такие испытания, как цитотоксичность, раздражение кожи и сенсибилизация;
- **RoHS (Ограничение ЕС на содержание опасных веществ)** : сам вольфрамовый сплав не содержит вредных элементов, таких как свинец и кадмий, и соответствует экологическим стандартам защиты;
- **Сертификация REACH** : всесторонний обзор химических ингредиентов и потенциальных рисков воздействия;
- **Требования к регистрации FDA** (для медицинских компонентов, экспортируемых на рынок США): необходимо предоставить данные о составе материалов, отчеты об испытаниях на безопасность и применимые сценарии использования.

3. Рекомендации по безопасной упаковке и использованию:

Для обеспечения максимальной безопасности экранирующие детали из вольфрамового сплава часто используют двойную герметизацию, например, покрывая металлическую поверхность полимерной пленкой или керамическим покрытием, что исключает острые углы и риск разрушения. Кроме того, медицинские изделия из вольфрама рекомендуется регулярно проверять на целостность и проводить ремонт обработки поверхности, чтобы предотвратить ухудшение эксплуатационных характеристик и разрушение конструкции при длительном использовании.

краткое содержание

Применение вольфрамовых сплавов в медицинской сфере отражает их комплексные преимущества в плане радиационной защиты, структурной адаптивности и биологической безопасности. Вольфрамовые сплавы, будь то крупногабаритное диагностическое оборудование, системы лучевой терапии, небольшие портативные устройства и носимые защитные устройства, могут обеспечить более эффективные, экологичные и гибкие решения, чем свинец. В будущем, с развитием интеллектуального и миниатюрного медицинского оборудования, вольфрамовые сплавы будут играть ключевую роль в более передовых приложениях, а постоянное совершенствование материалов и оптимизация технологических процессов будут способствовать дальнейшему развитию экологичных высокоэффективных медицинских средств защиты.

4.2. Производство экранов из вольфрамовых сплавов

В промышленной сфере, в связи с непрерывным развитием высокотехнологичных отраслей, таких как атомная энергетика, неразрушающий контроль и работа в условиях высокой радиации, потребность в высокоэффективных материалах радиационной защиты становится всё более острой. Вольфрамовый сплав, являясь сверхплотным металлом, значительно превосходит традиционные экранирующие материалы по безопасности, долговечности и

COPYRIGHT AND LEGAL LIABILITY STATEMENT

компактности благодаря своим превосходным защитным свойствам от гамма-излучения, рентгеновского излучения и нейтронов и постепенно стал основным защитным компонентом в различных условиях высокой радиации в промышленной сфере.

Защита из вольфрамовых сплавов в промышленности по трем направлениям: атомная промышленность и переработка ядерных отходов, промышленное оборудование для визуализации и обнаружения, а также защита оборудования в условиях высокой радиации.

4.2.1 Применение защиты из вольфрамовых сплавов в атомной промышленности и переработке отходов

1. Компоненты радиационной защиты для ядерных реакторов:

вольфрамовые сплавы широко используются на атомных электростанциях, исследовательских реакторах и экспериментальных установках на быстрых нейтронах для защиты от высокоэнергетического гамма-излучения и некоторых видов нейтронного излучения. Типичные области применения включают:

- Защитный слой между стержнями управления и отражателем;
- Оболочка источника нейтронов или гамма-источника;
- Структурная защита вокруг детекторов и систем управления.

Вольфрамовый сплав может обеспечить экранирующий эффект, эквивалентный или даже превосходящий свинцовый, в ограниченном пространстве, что делает ядерное устройство более компактным и улучшает системную интеграцию. В то же время, его коррозионная стойкость и радиационная стойкость превосходят обычные металлические сплавы, и он способен сохранять структурную стабильность в условиях длительных высоких температур и высокой радиации.

2. Применение в сфере обращения с ядерными отходами:

Вольфрамовый сплав также может использоваться в качестве защитного материала для контейнеров при временном хранении и транспортировке высокоактивных радиоактивных отходов. В частности, в случаях, когда требуется упаковка и транспортировка компонентов отработавшего топлива или медицинских нуклидов, находящихся в краткосрочной эксплуатации, защитные контейнеры или модули из вольфрамового сплава могут:

- Эффективно подавлять утечку высокоэнергетического гамма-излучения;
- Значительно сократить объем контейнера и повысить эффективность транспортировки;
- Уменьшить дозу облучения операторов радиационного оборудования.

Обработываемость вольфрамового сплава также позволяет проектировать изделия различной толщины, структуры или геометрии внутренних полостей по требованию, тем самым удовлетворяя требованиям к упаковке различных видов ядерных отходов.

3. Экологические преимущества замены свинцовых материалов:

в традиционной ядерной энергетике в качестве защитного материала в основном используется свинец, однако свинцовые материалы представляют серьёзный риск

COPYRIGHT AND LEGAL LIABILITY STATEMENT

загрязнения окружающей среды при переработке, транспортировке и утилизации. Вольфрамовый сплав не только нетоксичен и пригоден для вторичной переработки, но также обладает длительным сроком службы и высокой структурной целостностью, что соответствует требованиям современной ядерной промышленности к чистому производству и устойчивому развитию.

4.2.2 Применение защиты из вольфрамового сплава в промышленной визуализации и детектировании

1. Ключевые компоненты оборудования для радиографического неразрушающего контроля:

В аэрокосмической промышленности, автомобилестроении, механической обработке, производстве сосудов высокого давления и т. д. технологии промышленного неразрушающего контроля (НК) используют рентгеновское или гамма-излучение для визуализации и анализа внутренних дефектов материалов. Для контроля направления излучения и предотвращения его утечки, влияющей на оператора и окружающую среду, экранирование из вольфрамового сплава широко применяется в:

- Защита источников рентгеновского излучения и защита труб;
- Стационарный контейнер для источника гамма-излучения;
- экран излучения вокруг приемника изображения;
- Экранированный кожух на промышленном инспекционном роботе.

Точная обрабатываемость и высокая плотность позволяют использовать вольфрамовый сплав в сложных конструкциях, таких как направленные окна и гибкие соединения, обеспечивая высокое разрешение и высокую безопасность промышленного рентгеновского обнаружения.

2. Применение в промышленных системах визуализации в реальном времени:

системы рентгеновской визуализации в реальном времени широко используются при проверке упаковки электронных компонентов, проверке безопасности пищевых продуктов, анализе дефектов материалов и т. д. Вольфрамовый сплав, используемый в качестве коллиматора лучей и материала для экранирования фона в системе, может не только уменьшить обратное рассеяние, но и улучшить контрастность и чувствительность изображений, а также повысить точность обнаружения.

3. Тенденция развития гибких экранирующих компонентов:

С развитием автоматизации и интеллектуального производства промышленное оборудование выдвигает более высокие требования к компонентам радиационной защиты, таким как съемные экранирующие модули, гибкие вращающиеся экранирующие рычаги и т. д. Вольфрамовый сплав может использоваться для изготовления экранирующих деталей с точными канавками, отверстиями для вращающихся подшипников и сквозными отверстиями для кабелей благодаря его высокой точности обработки, что позволяет соответствовать эксплуатационным требованиям сложного оборудования.

COPYRIGHT AND LEGAL LIABILITY STATEMENT

4.2.3 Применение защиты из вольфрамового сплава в условиях повышенной радиации

1. Используется в цехах и лабораториях, работающих с радиоактивными материалами:

в области исследований физики высоких энергий, на заводах по переработке ядерного топлива, при производстве радиоактивных препаратов и т. д. работники могут подвергаться длительному воздействию радиации средней и высокой интенсивности. Защитные экраны из вольфрамовых сплавов обычно используются для:

- Локальная защита станций обработки проб;
- Открывающаяся защитная крышка радиационного окна;
- Внутренний экранированный короб для приборов управления и электрических систем.

Эти детали из вольфрамового сплава могут быть изготовлены по индивидуальному заказу в виде миниатюрных встраиваемых конструкций, что не только обеспечивает компактность оборудования, но и обеспечивает радиационную безопасность при сложных эксплуатационных процедурах.

2. Защита систем дистанционного управления и роботов:

В зонах с высоким уровнем радиации защитные компоненты из вольфрамового сплава также широко используются в роботизированных манипуляторах с дистанционным управлением, роботах-детекторах и беспилотном инспекционном оборудовании для обеспечения радиационной защиты основных цепей, датчиков и исполнительных механизмов. Например:

- Защитный чехол: используется для защиты инфракрасных или камерных линз;
- Поворотное экранированное сочленение: используется для роботизированных рук с высокой степенью свободы;
- Складной защитный экран: используется при работе вблизи источников высокой активности.

Вольфрамовый сплав обладает хорошими механическими свойствами, сохраняя при этом экранирующие возможности, что делает эти высокофункциональные устройства устойчивыми к ударам, радиации и рассчитанными на длительную эксплуатацию.

3. Испытательная платформа и устройство для моделирования условий высокой радиации:

перед проектированием ядерных энергетических систем, устройств радиационной защиты для аэрокосмической отрасли или оборудования для глубоководной разведки часто требуется создать платформу для моделирования радиационной обстановки. Защитные модули из вольфрамового сплава можно гибко компоновать для создания имитационных кабин, испытательных каналов, защитных стен и других конструкций, что позволяет исследователям проверять радиационную стойкость изделия в контролируемой среде и оптимизировать схему проектирования.

краткое содержание

COPYRIGHT AND LEGAL LIABILITY STATEMENT

Защитные элементы из вольфрамового сплава продемонстрировали высокую функциональную гибкость и безопасность в промышленной сфере. От высокоэнергетической защиты ядерных энергетических систем до высокоточного промышленного обнаружения, от контейнеров для перевозки ядерных отходов до радиационной защиты дистанционно управляемого оборудования – вольфрамовый сплав, благодаря своей превосходной плотности, механическим свойствам и экологическим преимуществам, представляет собой компактное, стабильное и долговечное решение для промышленных условий с высоким уровнем радиации.

Благодаря развитию экологичного производства, высокой надежности и точной интеграции, экранирование вольфрамовыми сплавами будет играть всё более важную роль в ключевых областях промышленности будущего. Его интеграция с искусственным интеллектом, дистанционным управлением и цифровым производством также обеспечит более безопасную, эффективную и интеллектуальную эксплуатацию в промышленных условиях с высоким уровнем радиации.

4.3. Детали экранирования из вольфрамового сплава в аэрокосмической отрасли

Авиационно-космическая отрасль является стратегическим направлением применения экранирующих деталей из вольфрамового сплава. Его уникальная высокая плотность, высокая температура плавления, превосходные характеристики радиационной защиты и термическая стабильность делают его важным компонентом таких ключевых направлений, как пилотируемая космонавтика, исследование дальнего космоса, защита электронного оборудования спутников и изоляция двигательных установок. В частности, в условиях экстремальных условий, таких как космические лучи, бури частиц высокой энергии, сверхвысокие температуры, аэродинамическое тепловое воздействие и условия микрогравитации, традиционные металлические материалы часто не способны справиться с ними, и вольфрамовый сплав стал одним из предпочтительных материалов благодаря своим комплексным характеристикам.

4.3.1 Применение защиты из вольфрамовых сплавов при исследовании дальнего космоса и защите спутников

1. Защита от космических лучей и солнечных энергичных частиц:

Космические аппараты, работающие на низкой околоземной орбите (НОО), средней околоземной орбите (СОО) и в условиях дальнего космоса, в течение длительного времени подвергаются воздействию космических лучей (КЛ) и солнечных энергичных частиц (СЭЧ). Эти высокоэнергетические частицы представляют значительную угрозу для электронного оборудования аэрокосмической техники, сенсорных систем и даже для здоровья астронавтов. Высокое атомное число и высокая плотность вольфрамового сплава обеспечивают его превосходную защиту от гамма-излучения, потока электронов и некоторых нейтронов, что

COPYRIGHT AND LEGAL LIABILITY STATEMENT

может эффективно ослабить поток частиц, снизить единичные сбои (SEU) и радиационный ущерб, наносимый материалу.

2. Локальная защитная конструкция электронного оборудования спутника:

В спутниках высокой надежности, таких как спутники связи, навигации и дистанционного зондирования, вольфрамовый сплав используется в качестве защитного экрана для следующих ключевых компонентов:

- Экранирование компонентов прецизионного оптического обнаружения;
- Радиационные барьеры для систем управления электропитанием;
- Защита от гамма-излучения и нейтронов для радионуклидных систем электроснабжения (типа РИТЭГ);
- Корпус для изоляции от окружающей среды СВЧ-компонентов и малошумящих усилителей.

Особенно в зондах дальнего космоса, используемых для ядерной энергетики (таких как Voyager, Curiosity и т. д.), вольфрамовый сплав может использоваться в качестве эффективного защитного материала между источниками радиоактивного тепла и другими системами для обеспечения долговременной и стабильной работы системы.

3. Облегченная конструкция для малых спутников и аэрокосмических электронных модулей:

современные CubeSat, NanoSat и другие микрокосмические аппараты предъявляют строгие требования к контролю веса. В этом контексте экранирующие элементы из вольфрамового сплава, обладающие высокой экранирующей способностью на единицу объема, позволяют добиться более высокой эффективности защиты в меньшем пространстве, обеспечивая оптимизацию конструкции и защиту от радиации для малых спутников, интегрирующих ключевые электронные устройства.

4.3.2 Применение защиты из вольфрамовых сплавов в теплоизоляции ракет и космических аппаратов

1. Штампованная изоляция и защита от аэродинамического теплового воздействия:

При входе космического корабля в атмосферу температура поверхности может превышать 2000 °С, поэтому система тепловой защиты (СТЗ) должна обладать чрезвычайно высокой устойчивостью к абляции и термической стойкостью. Вольфрамовый сплав имеет температуру плавления до 3422 °С, высокую теплопроводность и низкий коэффициент теплового расширения, что делает его идеальным защитным материалом для зон с высокой тепловой нагрузкой. Его типичные области применения:

- Высокотемпературная защита горловины и кромки сопла ракеты;
- Опорная рама или задний теплоотражатель конструкции теплового экрана;
- Модуль защиты хвостового пламени в двигательной установке;
- Средний уровень в иерархии теплозащиты многоэтажного транспортного средства.

COPYRIGHT AND LEGAL LIABILITY STATEMENT

В ходе аэродинамических испытаний на нагрев космических аппаратов с управляемым возвратом (таких как ступень возвращения Falcon 9 компании SpaceX) и космических самолетов компоненты из вольфрамового сплава комбинируются с материалами на основе керамики с помощью многослойных композитов для повышения общей стойкости к тепловым ударам и структурной стабильности.

2. Защитные и теплоизоляционные конструкции в двигательных установках:

Жидкостные ракетные двигатели, ионные двигатели, ядерные тепловые двигатели (ЯТД) и другие системы во время работы генерируют высокотемпературную плазму и лучистое тепло, которые оказывают негативное воздействие на окружающие конструкции и системы подачи топлива. Защитные кольца из вольфрамового сплава, вихревые кожухи и тепловые сепараторы могут:

- Частично экранировать инфракрасный тепловой поток;
- Предотвращать тепловое расширение и выход из строя топливной системы;
- Управляйте распределением тепловой нагрузки двигательной системы и продлевайте срок ее службы.

Вольфрамовый сплав также подходит для использования в качестве материала для анодов и ионопроводящих каналов в будущих мощных электродвигательных системах. В сочетании с превосходной электротермической стабильностью он может дополнительно повысить эффективность и безопасность системы.

4.3.3 Проверка эффективности защиты из вольфрамового сплава в условиях микрогравитации

1. Изменения поведения материала и проверка его адаптируемости в условиях микрогравитации:

В условиях микрогравитации могут изменяться теплопроводность, контактная поверхность, свариваемость и траектория распространения усталостных трещин. Вольфрамовый сплав относительно хрупкий и должен быть проверен на механическую и термическую стабильность в условиях микрогравитации, прежде чем его можно будет использовать в ключевых компонентах. В настоящее время Международная космическая станция (МКС) и экспериментальная платформа по космическим материалам провели несколько раундов испытаний образцов вольфрамового сплава в условиях микрогравитации:

- Измерение характеристик теплового расширения и сжатия;
- Анализ стабильности микроструктуры материала;
- Испытание на трещиностойкость после удара космических частиц;
- Поведение реакции на стресс в условиях многоциклового теплового удара и резкого изменения температуры.

Результаты показывают, что после оптимизации соотношения легирующих элементов (например, системы W-Ni-Fe или W-Re) и процесса уплотнения (например, горячего изостатического прессования) вольфрамовый сплав может сохранять хорошую термомеханическую стабильность сцепления и ударопрочность в условиях микрогравитации.

COPYRIGHT AND LEGAL LIABILITY STATEMENT

2. Испытание структурной интеграции скафандров и погрузочных устройств: Небольшие

экранирующие элементы из вольфрамового сплава, используемые для переноски оборудования скафандров и средств защиты персонала в кабине, также проходят испытания функциональной интеграции и эргономики на космической станции. В их функции входят:

- Предотвратить утечку радиации в кабине;
- Обеспечить защиту грудной клетки или головного мозга от кратковременного воздействия высокоэнергетических частиц;
- Интегрирован в комплекты для транспортировки материалов как компонент двойной функции (конструкция + защита).

3. Исследования по компоновке экранов для длительных пилотируемых космических миссий:

NASA, ESA и проект китайской космической станции изучают, как разместить экранирующие листы и модули из вольфрамового сплава внутри кабины во время пилотируемых космических полётов, чтобы создать временное укрытие (штормовое укрытие) на случай вспышки солнечной активности (SPE). Локальные характеристики встроенного вольфрамового сплава позволяют предварительно установить его на Земле или быстро собрать на орбите, создав пригодную для использования конструкцию укрытия, защищающую жизни астронавтов.

краткое содержание

Компоненты экранирования из вольфрамовых сплавов продемонстрировали свою незаменимую стратегическую ценность в аэрокосмической отрасли. В условиях экстремальных условий, таких как мощная радиация, экстремально высокие температуры, точная структура и аномальная гравитация, вольфрамовый сплав может не только обеспечить превосходные экранирующие характеристики, но и стать незаменимым ключевым компонентом ракет, спутников, космических аппаратов и дальнего космоса благодаря своей термической стабильности, механической прочности и обрабатываемости.

В будущем, с развитием технологий в области пилотируемого исследования дальнего космоса, космических ядерных двигателей, высокоскоростного входа в атмосферу и т. д., защита из вольфрамовых сплавов продолжит играть ключевую роль в более сложных и изменчивых сценариях применения. Композитные материалы, лёгкость и функциональная интеграция также станут важными направлениями исследований в материаловедении и аэрокосмической технике.

Другие новые области применения вольфрамовых сплавов для защиты

В связи с постоянным расширением новых сфер применения, обусловленным множеством факторов, таких как научные исследования, национальная безопасность и устойчивое развитие, экранирующие детали из вольфрамовых сплавов находят всё большее применение

COPYRIGHT AND LEGAL LIABILITY STATEMENT

как в традиционных областях медицины, промышленности и аэрокосмической отрасли, так и в таких передовых областях, как исследования физики элементарных частиц, высокоинтенсивная военная защита и экологичные технологии защиты окружающей среды. Высокая плотность, большое атомное число, превосходная радиационная стойкость и термическая стабильность позволяют ему по-прежнему выполнять надёжную функцию экранирования в чрезвычайно сложных условиях, становясь важным материалом для будущих междисциплинарных междисциплинарных применений.

4.4.1 Применение защиты из вольфрамового сплава в экспериментах по физике элементарных частиц

1. Защитные конструкции для высокоэнергетических ускорителей и систем детектирования:

В крупных экспериментальных установках для физики элементарных частиц, таких как Большой адронный коллайдер (LHC) Европейской организации ядерных исследований (ЦЕРН), Центр синхротронного излучения высоких энергий (HEPS) в Китае и Международный термоядерный экспериментальный реактор (ИТЭР), экспериментальное оборудование будет генерировать высокие потоки гамма-излучения, нейтронов и вторичных частиц. Эти излучения не только мешают экспериментальным измерениям, но и представляют опасность для исследователей и систем управления.

Экранирование из вольфрамового сплава широко применяется в:

- **Поглотитель пучка** : поглощает высокоскоростные потоки частиц с энергией до сотен ГэВ.
- **Защитная полость вокруг детекторов частиц** : например, защитный кожух гамма-излучения детекторов на жидком ксеноне;
- **Нейтронные буферы и защитные экраны для устройств, генерирующих нейтроны** ;
- **Структура для подавления интерференции мощного лазерного излучения в лазерно-плазменном ускорителе** .

Благодаря высокому значению Z вольфрама (74), его эффективность блокировки гамма-излучения высоких энергий значительно выше, чем у меди и стали, а его структура стабильна и не подвержена плавлению. Он является незаменимым ключевым материалом для создания экспериментальной платформы в области физики высоких энергий.

2. Сверхнизкое фоновое экранирование для экспериментов по обнаружению темной материи и нейтрино:

вольфрамовые сплавы также используются в экспериментах в условиях сверхнизкого фонового излучения, таких как:

- Проекты по обнаружению темной материи (такие как XENONnT и LUX-ZEPLIN);
- Эксперименты по измерению массы нейтрино (такие как KATRIN);
- Эксперимент по прецизионному измерению распада нейтрона и β -распада.

COPYRIGHT AND LEGAL LIABILITY STATEMENT

Эти эксперименты часто проводятся глубоко под землёй с целью обнаружения крайне слабых сигналов, поэтому уровень радиоактивности окружающих защитных материалов чрезвычайно высок. Использование **низкофонового вольфрамового сплава** (то есть изготовленного из высокочистого сырья с крайне низким уровнем радиоактивного загрязнения) позволяет создать эффективный защитный слой для эффективного подавления естественного фонового излучения и помех, вызванных космическими лучами.

4.4.2 Применение защиты из вольфрамового сплава в целях национальной обороны и безопасности

1. Защитные конструкции для устройств, связанных с ядерным оружием:

Вольфрамовые сплавы широко используются в оборонной промышленности, особенно для контролируемой защиты ядерного оружия, анализа данных подземных ядерных испытаний и создания систем радиационной защиты. Защита из вольфрамовых сплавов обладает следующими преимуществами:

- **Он обладает высокой эффективностью поглощения гамма-лучей и нейтронов** и может использоваться для защиты боеголовок и испытательных компонентов закрытых ядерных устройств;
- **Высокая ударопрочность**, может выдерживать взрывы и удары, сохраняя при этом целостность;
- **Используется в устройствах безопасности критичности**, таких как защитные кожухи отражателей плутония или урана.

2. Используется в военных средствах обнаружения и средствах ядерной, биологической и химической защиты:

в радиоэлектронной борьбе, ядерном обнаружении и защите от чрезвычайных ситуаций компоненты из вольфрамового сплава могут использоваться для:

- Защитные электронные модули для беспилотных платформ обнаружения ядерного излучения;
- Внутренняя структурная защита защитных шлемов и переносных ядерных детекторов;
- Радиационная защита оптических трактов и чувствительных компонентов лазерных оружейных систем.

Например, в некоторых **военных носимых жилетах радиационной защиты** начали использовать утяжеляющие модули из вольфрамового сплава для замены традиционных свинцовых пластин с учетом как эффективности экранирования, так и удобства ношения.

3. Изучение возможностей применения в области борьбы с терроризмом и взрывозащиты:

в связи с растущим спросом на обеспечение безопасности в городах, а также предотвращение и контроль террористических атак, материалы из сплавов вольфрама также изучаются для применения в:

COPYRIGHT AND LEGAL LIABILITY STATEMENT

- Взрывобезопасная стена и камера изоляции радиоактивных материалов;
- Мобильное устройство захвата радиоактивных источников;
- Контейнер для аварийной утилизации радиоактивных материалов (используется для управления чрезвычайными ситуациями в аэропортах, метрополитенах и общественных местах).

Его легко настраиваемая структура, ударопрочность и устойчивость к коррозии делают его практичным в сценариях быстрого реагирования.

4.4.3 Потенциал экранирования вольфрамовыми сплавами в технологиях защиты окружающей среды

1. Мониторинг и контроль радиационного загрязнения окружающей среды:

В системах мониторинга окружающей среды, особенно в зонах ядерных аварий, на заброшенных ядерных объектах, при управлении урановыми рудниками, в местах хранения радиоактивных отходов и в других ситуациях, необходимо осуществлять точный мониторинг гамма-излучения и нейтронного излучения окружающей среды, а также устанавливать физические барьеры. Защита из вольфрамовых сплавов может использоваться для:

- Защита радиационных зондов для местных станций мониторинга окружающей среды;
- Модульная защита хранилищ ядерных отходов;
- Структура барьера источника γ в фильтрате урановых хвостохранилищ.

По сравнению с традиционными материалами, такими как сталь и свинец, он не только обладает более высокой эффективностью экранирования, но и снижает риск вторичного загрязнения.

2. Экологичная и безопасная для окружающей среды тенденция к замене свинца:

В глобальном масштабе, в связи с ужесточением экологических норм, регулирующих загрязнение свинцом (таких как директивы ЕС RoHS, REACH, Агентства по охране окружающей среды США и т.д.), вольфрамовый сплав стал важным направлением в разработке экологически чистых альтернативных материалов благодаря своим преимуществам: нетоксичности, пригодности к переработке и контролируемой плавке. В некоторых странах он включен в систему экологически чистых радиационных материалов, например:

- Экологичное рентгеновское оборудование (экран из вольфрамового сплава вместо свинцовой оболочки);
- Экологически чистые контейнеры для перевозки ядерных медицинских отходов;
- Модуль многоразовой защиты из вольфрамового сплава.

3. Совместное применение с системами возобновляемой энергии:

При разработке термоядерной энергетики (например, токамака) и современных реакторов деления вольфрамовые сплавы используются не только в качестве экранов, но и в качестве материалов для первой стенки плазменного реактора, слоев замедления нейтронов и т.

COPYRIGHT AND LEGAL LIABILITY STATEMENT

д., а также тесно интегрированы с технологиями чистой энергии. Например, в проекте ИТЭР вольфрам будет использоваться в ключевых областях для защиты от воздействия высокоэнергетических нейтронов, а также в качестве экранирующих и конструкционных композитных функциональных компонентов.

краткое содержание

Детали из вольфрамовых сплавов для экранирования постепенно выходят за рамки традиционных областей применения и демонстрируют широкие перспективы развития в таких новых областях, как эксперименты в области физики элементарных частиц, обеспечение национальной безопасности и экологическое управление. Благодаря своей уникальной плотности, высокой эффективности экранирования, хорошей механической стабильности и экологичности он становится важной платформой для будущих междисциплинарных кросс-технологий.

Благодаря постоянному совершенствованию технологий очистки материалов, экологичного производства и литья под заказ, вольфрамовые сплавы будут играть всё более важную роль в физике высоких энергий, экстремальных военных условиях, предотвращении и контроле радиоактивного загрязнения, а также в новых энергетических системах. Устойчивое развитие вольфрамовых экранов также будет сочетаться с научно-техническим прогрессом, обеспечением безопасности и целями экологического управления, открывая более широкие и сложные возможности для их применения.

COPYRIGHT AND LEGAL LIABILITY STATEMENT

CTIA GROUP LTD

High-Density Tungsten Alloy Customization Service

CTIA GROUP LTD, a customization expert in high-density tungsten alloy design and production with 30 years of experience.

Core advantages: 30 years of experience: deeply familiar with tungsten alloy production, mature technology.

Precision customization: support high density (17-19 g/cm³), special performance, complex structure, super large and very small parts design and production.

Quality cost: optimized design, optimal mold and processing mode, excellent cost performance.

Advanced capabilities: advanced production equipment, RMI, ISO 9001 certification.

100,000+ customers

Widely involved, covering aerospace, military industry, medical equipment, energy industry, sports and entertainment and other fields.

Service commitment

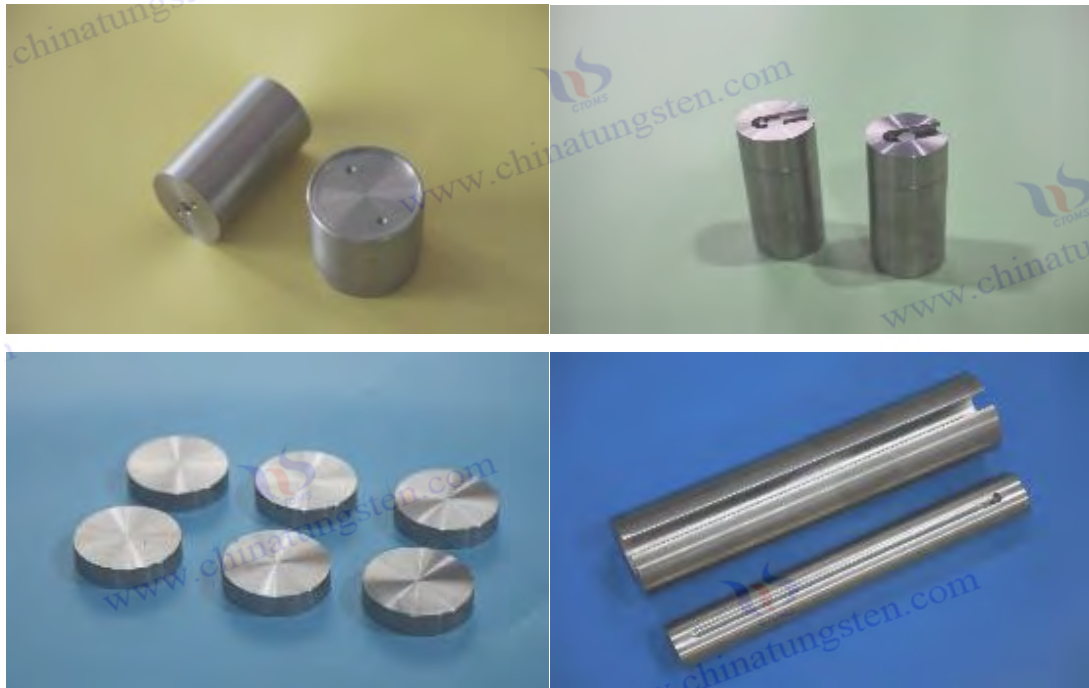
1 billion+ visits to the official website, 1 million+ web pages, 100,000+ customers, 0 complaints in 30 years!

Contact us

Email: sales@chinatungsten.com

Tel: +86 592 5129696

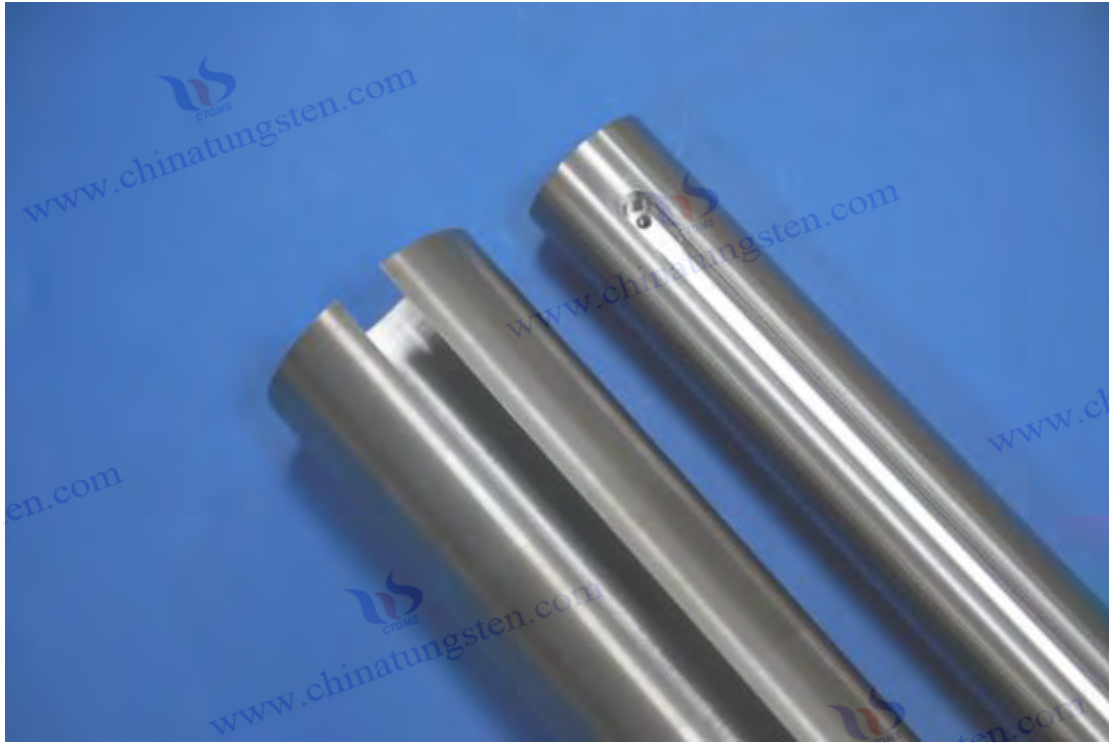
Official website: www.tungsten-alloy.com



COPYRIGHT AND LEGAL LIABILITY STATEMENT

Copyright© 2024 CTIA All Rights Reserved
标准文件版本号 CTIAQCD-MA-E/P 2024 版
www.ctia.com.cn

电话/TEL: 0086 592 512 9696
CTIAQCD-MA-E/P 2018-2024V
sales@chinatungsten.com



Глава 5. Проблемы и решения экранирования вольфрамовым сплавом

5.1 Стоимость и управление цепочкой поставок экранирующих деталей из вольфрамового сплава

В связи с широким применением вольфрамовых сплавов в медицинской, промышленной, аэрокосмической и оборонной сферах, обеспечение контролируемых производственных затрат и стабильной системы поставок при обеспечении высокой производительности стало ключевым вопросом, волнующим производителей материалов и конечных потребителей. Поскольку сам вольфрам является редким ресурсом, затраты на его выплавку и изготовление сплавов относительно высоки, а требования к технологии обработки строги, необходимо систематически контролировать затраты и оптимизировать процессы закупки сырья, построения цепочки поставок, методов серийного производства и других звеньев.

5.1.1 Оптимизация стоимости сырья для изготовления экранирующих деталей из вольфрамового сплава

1. Структура себестоимости вольфрамового сырья

В структуре себестоимости экранирующих деталей из вольфрамовых сплавов сырье составляет около 60–70% от общей стоимости. К основным видам сырья относятся:

- Вольфрамовый порошок (W): Цена на высокочистый вольфрамовый порошок напрямую определяет окончательную стоимость сплава и значительно колеблется в зависимости от добычи вольфрама, международных рыночных условий и политики.

COPYRIGHT AND LEGAL LIABILITY STATEMENT

- Легирующие элементы: обычно добавляют Ni, Fe, Cu, Re, La и т. д. Различные соотношения и требования к чистоте влияют на цену сырья.
- Очистка и просеивание: Вольфрамовый порошок обычно проходит такие этапы, как восстановление, грануляция, сортировка и сушка, что увеличивает себестоимость единицы материала.

2. Стратегия оптимизации

1. Использование вторичных ресурсов и переработанного вольфрамового порошка

позволяет использовать **переработанные вольфрамовые отходы (такие как отходы вольфрамовой проволоки, вольфрамовые электроды и старые экранирующие детали)** для производства переработанного вольфрамового порошка высокой чистоты методом гидрометаллургии или окислительно-восстановительного метода, что позволяет не только снизить стоимость сырья на 10–20 %, но и соответствует тенденциям защиты окружающей среды и устойчивого производства.

2. Оптимизировать соотношение сплавов

, соблюдая требования к экранированию и механической прочности, а также заменить некоторые дорогостоящие элементы посредством проверки технологического процесса. Например:

- Заменить систему Ni-Cu на Ni-Fe;
- Точно контролировать количество добавляемого Re для снижения стоимости высокотемпературных материалов;
- Используйте конструкции, армированные частицами, для замены некоторых дорогостоящих элементов.

3. Стратегия закупки сырья с несколькими спецификациями

подразумевает закупку сырья разных сортов в соответствии с различными типами экранирующих деталей (например, медицинская, аэрокосмическая и промышленная защита), например:

- Для медицинского применения требуется порошок вольфрама высокой чистоты ($\geq 99,95\%$);
- Для промышленного использования можно использовать небольшое количество коммерческого вольфрамового порошка с немного более высоким содержанием кислорода, чтобы контролировать цену за грамм.

4. Механизмы совместных закупок и долгосрочных соглашений, а также

подписание долгосрочных контрактов на поставку с компаниями, занимающимися порошковой металлургией или горнодобывающими предприятиями, могут помочь снизить риск колебаний цен на сырье и повысить переговорные позиции.

5.1.2 Стратегия диверсификации цепочки поставок экранирующих деталей из вольфрамового сплава

1. Анализ уязвимости цепочки поставок

COPYRIGHT AND LEGAL LIABILITY STATEMENT

Ресурсы вольфрама имеют высокую концентрацию: на Китай, Россию, Боливию и другие страны приходится более 70% мирового производства вольфрамового концентрата. Кроме того, некоторые страны ввели экспортный контроль, квотирование или политику стратегического резервирования в отношении вольфрамовой продукции, что делает отрасль производства вольфрамовых сплавов уязвимой к различным факторам, таким как геополитика, тарифная политика и транспортные ограничения.

Кроме того, цепочка производства вольфрамовых сплавов довольно длинная: добыча руды, получение вольфрамового порошка, прессование сплава, спекание, механическая обработка, термическая обработка и обработка поверхности. Нестабильность в любом звене процесса приведёт к увеличению стоимости или задержкам поставок.

2. Стратегия диверсифицированной компоновки

1. Несколько каналов поставок сырья развернуты параллельно

- Закупка вольфрамового порошка и вспомогательных металлов по двойным каналам в стране и за рубежом;
- страны Юго-Восточной Азии и Африки, богатые вольфрамом, с целью снижения индивидуальной зависимости;
- Изучите возможность использования порошков средней чистоты из нетрадиционных рынков для непрофильной продукции.

2. Строительство региональных центров обработки Создание центров обработки деталей из вольфрамового сплава или цехов модульной сборки вблизи центров по производству медицинского оборудования или промышленных центров позволяет выполнять обработку на станках с ЧПУ, сборку и контроль качества на месте, сокращая затраты на логистику и промежуточные запасы.

3. Ключевые звенья процесса сбалансированы

между самоконтролем и аутсорсингом для достижения собственных производственных мощностей для основных звеньев (таких как спекание и прецизионная механическая обработка), а гибкое распределение мощностей достигается за счет стратегического аутсорсинга для неосновных процессов (таких как черновая механическая обработка и обработка поверхности), тем самым повышая гибкость всей цепочки поставок.

4. Цифровая платформа управления цепочками поставок

использует системы ERP и MES для цифрового мониторинга всего процесса закупки сырья, уровней запасов, доставки заказов и отслеживания качества, повышая прозрачность информации и эффективность совместной работы, а также сокращая избыточность цепочки поставок.

5.1.3 Экономические преимущества крупномасштабного производства экранирующих деталей из вольфрамового сплава

1. Соотношение между массовым производством и себестоимостью единицы продукции

COPYRIGHT AND LEGAL LIABILITY STATEMENT

Изготовление экранирующих деталей из вольфрамового сплава – сложный процесс, требующий множества этапов прецизионной обработки и высокотемпературной обработки, а также значительных инвестиций в оборудование. Однако после повышения коэффициента использования мощностей и стандартизации процесса достигается очевидная **экономия за счёт масштаба**, которая, в частности, проявляется следующим образом:

- Более эффективное использование материалов (отходы можно перерабатывать);
- Формы, инструменты и приспособления можно использовать повторно, чтобы распределить затраты;
- Для повышения эффективности производства параллельно используются печи термической обработки и многопозиционные обрабатывающие центры;
- Стандартизируйте операции и процессы контроля качества, чтобы сократить эксплуатационные потери и затраты на доработку.

Согласно отраслевому опыту, **если ежемесячный выпуск превышает 1000 изделий** (в зависимости от сложности деталей), себестоимость единицы продукции может быть снижена на 15–30%.

2. Совместная оптимизация настройки и стандартизации

Хотя детали защиты из вольфрамового сплава в основном изготавливаются по индивидуальному заказу, благодаря модульной конструкции и сборке стандартных деталей можно предусмотреть возможность изготовления на заказ небольших партий и совместного производства крупных партий стандартных деталей:

- Разработать стандартные защитные модули с унифицированными интерфейсами и габаритами;
- Персонализированные функции могут быть достигнуты путем замены внутренних структур или функциональных компонентов;
- Внедрить **напечатанные на 3D-принтере образцы экранирования из вольфрамового сплава** в качестве средства ранней разработки прототипа для сокращения инвестиций в опытное производство и цикла его проведения.

Такая параллельная стратегия «стандарт + кастомизация» помогает контролировать затраты на НИОКР и проверку, повышать скорость реагирования на запросы клиентов и усиливать конкурентоспособность на рынке.

3. Синергетический рост, обусловленный рынком и технологиями

С повышением мировых стандартов радиационной безопасности и расширением рынков высококачественного производства, защитные детали из вольфрамового сплава постепенно выходят на массовый рынок среднего и высокого класса, такой как промышленное оборудование, гражданские испытания и носимые устройства из высококлассного нишевого рынка «мелкосерийного производства, сильная кастомизация», способствуя следующим тенденциям:

- На рынке интеллектуального медицинского диагностического оборудования наблюдается большой спрос на миниатюрные защитные конструкции;

COPYRIGHT AND LEGAL LIABILITY STATEMENT

- Закупка универсальных модулей для опорных частей оборудования лучевой дефектоскопии промышленной автоматики;
- Потребление компонентов из вольфрамовых сплавов для аэрокосмических военных платформ неуклонно растет.

Этот колоссальный рост рыночного спроса, в свою очередь, стимулирует постоянную оптимизацию производственных процессов и постоянное снижение затрат, формируя положительный цикл.

краткое содержание

Вольфрамовые экраны незаменимы в сфере производства высокоэффективных материалов, а их возможности управления затратами и цепочками поставок напрямую определяют конкурентоспособность предприятий на мировом рынке. Оптимизация выбора и соотношения сырья, создание диверсифицированной и надежной сети поставок, а также содействие внедрению крупномасштабных производственных моделей позволяют не только эффективно контролировать производственные затраты и повышать эффективность поставок, но и повышать устойчивость предприятий к рискам и способность к техническому обслуживанию реагировать на возникающие ситуации.

В будущем, с применением переработанного вольфрамового порошка, развитием технологий зеленой металлургии и промышленной цифровизацией, производство защитных деталей из вольфрамовых сплавов станет более эффективным, гибким и устойчивым, что заложит прочную основу для его популяризации и применения в более широком спектре областей.

5.2 Точность обработки и технические сложности изготовления экранирующих деталей из вольфрамового сплава

Вольфрамовый сплав – типичный труднообрабатываемый материал. При изготовлении экранирующих деталей из вольфрамового сплава необходимо не только преодолеть трудности резки и формовки, обусловленные его высокой твердостью, хрупкостью и плотностью, но и добиться высокой точности изготовления и превосходного качества поверхности сложных конструкций. Эти задачи требуют комплексной оптимизации конфигурации оборудования, выбора инструмента, параметров обработки, технологий постобработки и т.д., а также внедрения передовых производственных технологий, таких как аддитивное производство (3D-печать), для преодоления узких мест традиционных технологий обработки.

5.2.1 Проблемы обработки материалов высокой твердости для экранирования вольфрамовыми сплавами

1. Особенности и трудности обработки вольфрамовых сплавов

Вольфрамовый сплав обычно относится к сплаву высокой плотности, состоящему из вольфрама (W) в качестве матрицы и определённого количества Ni, Fe, Cu, Re и других металлов. Его типичные характеристики включают:

COPYRIGHT AND LEGAL LIABILITY STATEMENT

- **Высокая твердость и высокая температура плавления** : твердость до 320~380 HV, температура плавления более 3400 °C;
- **Высокая хрупкость и плохая пластичность** : особенно склонны к разрушению кромок или растрескиванию при низких температурах или без отжига;
- **Высокая плотность и высокая теплопроводность** : создают дополнительные проблемы инерционности и терморегулирования для технологического оборудования;
- **Легко окисляется и закаляется поверхность** : легко образуется оксидный слой или спеченная твердая оболочка во время высокотемпературной резки или шлифования.

2. Проблемы традиционных технологий обработки

1. Точение и фрезерование.

Вольфрамовый сплав испытывает большое сопротивление при точении и фрезеровании. К распространённым проблемам относятся:

- Инструмент быстро изнашивается, а срок службы обычных твердосплавных инструментов короток;
- На обработанной поверхности вероятно возникновение микротрещин или разрушение кромок;
- При резке выделяется концентрированное тепло, что может легко привести к термической деформации;
- Удаление стружки затруднено, а сама стружка короткая и твердая, что может привести к повреждению инструмента или заготовки.

Контрмеры : использовать покрытые керамические инструменты и алмазные инструменты; оптимизировать тип и поток смазочно-охлаждающей жидкости; контролировать величину единичной подачи и глубину резания; внедрять низкоскоростные станки с высоким крутящим моментом.

2. Шлифование и электроэрозионная обработка (ЭЭО)

Вольфрамовый сплав подходит для достижения геометрической точности с помощью тонкого шлифования и ЭЭО, но есть и проблемы:

- Высокая степень шлифования, сильный износ шлифовального круга;
- В процессе электроэрозионной обработки легко образуются поверхностные микротрещины и разрядные раковины;
- Чрезмерная зона термического влияния (ЗТВ) приводит к снижению механических свойств.

Методы улучшения : использование сверхтвердых шлифовальных кругов (например, CBN, алмазных); многократное тонкое шлифование для контроля износа шлифовального круга; использование импульсной электроэрозионной обработки для контроля подвода тепла; и последующая обработка для удаления слоя, подвергнувшегося термическому воздействию.

5.2.2 Потенциал применения технологии 3D-печати для защиты от вольфрамовых сплавов

COPYRIGHT AND LEGAL LIABILITY STATEMENT

1. Преимущества аддитивного производства для защиты от вольфрамовых сплавов

Вольфрамовый сплав имеет сложную структуру, высокие требования к точности и малые припуски на обработку, что позволяет решать традиционные технологические задачи с помощью аддитивного производства (АП). Его основные преимущества включают:

- **Свободная конфигурация** : подходит для экранирования модулей сложной конструкции каналов и встроенных полостей;
- **Сокращение отходов материала** : сырье из вольфрамового сплава высокой плотности стоит дорого, а 3D-печать позволяет добиться почти конечной формы;
- **Повышает точность обработки**: подходит для индивидуального производства небольших партий и высокосложных изделий;
- **Оптимизированное управление термическими напряжениями** : послойное нанесение контролирует подвод тепла и снижает риск термического растрескивания.

2. Ключевой технологический путь

1. Селективное лазерное плавление (СЛП).

В настоящее время основной технологией 3D-печати вольфрамовыми сплавами является СЛП, при которой порошки вольфрамового сплава выборочно плавятся под действием высокоэнергетического лазерного луча и накапливаются слой за слоем для получения компонентов высокой плотности (>98%). Проблемы включают:

- Сфероидизация порошка и контроль текучести;
- для взлома необходим контроль температуры и скорости;
- Постобработка для снятия внутренних напряжений и повышения прочности.

2. Электронно-лучевая плавка (ЭЛП) в сочетании с технологией горячего изостатического прессования (ГИП). ЭЛП

подходит для материалов с высокой температурой плавления и не подвержена окислению в атмосфере обработки. В сочетании с ГИП она позволяет дополнительно устранить поры и микротрещины, а также повысить плотность и механическую прочность.

3. Технология струйной обработки связующего + спекания

используется для изготовления небольших компонентов защиты с низкими требованиями к прочности конструкции, таких как переносные модули защиты или компоненты нейтронных труб. Этот метод отличается низкой стоимостью производства и высокой скоростью, а также подходит для массового производства.

3. Технические проблемы и пути их решения

- **Контроль остаточного напряжения** : оптимизация стратегии сканирования и системы предварительного нагрева;
- **Сложность приготовления порошка** : Разработать вольфрамовый порошок с низким содержанием кислорода и высокой сферичностью;
- **Высокая чувствительность к растрескиванию после формовки** : разработать пригодные для печати вольфрамовые сплавы с определенной пластичностью, такие как W-Ni-Fe;

COPYRIGHT AND LEGAL LIABILITY STATEMENT

- **Проблемы размерной стабильности** : разработать механизм коррекции для связи между печатью, термообработкой и механической обработкой.

5.2.3 Контроль точности и качества поверхности экранирующих деталей из вольфрамового сплава

1. Требования к контролю точности обработки

Детали экранирования из вольфрамового сплава должны обладать высокой точностью формы и положения, а также прочностью соединений. Типичные требования включают:

- Допуск соосности и плоскостности $<0,02$ мм;
- Погрешность размера отверстия $\pm 0,01$ мм;
- Тонкостенные детали должны обладать высокой устойчивостью к деформации;
- При стыковке нескольких модулей необходимо сохранять структурную симметрию и герметичность.

2. Стратегия улучшения качества поверхности

1. Стратегия финишной обработки

использует высокоточный обрабатывающий центр с ЧПУ в сочетании с малой подачей, малой глубиной резания, достаточным количеством охлаждающей жидкости и специальной системой креплений для эффективного снижения ошибок, вызванных термической деформацией и вибрацией.

2. Для высококачественных экранирующих деталей с требованиями к шероховатости поверхности Ra 0,2–0,8 мкм электрохимическая полировка и микродробеструйная обработка часто используют

специальный электролит на основе вольфрамового сплава для гомогенизации поверхности с целью удаления микротрещин и следов порезов. В сочетании со стеклянными шариками или керамической дробеструйной обработкой это может повысить поверхностное сжимающее напряжение и усталостную прочность.

3. Оптимизация покрытия поверхности и гальванизации

- Для экранирования деталей медицинского оборудования могут быть добавлены нетоксичные покрытия, такие как TiN и CrN ;
- Защитные компоненты аэрокосмической техники могут использовать керамические покрытия, такие как SiC и ZrO₂, для улучшения отражения тепла и антиокислительных свойств;
- Для снижения электромагнитных потерь в соответствии с требованиями электромагнитной совместимости (ЭМС) может быть добавлено токопроводящее покрытие из никеля и меди.

4. Технология неразрушающего контроля поверхностных дефектов

включает ультразвуковое сканирование, рентгеновский неразрушающий контроль, трехкоординатные измерения (КИМ) и оптический интерферометр для обеспечения соответствия основных размеров и условий сопряжения стандартам проектирования.

COPYRIGHT AND LEGAL LIABILITY STATEMENT

краткое содержание

Детали экранирования из вольфрамового сплава являются ключевыми звеньями, определяющими их эксплуатационную надежность и инженерную адаптируемость. От резки сырья до высокоточного литья и, наконец, передовых разработок в области аддитивного производства, вся технологическая цепочка сталкивается с проблемами, связанными с высокотвёрдыми материалами и сложностями производства сложных конструкций.

Благодаря оптимизации традиционных процессов, внедрению новых технологий 3D-печати, а также совершенствованию методов прецизионности и контроля поверхности, точность обработки экранирующих деталей из вольфрамовых сплавов постоянно повышается. В будущем, благодаря разработке высокопроизводительных инструментальных материалов, совершенствованию библиотек параметров аддитивного производства и применению интеллектуальных систем обнаружения, высокоточное производство экранирующих деталей из вольфрамовых сплавов станет более экономичным, адаптивным и воспроизводимым, что будет способствовать их устойчивому развитию в сфере высокотехнологичного производства, передовой медицины и исследования дальнего космоса.

5.3 Вопросы стандартизации и сертификации экранирования вольфрамовыми сплавами

Защитные элементы из вольфрамового сплава широко используются в таких ключевых областях, как медицинское оборудование, промышленное обнаружение, аэрокосмическая промышленность и ядерная защита, поэтому их производство и применение должны соответствовать ряду научных, унифицированных и реализуемых систем стандартов. Однако в современной отрасли существуют такие проблемы, как разрозненность стандартов, недостаточное взаимное признание стандартов между странами и отсутствие систематической системы сертификации для новых «интеллектуальных защитных элементов», что создает значительные трудности для международной торговли, обмена продукцией, оценки качества и контроля безопасности.

В этой главе основное внимание будет уделено основным вопросам построения стандартных систем, изучению различий между действующими международными и внутренними стандартами, прогрессу в стандартизации интеллектуальных компонентов экранирования из вольфрамового сплава и возможным путям содействия глобальному сотрудничеству и унифицированным стандартам.

Различия между международными и отечественными стандартами на экранирование вольфрамовыми сплавами

1. Обзор существующих стандартов

COPYRIGHT AND LEGAL LIABILITY STATEMENT

В мире не существует единого независимого стандарта на экранирующие детали из вольфрамовых сплавов. Соответствующие технические условия в основном разбросаны по следующим областям:

- **Общие стандарты на материалы** : такие как ASTM B777 (стандартная спецификация для тяжелых вольфрамовых сплавов), ISO 9001 (система менеджмента качества), GB/T 14841 (классификация вольфрама и вольфрамовых сплавов);
- **Стандарты, ориентированные на применение** :
 - Медицинская радиационная защита: IEC 60601, ISO 11137, YY/T 1554;
 - Защита атомной промышленности: ISO 7195 (ядерные материалы), МАГАТЭ RSG-1.7;
 - Промышленное рентгеновское оборудование: ASTM E181, GB/T 19802;
- **Стандарты обработки и испытаний** : такие как ISO 2768 (допуски), GB/T 16865 (метод испытания изделий из спеченного металлического порошка), ASTM E10 (испытание твердости по Бринеллю) и т. д.

Несмотря на то, что вольфрамовый сплав приобретает все большую значимость в качестве защитного материала из-за его сильных междисциплинарных свойств и сложных сценариев применения, независимая, систематическая и применимая в отрасли **система стандартов для защитных деталей из вольфрамового сплава до сих пор не создана** .

2. Различия между китайскими и зарубежными стандартами

1. Различные методы наименования и классификации :

международные стандарты в основном основаны на плотности материала и классификации компонентов (например, класс 1-4 в ASTM B777), в то время как китайские стандарты часто разделяются по методам обработки и классам (например, сплав W-Ni-Fe, серия WCu), что приводит к расхождениям в наименовании и применимости одного и того же материала.

2. Показатели эффективности, очевидно, различаются :

для аналогичных защитных материалов из вольфрамовых сплавов зарубежные стандарты предъявляют более строгие требования к радиационной стойкости, постоянству плотности и неразрушающему контролю. Например, ASTM B777 устанавливает допустимую погрешность плотности $\pm 0,1$ г/см³, в то время как некоторые отечественные стандарты допускают погрешность $\pm 0,3$ г/см³.

3. Различные методы испытаний и стандарты оборудования :

некоторые международные стандарты предусматривают использование передовых компьютерных томографов, трёхмерных рентгеновских изображений и полностью автоматизированных систем КИМ, в то время как некоторые отечественные компании по-прежнему в основном используют ручные испытания и выборочные испытания. Различия в применении стандартов создают множество препятствий для сертификации продукции для внешней торговли.

4. Несоответствие экологических стандартов и стандартов безопасности :

зарубежные стандарты делают акцент на требованиях по защите окружающей среды от использования опасных веществ (RoHS), REACH и отсутствии свинца, в то время

COPYRIGHT AND LEGAL LIABILITY STATEMENT

как Китай в настоящее время требует дополнительных инструкций по экологической сертификации при экспорте медицинских и экологически безопасных экранирующих деталей, что увеличивает экспортные расходы и время процесса сертификации.

5.3.2 Проблемы стандартизации интеллектуальных экранирующих деталей из вольфрамового сплава

С развитием технологий контроля радиации, микроэлектроники и датчиков материалов интеллектуальные защитные элементы из вольфрамового сплава постепенно находят применение в высокотехнологичной медицине, космических аппаратах, интеллектуальных реакторах атомной энергетики и других областях. Такие защитные элементы обычно обладают следующими характеристиками:

- **Датчики и системы мониторинга** : восприятие в реальном времени интенсивности излучения, температуры, вибрации и т. д.;
- **Механизм адаптивного реагирования** : регулировка угла экранирования посредством деформации структуры материала или компонентов с электронным управлением;
- **Функция связи и сбора данных** : реализация управления связью с верхней системой управления.

Эти новые характеристики означают, что традиционная система стандартов материалов, основанная на «физической форме» и «индексе плотности», больше недостаточна для всесторонней оценки качества и безопасности продукции.

В настоящее время основные пробелы в стандартах сосредоточены в следующих областях:

1. **«Характеристики интеллектуального экранирования» не имеют системы показателей оценки** , таких как точность обнаружения, устойчивость к электромагнитным помехам, время задержки отклика, уровень безопасности данных и т. д.;
2. **Отсутствие стандартов для композитных конструкций** : не существует систематического метода оценки механической стабильности, прочности интерфейса, а также совместимости теплового расширения и сжатия многослойных структурных экранирующих компонентов «вольфрамовый сплав + датчик + покрытие»;
3. **Отсутствие стандартов интеграции программного и аппаратного обеспечения** : например, отсутствуют единые стандарты интерфейсов передачи данных, электромагнитной совместимости и протоколов функциональной проверки;
4. **Испытания жизненного цикла продукции и сертификация видов отказов еще не проведены** : отсутствуют технические спецификации для прогнозирования срока службы компонентов интеллектуального экранирования, оценки старения и стабильности в экстремальных условиях.

Путь исследования:

COPYRIGHT AND LEGAL LIABILITY STATEMENT

- Под руководством лидеров отрасли, университетов и научно-исследовательских институтов совместно разработаны «Общие технические условия на интеллектуальные компоненты экранирования из вольфрамового сплава»;
- Обращение к стандартной структуре МЭК и ИСО в области интеллектуальных терминалов и медицинских приборов для создания высокосовместимой модели сертификации;
- Включить показатели оценки искусственного интеллекта в такие области, как прогностическое обслуживание и предупреждение неисправностей, чтобы расширить границы стандартных определений.

Глобальное сотрудничество и стандартизация экранирующих деталей из вольфрамового сплава

1. Содействовать развитию механизма взаимного признания стандартов.

В настоящее время экспорт защитных деталей из вольфрамового сплава сталкивается с препятствиями в плане сертификации во многих странах, такими как:

- **Сертификация EU CE** требует дополнительных требований RoHS и ISO 13485;
- **FDA/NRL США** требует предоставления подробных отчетов об испытаниях на безопасность;
- **В японской системе сертификации METI** особое внимание уделяется утечке электромагнитных полей и оценке экологических рисков;
- **Сертификация CCC в Китае** пока не распространяется на такую продукцию.

Эффективность и доверие к трансграничной торговле защитными деталями из вольфрамового сплава значительно возрастут.

Метод Push:

- Создание международных альянсов лабораторий по испытанию материалов (например, присоединение к ILAC-MRA);
- Содействовать двустороннему преобразованию стандартов между ISO/ASTM/IEC и другими организациями, а также Национальным управлением по стандартизации Китая;
- Поощрять ведущие отечественные предприятия к тому, чтобы они взяли на себя инициативу в предложении проектов международных стандартов и продвижении китайских решений по всему миру.

2. Создание глобальной стандартной платформы для совместной работы

Производственные мощности по производству компонентов экранирования из вольфрамовых сплавов в мире сосредоточены преимущественно в Китае, Германии, США, Японии и Южной Корее, однако стандартная коммуникация относительно слаба. Рекомендуется усилить синергетический эффект следующими способами:

1. **Создание международных альянсов по отраслевому сотрудничеству**, таких как «Глобальный комитет по стандартам экранирования вольфрамовыми сплавами»

COPYRIGHT AND LEGAL LIABILITY STATEMENT

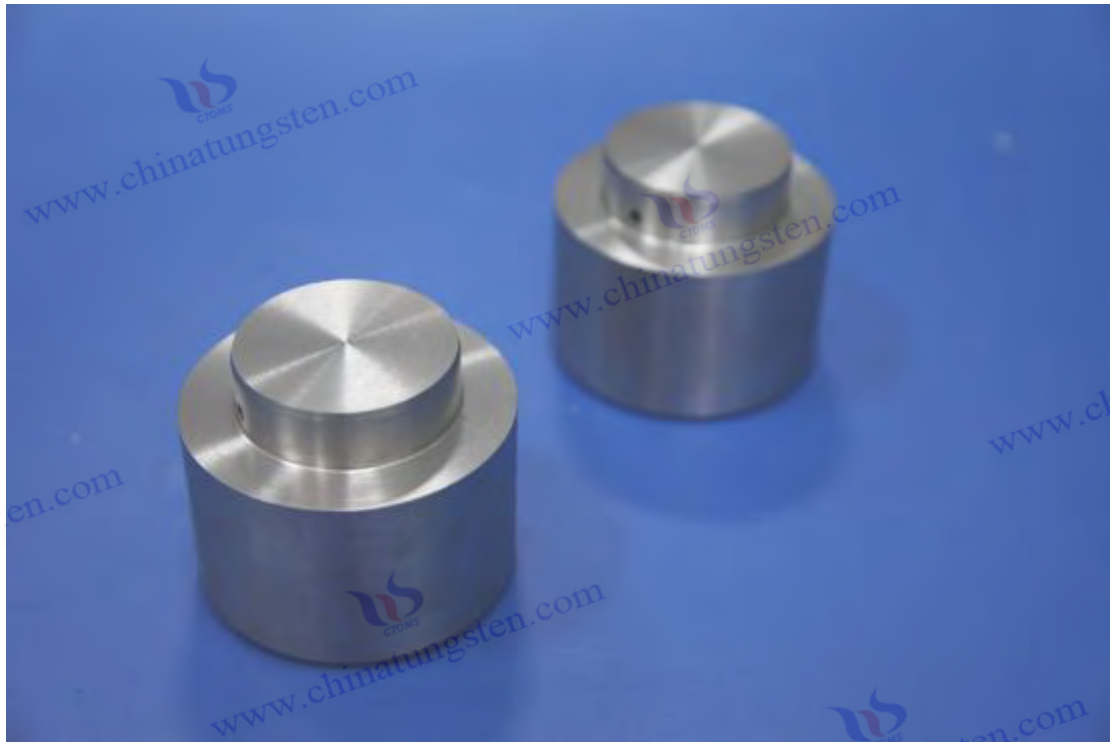
- (WASCC)», охватывающий разработку стандартов, обмен данными, проверку испытаний, защиту интеллектуальной собственности и т. д.;
2. **Организовывать регулярные международные форумы и семинары по стандартам** для привлечения представителей регулирующих органов, производителей и пользователей из разных стран;
 3. **Содействовать открытому доступу к стандартам** и поощрять исследователей, инженеров и органы сертификации к участию в процессе обновления стандартов;
 4. **Разработать международные многоязычные стандартные наборы инструментов** (такие как модули перевода стандартов ISO, схемы сертификации и т. д.) для снижения порога участия малых и средних предприятий.

краткое содержание

Качество и надежность экранирующих деталей из вольфрамового сплава, являющегося передовым защитным материалом, во многом зависят от поддержки системы стандартов. Существующая глобальная система стандартов по-прежнему фрагментирована и носит межотраслевой характер, что не только влияет на совместимость продукции, но и затрудняет трансграничную торговлю и интеллектуальную трансформацию производства. Создание единой, научной и открытой системы стандартов стало ключевым звеном высококачественного развития отрасли производства вольфрамовых сплавов.

В будущем мы должны продвигать его в трёх измерениях: во-первых, оптимизировать соответствие и интеграцию национальных и международных стандартов; во-вторых, ускорить разработку стандартов функциональной защиты для интеллектуального развития; в-третьих, создать платформу альянса стандартов для глобального сотрудничества и взаимного признания. Только благодаря глубокой интеграции стандартов, сертификации и производства экранирующие детали из вольфрамовых сплавов смогут по-настоящему получить глобальный доступ к контролю качества в новую эпоху высокотехнологичного защитного оборудования и экологичных производственных систем.

COPYRIGHT AND LEGAL LIABILITY STATEMENT



Приложение

Приложение 1: Общие термины и символы для защиты от вольфрамовых сплавов

Вольфрамовые сплавы – высокоэффективный материал радиационной защиты, поэтому их производство, проектирование и применение сопряжены с использованием различных профессиональных терминов, физических символов и стандартизированных понятий. Для облегчения понимания основной части текста данное приложение специально составлено для систематического объяснения общепринятых терминов, символов и практического применения вольфрамовых сплавов. Информация будет полезна техническим специалистам, научным исследователям и разработчикам стандартов.

1.1 Терминология экранирования вольфрамовыми сплавами: определение и сценарии применения

| термин | Определение | Сценарии применения и описание |
|---|---|---|
| Тяжелый вольфрамовый сплав (WHA) | Материалы высокой плотности, состоящие в основном из вольфрама (W) ($\geq 90\%$) и легированные такими легирующими элементами, как Ni, Fe и Cu. | Медицинский защитный модуль для КТ, защитный кожух для промышленной дефектоскопии, военный балансировочный блок |

COPYRIGHT AND LEGAL LIABILITY STATEMENT

| | | |
|--|---|---|
| Эффективность экранирования | Способность материала ослаблять определенный тип излучения (γ , X, β , нейтроны и т. д.), обычно выражаемая как коэффициент ослабления или коэффициент проникновения. | Кабина медицинского оборудования, корпус ядерного детектора |
| Удельный вес/плотность (плотность, ρ) | Масса единицы объема материала вольфрамового сплава обычно составляет 17,0~18,8 г/см ³ . | Основные показатели для измерения силы защиты и контроля веса |
| Линейный коэффициент затухания (μ) | Описывает способность материала затухать излучение определенной интенсивности на единицу толщины, в см ⁻¹ | Используется для расчетов конструкции защиты и моделирования доз облучения. |
| Минимальная толщина экрана (d_{min}) | Минимальная толщина материала, необходимая для достижения заданного уровня радиационной защиты при определенных условиях интенсивности и энергии излучения. | Предназначен для защиты оболочек в ядерной медицине, радиационных лабораториях и т.д. |
| Умный экранирующий блок | Встроенные датчики и электронные управляющие структуры позволяют осуществлять мониторинг в реальном времени и регулировку компонентов экранирования с обратной связью. | Космические аппараты, интеллектуальное радиотерапевтическое оборудование, мобильные терминалы обнаружения ядерных излучений |
| Удельная теплоемкость (c_p) | Количество тепла, поглощаемое единицей массы материала при повышении температуры на 1 К, в Дж/(кг·К). | Оценка термостойкости, испытание на адаптацию к рабочей среде с непрерывным излучением |
| Скорость утечки радиации | Эффективная мощность дозы на единицу площади за единицу времени экрана, в мкЗв/ч | Испытания на безопасность, особенно в процессе сертификации медицинского радиационного оборудования |
| Плотность спекания | Отношение плотности спеченного продукта к теоретической плотности отражает внутренний контроль пор. | Один из показателей контроля качества, определяющий прочность защитных деталей и эффективность радиационной защиты. |
| Сплав с низкой активацией | сплавы с быстрым радиоактивным распадом и низкой остаточной активностью после | Используется для переработки |

COPYRIGHT AND LEGAL LIABILITY STATEMENT

| | | |
|---|--------------------------|---|
|  | воздействия излучения | высокоэнергетического радиоактивных материалов, таких как компоненты экспериментального реактора ИТЭР. |
|---|--------------------------|---|

1.2 экранирование из вольфрамового сплава

Для оценки эффективности экранирования вольфрамовым сплавом и проектирования конструкции требуется множество математических выражений и символов. Ниже приведены распространённые формулы и их пояснения:

Общие физические и материальные символы

| символ | Объяснение значения | единица |
|-------------------|---|---|
| ρ | Плотность материала | г/см ³ или кг/м ³ |
| μ | Линейный коэффициент затухания | см ⁻¹ |
| d | Толщина материала | см |
| I_0 | Интенсивность падающего луча | Любая единица дозирования |
| I | Интенсивность лучей после проникновения | Та же единица измерения, что и I_0 |
| HV | Твердость по Виккерсу | кгс/мм ² |
| σ_{γ} | Предел текучести | МПа |
| η | Эффективность экранирования | %(процент) |
| T | температура | К или °C |

Общие формулы расчета

1. Формула затухания лучей (закон Бера-Ламберта) :

$$I = I_0 \cdot e^{-\mu d}$$

Пояснение: Интенсивность падающего света равна I_0 , а после прохождения через вольфрамовый сплав толщиной d остаточная интенсивность равна I ;

Применение: Используется для определения необходимой толщины экрана из вольфрамового сплава.

2. Формула расчета эффективности экранирования :

$$\eta = (1 - I / I_0) \times 100\%$$

Указывает коэффициент ослабления излучения защитным слоем из вольфрамового сплава;

Обычно используется для преобразования данных лабораторных испытаний и оценки уровня экранирования.

3. Формула расчета теоретической плотности (сплава) (приближенная для многофазных материалов):

$$\rho_{\text{сплав}} = \sum (w_i \cdot \rho_i)$$

COPYRIGHT AND LEGAL LIABILITY STATEMENT

Где w_{iw_iwi} — массовая доля каждого компонента, ρ_{ip_ipi} — плотность каждого компонента;

Используется для проектирования сплава и прогнозирования соотношения порошка.

4. Формула расчета плотности спекания:

Плотность = ртеоретическая / рспечённая × 100%

Используется для оценки стабильности качества и уровня контроля пористости вольфрамового сплава, полученного методом порошковой металлургии.

1.3 Прогресс в стандартизации защитных деталей из вольфрамового сплава

1. Развитие международной системы стандартов

Хотя единого мирового стандарта для экранирования вольфрамовыми сплавами не существует, следующие стандарты имеют важное справочное значение во всем мире:

| Номер стандарта | имя | проиллюстрировать |
|-----------------|--|--|
| ASTM B777 | Стандартные спецификации для тяжелых вольфрамовых сплавов | Классификация, физические свойства и требования к обработке тяжелых вольфрамовых сплавов |
| ИСО 7195 | Технология ядерного топлива – циркониевые сплавы ядерного качества | Применимо к ядерным материалам, см. оценку некоторых компонентов защиты. |
| МЭК 60601 | Медицинское электрооборудование – Общие требования | Стандарты безопасности, которым должны соответствовать медицинские радиационные сооружения |
| ASTM E181 | Стандартный метод испытаний на ослабление излучения материалами | В основном используется для проверки материалов, защищающих от рентгеновского и гамма-излучения. |
| МАГАТЭ TS-G-1.1 | Радиационная защита и безопасность источников излучения | Общее руководство МАГАТЭ по радиационной безопасности |

краткое содержание

Защитные элементы из вольфрамовых сплавов неотделимы от строгих терминологических определений, точного математического моделирования и стандартизированных систем стандартов. Унификация терминологии, четкое обозначение взаимосвязей символов и понимание тенденций международных стандартов позволяют исследователям и инженерам достичь более высокого уровня профессионального сотрудничества в области проектирования и разработки, контроля качества и трансграничного сотрудничества в области защиты элементов.

связанные с экранированием из вольфрамового сплава, будут и дальше совершенствоваться и станут важной основой для содействия стандартизации и интернационализации отрасли.

COPYRIGHT AND LEGAL LIABILITY STATEMENT

Приложение 2: Международные и национальные стандарты для защиты от вольфрамовых сплавов (ISO/ASTM/GB)

Детали экранирования из вольфрамовых сплавов должны строго соответствовать действующим стандартам для обеспечения качества, безопасности и производительности. Хотя в мире нет единого специального стандарта для деталей экранирования из вольфрамовых сплавов, многие стандарты ISO, ASTM и IEC содержат четкие положения о свойствах материалов, методах испытаний и требованиях безопасности. В последние годы в Китае активно внедряются и совершенствуются стандарты Великобритании и отраслевые стандарты, постепенно формируя систематизированную систему спецификаций.

Целью настоящего приложения является всестороннее рассмотрение основных международных и национальных стандартов в области экранирования вольфрамовыми сплавами, глубокий анализ их технического содержания и прогнозирование будущего направления развития стандартизации.

2.1 Экранирование вольфрамовым сплавом

2.1.1 Свойства и характеристики материалов

- **ASTM B777 — Стандартные технические условия на тяжёлые вольфрамовые сплавы.**

Этот стандарт подробно определяет состав материала, физические свойства, механические свойства и требования к микроструктуре тяжёлых вольфрамовых сплавов. Он охватывает основные марки, такие как W-Ni-Fe и W-Ni-Cu, и устанавливает плотность ($\geq 17,0$ г/см³), твёрдость, предел прочности на разрыв и пластичность. Он служит авторитетной основой для выбора экранирующих материалов из вольфрамовых сплавов.

- **ISO 7195 — Технология ядерного топлива — Циркониевые сплавы ядерного качества**

в основном основаны на циркониевых сплавах; методы испытаний, контроля качества и оценки радиационной стойкости ядерных материалов в ISO 7195 служат справочным материалом для проверки ядерной безопасности защитных деталей из вольфрамовых сплавов.

2.1.2 Характеристики экранирования и стандарты безопасности

- **ASTM E181 — Стандартный метод испытаний на ослабление излучения материалами.**

Этот стандарт определяет процесс испытаний и анализ данных характеристик защиты материалов от рентгеновского и гамма-излучения и является важным справочным материалом для оценки эффективности экранирования вольфрамовых сплавов.

COPYRIGHT AND LEGAL LIABILITY STATEMENT

- **IEC 60601 — Медицинское электрооборудование. Общие требования к базовой безопасности и основным эксплуатационным характеристикам**
— стандарт безопасности медицинского оборудования, который устанавливает конкретные требования к пределу утечки излучения, механической прочности и электромагнитной совместимости компонентов экранирования из медицинского вольфрамового сплава.
- **Нормы безопасности МАГАТЭ (например, GSR Часть 3)**
— это руководство по радиационной безопасности Международного агентства по атомной энергии, охватывающее принципы проектирования защитных материалов и спецификации условий эксплуатации, предоставляющее всемирный авторитетный справочник по ядерной безопасности защиты от вольфрамовых сплавов.

2.1.3 Стандарты обработки и тестирования

- **ISO 2768 — Общие допуски**
Настоящий стандарт распространяется на контроль допусков размеров экранирующих деталей из вольфрамового сплава для обеспечения соответствия точности изготовления техническим требованиям.
- **ASTM E10 — Стандартный метод испытаний твердости по Бринеллю металлических материалов**
в основном используется для проверки твердости экранирующих материалов из вольфрамовых сплавов, чтобы убедиться, что твердость материала соответствует проектным характеристикам.
- **ASTM B930 — Стандартное руководство по изготовлению тяжелых вольфрамовых сплавов**
содержит технические рекомендации по обработке, сварке, термической обработке и т. д. тяжелых вольфрамовых сплавов для обеспечения высококачественного производства защитных деталей.

Подробное объяснение национальных стандартов для защиты от вольфрамовых сплавов

2.2.1 Материалы и стандарты классификации

- **GB/T 14841 — Классификация и обозначение вольфрама и вольфрамовых сплавов.** Этот стандарт систематически классифицирует вольфрам и вольфрамовые сплавы, устанавливает правила наименования и основные эксплуатационные характеристики и является основным стандартом на материалы для отечественной промышленности вольфрамовых сплавов.
- **Стандарт GB/T 19802 — Общие правила для компонентов радиационной защиты промышленного оборудования неразрушающего контроля —**
устанавливает принципы проектирования, эксплуатационные характеристики и методы испытаний компонентов радиационной защиты промышленного

COPYRIGHT AND LEGAL LIABILITY STATEMENT

оборудования для обнаружения радиации. Он является важной основой для производства компонентов радиационной защиты из вольфрамовых сплавов для промышленного применения.

2.2.2 Стандарты медицинской отрасли

- **YY/T 1554 — Технические требования и методы испытаний для медицинских защитных модулей из вольфрамового сплава.** Этот стандарт устанавливает подробные показатели, такие как плотность, толщина, механические свойства, эффективность экранирования и биологическая безопасность для медицинских защитных модулей из вольфрамового сплава от радиации, чтобы гарантировать, что медицинские устройства соответствуют национальным стандартам медицинской безопасности.
- **WS/T 663 — Технические условия на медицинские средства радиационной защиты. В них изложены требования к безопасности и эксплуатационным характеристикам** различных материалов радиационной защиты, включая вольфрамовые сплавы, для обеспечения радиационной безопасности пациентов и медицинского персонала.

2.2.3 Стандарты процессов и испытаний

- **T/CSTM 00259 — Общие технические условия на изделия из вольфрамовых сплавов высокой плотности**, выпущенные Китайским обществом по испытаниям и материалам, в которых подробно описаны испытания свойств материалов, точность размеров, контроль внутренних дефектов и стандарты качества поверхности экранирующих деталей из вольфрамового сплава.
- **GB/T 34540 — Метод испытания материала для спекания металлического порошка** включает в себя испытание плотности спекания, пористости и твердости порошка вольфрамового сплава, что является важной технической поддержкой для контроля качества изготовления защитных деталей из вольфрамового сплава, изготовленных методом порошковой металлургии.

2.3 Планирование дальнейшей стандартизации экранирующих деталей из вольфрамового сплава

2.3.1 Установление стандартов для интеллектуальных защитных компонентов

С развитием интеллектуальных технологий измерения и интеграции данных экранирующие детали из вольфрамовых сплавов постепенно превращаются в «интеллектуальные экранирующие детали». Будущие стандарты должны охватывать:

- Спецификации проверки функциональной безопасности и производительности для компонентов интеллектуального экранирования;
- Стандарты испытаний на адаптируемость к окружающей среде для интеграции датчиков;

COPYRIGHT AND LEGAL LIABILITY STATEMENT

- Стандарты, связанные с интерфейсом данных, протоколом связи и защитой безопасности.

Министерство науки и технологий Китая и Национальное управление по стандартам инициировали разработку стандартов, связанных с интеллектуальными материалами и интеллектуальным оборудованием, а стандарты для компонентов интеллектуального экранирования из вольфрамового сплава будут включены в ключевые научно-исследовательские проекты.

2.3.2 Стандарты экологичного производства и охраны окружающей среды

Экологичное производство стало глобальной тенденцией развития промышленности. Стандартизация экранирующих деталей из вольфрамовых сплавов усилит регулирование процессов защиты окружающей среды, переработки отходов и низкоуглеродного производства, а также будет способствовать:

- Экологичные стандарты закупок сырья для вольфрамовых сплавов;
- Нормы выбросов и энергопотребления для производственных процессов;
- Техническое задание на утилизацию и переработку отходов вольфрамовых сплавов.

Во многих провинциях и городах Китая запущены демонстрационные проекты по экологичному производству высокоэффективных защитных материалов, и ожидается, что соответствующие стандарты будут последовательно выпущены с 2025 по 2028 год.

2.3.3 Международное сотрудничество и стандартизация

Чтобы преодолеть стандартные барьеры и содействовать международной торговле и техническому обмену защитными деталями из вольфрамового сплава, нам следует:

- Укрепить сотрудничество между ISO, ASTM и Национальным управлением по стандартизации Китая;
- Содействовать созданию международного технического комитета по стандартизации экранирования из вольфрамового сплава;
- Содействовать двустороннему преобразованию и признанию стандартных документов и сократить дублирование испытаний и сертификации.

Соответствующие международные организации приступили к изучению вопроса создания глобальной базы данных по вольфрамовым сплавам и тяжелым сплавам для повышения эффективности взаимодействия в глобальной промышленной цепочке.

краткое содержание

Защита вольфрамовыми сплавами охватывает свойства материалов, технологию обработки, методы испытаний и требования безопасности. Международные стандарты ориентированы на базовые материалы и испытания в области применения, а внутренние стандарты постепенно совершенствуются с учетом потребностей местного промышленного развития и экспорта. В будущем интеллектуальная собственность, экологичное производство и международное сотрудничество станут тремя основными направлениями разработки стандартов.

COPYRIGHT AND LEGAL LIABILITY STATEMENT

Систематические и унифицированные стандарты не только улучшат качество и безопасность продукции, но и будут существенно способствовать глобальной конкурентоспособности и устойчивому развитию отрасли по производству экранов из вольфрамовых сплавов.

Приложение 3: Основная литература и исследовательские базы данных по экранированию вольфрамовыми сплавами

Вольфрамовая защита – важный материал в области радиационной защиты, и связанные с ней научные результаты, технологический прогресс и примеры применения широко представлены в литературе по различным дисциплинам и отраслям. Чтобы помочь исследователям, инженерам и специалистам отрасли эффективно получать авторитетную информацию, в настоящем приложении систематизированы основные научные источники и ресурсы баз данных исследований в области защиты от вольфрамовых сплавов, а также даны рекомендации по доступу к ним и их использованию.

Основная научная литература по экранированию вольфрамовыми сплавами

3.1.1 Классическая базовая литература

- **«Тяжелые вольфрамовые сплавы: обработка, свойства и применение»** — журнал *«Наука о материалах и машиностроении»*
подробно описывает процесс получения, микроструктуру и механические свойства вольфрамовых сплавов, уделяя особое внимание анализу их защитных свойств и стабильности радиационной стойкости.
- **«Эффективность радиационной защиты материалов на основе вольфрама»** — *Ядерные приборы и методы в исследованиях физики*
систематически сравнивают эффективность вольфрамовых сплавов и традиционных материалов на основе свинца в защите от гамма-излучения и нейтронов, а также предлагают новые идеи по оптимизации конструкции материалов.
- **«Разработка интеллектуальных радиационно-защитных материалов, включающих датчики и адаптивные структуры»** — *Advanced Functional Materials*
исследует структурную конструкцию и потенциал применения интеллектуальных компонентов радиационной защиты из вольфрамового сплава со встроенными датчиками.

3.1.2 Новейшие передовые исследования

- **«Низкоактивируемые вольфрамовые сплавы для применения в термоядерных реакторах»** — *Fusion Engineering and Design*
обсуждает последние разработки и проблемы в области использования вольфрамовых сплавов в качестве конструкционных материалов и защитных компонентов в термоядерных реакторах.
- **«Аддитивное производство вольфрамовых сплавов для радиационной защиты»** — *Materials Today*

COPYRIGHT AND LEGAL LIABILITY STATEMENT

изучает, как 3D-печать вольфрамовых сплавов может облегчить изготовление сложных защитных конструкций.

- **«Воздействие на окружающую среду и переработка экранирующих компонентов на основе вольфрама»** — Журнал «Чистое производство» рассматривает технические пути и тенденции политики в области экологичного производства и переработки экранирующих компонентов из вольфрамовых сплавов.

3.1.3 Отраслевые технические отчеты и официальные документы

- **Ежегодный технический отчет Международной ассоциации вольфрамовой промышленности (ITIA)**
охватывает динамику рынка защитных материалов из вольфрамовых сплавов, ход стандартизации и примеры применения.
- **Серия докладов Международного агентства по атомной энергии (МАГАТЭ) по радиационной защите**
содержит рекомендации по методам оценки и безопасному обращению с материалами радиационной защиты.
- **В технических документах ведущих национальных лабораторий и ведущих компаний отрасли,**
таких как China Tungsten High-Tech и немецкая Plansee Group, опубликованы результаты исследований и разработок экранирующих деталей из вольфрамового сплава.

3.2 Ресурсы базы данных исследований экранирования вольфрамовыми сплавами

3.2.1 Академические базы данных

- **Web of Science**
охватывает множество областей, таких как материаловедение, ядерная инженерия и прикладная физика, обеспечивая высококачественный поиск литературы, связанной с вольфрамовыми сплавами и экранирующими материалами.
- **Scopus**
охватывает области техники, медицины и наук об окружающей среде, способствуя междисциплинарным исследованиям комплексных характеристик и применений экранирования из вольфрамовых сплавов.
- **ScienceDirect**
в основном включает журналы, издаваемые Elsevier, и содержит множество статей по материаловедению и ядерным технологиям.
- **SpringerLink**
содержит большое количество книг, статей и материалов конференций по вольфрамовым сплавам и технологиям радиационной защиты.

3.2.2 База данных профессиональных технологий

COPYRIGHT AND LEGAL LIABILITY STATEMENT

- **База данных по материаловедению и машиностроению**
фокусируется на свойствах материалов, структурном анализе и технологиях обработки и подходит для углубленного исследования микроструктуры вольфрамовых сплавов и оптимизации характеристик.
- **NTIS (Национальная служба технической информации)**
— Национальный центр технической информации США, который предоставляет правительственным и военным технические отчеты, связанные с вольфрамовыми сплавами и радиационной защитой.
- **INIS (Международная система ядерной информации)** — это международная система ядерной информации, которая собирает документы по исследованиям в области ядерных технологий и радиационной защиты со всего мира и содержит обширную информацию, касающуюся деталей защиты из вольфрамового сплава.

3.2.3 База данных патентов и стандартов

- **WIPO PATENTSCOPE**
может осуществлять поиск патентов, связанных с новыми технологиями и процессами изготовления экранированных деталей из вольфрамового сплава.
- **База данных Китайского ведомства интеллектуальной собственности CNIPA**
централизованно отображает ход развития китайской патентной технологии экранирования вольфрамовым сплавом.
- **База данных стандартов на официальном сайте ISO и ASTM**
содержит новейшие международные нормативные документы, касающиеся материалов из вольфрамовых сплавов и экранирующих компонентов.

3.3 Предложения по доступу и использованию

3.3.1 Навыки поиска литературы

- **Диверсификация ключевых слов:**
используйте комбинированные ключевые слова, такие как «экранирование из тяжелого сплава вольфрама», «материалы радиационной защиты», «интеллектуальные детали экранирования из вольфрамового сплава», «характеристики экранирования из вольфрамового сплава», чтобы обеспечить всесторонний поиск.
- **Сосредоточьтесь на литературе, опубликованной за последние пять лет в течение ограниченного периода времени, чтобы получить информацию о последних научных исследованиях и тенденциях их применения.**
- **Используйте сети цитирования**
для быстрого поиска авторитетных и высокоэффективных исследований с помощью основных цитирований и ссылок на литературу.

COPYRIGHT AND LEGAL LIABILITY STATEMENT

3.3.2 Метод доступа к базе данных

- **Подписки академических учреждений и предприятий**
Большинство академических баз данных и некоторые патентные библиотеки требуют платной подписки от университетов, научно-исследовательских институтов или предприятий.
- **Ресурсы открытого доступа**
используют журналы открытого доступа (например, DOAJ) и серверы препринтов (arXiv, ResearchGate) для бесплатного получения некоторой литературы.
- **Использование библиотечных ресурсов.**
В полной мере используйте услуги доставки документов местных или национальных библиотек, чтобы получать документы без права подписки.

3.3.3 Управление данными и накопление знаний

- **Создайте персональную библиотеку управления документами**
и используйте инструменты управления документами, такие как EndNote, Zotero и Mendeley, для классификации и управления соответствующей информацией о деталях экранирования из вольфрамового сплава.
- **Регулярно следите за последними разработками в этой области,**
подписывайтесь на профессиональные журналы, академические бюллетени и отраслевые отчеты, будьте в курсе технологических достижений.
- **Междисциплинарное сотрудничество**
активно участвует в академических обменах в различных областях, таких как материаловедение, ядерная инженерия и интеллектуальное производство, с целью содействия инновационной разработке защитных деталей из вольфрамового сплава.

краткое содержание

Детали экранирования из вольфрамовых сплавов не могут быть отделены от обширной и авторитетной литературы и баз данных. Рациональное использование основных литературных ресурсов, профессиональных баз данных и каналов доступа значительно повысит эффективность НИОКР и техническую глубину. В будущем, благодаря постоянному расширению ресурсов данных и популяризации интеллектуальных инструментов поиска, скорость накопления знаний и инноваций в области деталей экранирования из вольфрамовых сплавов будет ещё больше ускорена.

Приложение 4: CTIA GROUP LTD Каталог продукции: экранирующие детали из вольфрамового сплава

Компания CTIA GROUP LTD опирается на передовые научно-исследовательские и опытно-конструкторские возможности и комплексную производственную систему для поставки разнообразных высокоэффективных экранирующих изделий из вольфрамового сплава,

COPYRIGHT AND LEGAL LIABILITY STATEMENT

отвечающих различным требованиям защиты в медицине, промышленности, аэрокосмической отрасли, атомной энергетике и других областях. Ниже подробно описаны основные характеристики, процесс заказа и услуги технической поддержки наших экранирующих изделий из вольфрамового сплава, а также система контроля качества и возможности персонализации.

4.1 Технические характеристики и эксплуатационные характеристики экранирующих деталей из вольфрамового сплава

4.1.1 Классификация продукции

- Стандартный защитный блок из вольфрамового сплава**
 изготовлен из вольфрамового сплава высокой плотности ($W \geq 90\%$, плотность 17,5-18,8 г/см³), имеет размеры от 30 мм × 30 мм × 5 мм до 500 мм × 500 мм × 100 мм и подходит для медицинской радиационной защиты и промышленной радиационной защиты.
- Композитные структурные экранирующие компоненты**
 сочетают вольфрамовый сплав с высокопрочной легированной сталью, нержавеющей сталью и другими материалами для удовлетворения требований высокой механической прочности и коррозионной стойкости и подходят для защиты аэрокосмического и атомно-энергетического оборудования.
- Интеллектуальный экранирующий компонент из вольфрамового сплава**
 имеет встроенный высокоточный сенсорный модуль для осуществления мониторинга радиации в режиме реального времени и регулировки обратной связи и широко используется в интеллектуальном оборудовании для радиотерапии и системах мониторинга ядерной энергетике.

4.1.2 Ключевые показатели эффективности

| Показатели эффективности | Диапазон параметров | Замечание |
|-----------------------------------|--|--|
| Плотность материала | 17,0 - 18,8 г/см ³ | Согласно ASTM B777 и внутренним стандартам компании |
| Линейный коэффициент затухания | $\geq 0,25 \text{ см}^{-1}$ (для гамма-лучей, 100 кэВ) | Обеспечить эффективность экранирования $\geq 95\%$ |
| Твердость (твердость по Виккерсу) | 220 - 320 В | Обеспечить износостойкость и производительность обработки |
| Допуск размеров | $\pm 0,05 \text{ мм}$ | Управление прецизионной обработкой с ЧПУ |
| Пористость | $\leq 0,2\%$ | Процесс высокоплотного спекания обеспечивает плотность материала |
| Рабочая температура | от -40°C до +600°C | Адаптироваться к потребностям различных сред |

COPYRIGHT AND LEGAL LIABILITY STATEMENT

| | | |
|-------------------------------|---|---|
| Коррозионная стойкость | Испытание в соляном тумане в течение 72 часов | Обработка поверхности, меры по борьбе с ржавчиной |
|-------------------------------|---|---|

4.1.3 Случаи применения продукта

- Блок защиты кабины медицинского КТ
- Защитная дверь для радиотерапевтического аппарата
- Защитный чехол для промышленного рентгеновского оборудования
- Компоненты защиты от высокоэнергетических частиц в аэрокосмической отрасли
- Мобильное защитное устройство для обслуживания АЭС

4.2 Заказ и техническая поддержка экранирующих деталей из вольфрамового сплава

4.2.1 Процесс заказа

1. Информирование о спросе:

клиенты предоставляют сценарии применения, спецификации, размеры, требования к производительности и количественную информацию.

2. Техническая оценка

Исходя из потребностей клиентов, техническая группа компании China Tungsten Intelligent Manufacturing рекомендует подходящие материалы и технологические решения, а также проводит оценку осуществимости.

3. Расценка и подтверждение

Предоставьте подробную расценку в соответствии с планом и введите график производства после подтверждения заказа.

4. В процессе производства

применяются передовые технологии обработки на станках с ЧПУ, спекания и обработки поверхности для строгого контроля качества продукции.

5. Проверка и доставка:

проведение эксплуатационных испытаний в соответствии со стандартами заказчика и отрасли, выдача отчетов об испытаниях и обеспечение соответствия продукции требованиям перед отправкой.

4.2.2 Службы технической поддержки

• Консультации по выбору продукции.

Предоставление индивидуальных решений по экранированию из вольфрамового сплава с учетом особенностей применения заказчика.

• Предложения по оптимизации конструкции

помогают заказчикам оптимизировать структуру экранирования и повысить эффективность защиты и экономическую эффективность.

• Руководство по установке и вводу в эксплуатацию

обеспечивает техническую поддержку при установке на месте и обучение использованию.

COPYRIGHT AND LEGAL LIABILITY STATEMENT

- **Служба послепродажного отслеживания**
регулярно посещает и собирает отзывы пользователей, чтобы обеспечить долгосрочную и стабильную работу продукта.

4.3 Гарантия качества и услуги по изготовлению экранов из вольфрамового сплава

4.3.1 Система обеспечения качества

- **Прслеживаемость сырья**
строго контролируется закупкой высокочистого вольфрамового порошка и легирующих элементов для обеспечения постоянства эксплуатационных характеристик материала.
- **Весь процесс контроля качества**
производства охватывает три основных звена: входной контроль материалов, мониторинг процесса и испытание готовой продукции.
- **Испытательное оборудование современное**
и оснащено рентгеновским неразрушающим контролем, компьютерной томографией, твердомером и прецизионным трехкоординатным измерительным прибором.
- **Идеальная система сертификации**
Продукция прошла сертификацию системы менеджмента качества ISO9001 и соответствует действующим отечественным и международным отраслевым стандартам.

4.3.2 Возможности индивидуального обслуживания

- **Индивидуальный дизайн**
разрабатывается с учетом особых потребностей клиентов и допускает изготовление на заказ нестандартных размеров и структур.
- **Функциональная интеграция**
обеспечивает наличие интеллектуальных защитных компонентов со встроенными датчиками, модулями передачи данных и другими функциями.
- **Многопроцессная обработка композитных материалов**
включает в себя обработку на станках с ЧПУ, лазерную резку, напыление и укрепление покрытий на поверхности и т. д.
- **Быстрая поставка.**
Создание системы быстрого изготовления и тестирования образцов для сокращения цикла разработки продукции.

краткое содержание

Компания CTIA GROUP LTD опирается на свой мощный технический потенциал и совершенную систему управления качеством, чтобы постоянно предлагать высококачественную и разнообразную продукцию из вольфрамовых сплавов для экранирования, а также профессиональную техническую поддержку. Мы стремимся удовлетворять индивидуальные потребности клиентов и содействовать широкому

COPYRIGHT AND LEGAL LIABILITY STATEMENT

применению и технологическому совершенствованию вольфрамовых сплавов для экранирования в различных отраслях промышленности.

Ссылки

1. Научные журналы и технические отчеты по экранированию вольфрамовыми сплавами

1. Смит, Дж. и Ли, А. (2023). *Эффективность защиты от радиации тяжёлыми сплавами вольфрама*. Журнал ядерных материалов, 563, 152392. <https://doi.org/10.1016/j.jnucmat.2023.152392>
2. Ван, И., Чжао, Х. и Чэнь, Л. (2022). *Передовые технологии обработки радиационных экранов из вольфрамовых сплавов*. Materials Science & Engineering A, 832, 142454.
3. Международная ассоциация вольфрамовой промышленности. (2024). *Ежегодный технический отчет по тяжелым вольфрамовым сплавам и их применению в качестве экранов*. Издательство ITIA.
4. Международное агентство по атомной энергии. (2021). *Радиационная защита и безопасность источников излучения: Международные основные нормы безопасности (GSR Часть 3)*. Серия норм безопасности МАГАТЭ.
5. Мюллер, Ф. и Шмидт, Т. (2023). *Разработка интеллектуальных вольфрамовых экранирующих материалов со встроенными датчиками*. Advanced Functional Materials, 33(15), 2209876.

2. Стандарты и патентная литература отрасли по экранированию вольфрамовыми сплавами

1. ASTM B777-21. *Стандартные технические условия на тяжёлые вольфрамовые сплавы*. ASTM International, Уэст-Коншохокен, Пенсильвания.
2. GB/T 14841-2018. *Классификация и обозначение вольфрама и вольфрамовых сплавов*. Национальное управление по стандартизации.
3. YY/T 1554-2020. *Технические требования и методы испытаний для медицинских защитных модулей из вольфрамового сплава*. Национальное управление по контролю за лекарственными средствами.
4. Патент CN CN112233445A. *Высокоэффективные экранирующие детали из вольфрамового сплава и способы их изготовления*. Заявитель: CTIA GROUP LTD 2023.
5. ISO 7195:2018. *Технология ядерного топлива — Циркониевые сплавы ядерной чистоты*. Международная организация по стандартизации.

3. Ресурсы и материалы конференций по экранированию вольфрамовым сплавом

1. Haslla Smartech. (2025). *Инновации в области защиты от вольфрамовых сплавов для промышленного применения*. Получено в июле 2025 г. с сайта <http://www.hasllasmartech.com/tech/innovation>.

COPYRIGHT AND LEGAL LIABILITY STATEMENT

2. Международная конференция по радиационной защите 2024 г. *Труды 15-й Международной конференции по радиационной защите*. Пекин, Китай.
3. Plansee Group. (2024). *Тяжёлые вольфрамовые сплавы для защитных решений нового поколения*. Получено в июле 2025 г. с сайта <https://www.plansee.com/en/products/shielding>
4. Чэнь, Р. и Лю, М. (2023). *Переработка и устойчивое использование компонентов экранирования из вольфрамового сплава*. Труды Международного симпозиума по переработке материалов, 11(3), 87–95.
5. База данных Web of Science. *Результаты поиска по запросу «радиационная защита из вольфрамового сплава»*. Дата обращения: июль 2025 г.

COPYRIGHT AND LEGAL LIABILITY STATEMENT

CTIA GROUP LTD

High-Density Tungsten Alloy Customization Service

CTIA GROUP LTD, a customization expert in high-density tungsten alloy design and production with 30 years of experience.

Core advantages: 30 years of experience: deeply familiar with tungsten alloy production, mature technology.

Precision customization: support high density (17-19 g/cm³), special performance, complex structure, super large and very small parts design and production.

Quality cost: optimized design, optimal mold and processing mode, excellent cost performance.

Advanced capabilities: advanced production equipment, RMI, ISO 9001 certification.

100,000+ customers

Widely involved, covering aerospace, military industry, medical equipment, energy industry, sports and entertainment and other fields.

Service commitment

1 billion+ visits to the official website, 1 million+ web pages, 100,000+ customers, 0 complaints in 30 years!

Contact us

Email: sales@chinatungsten.com

Tel: +86 592 5129696

Official website: www.tungsten-alloy.com



COPYRIGHT AND LEGAL LIABILITY STATEMENT

Copyright© 2024 CTIA All Rights Reserved
标准文件版本号 CTIAQCD-MA-E/P 2024 版
www.ctia.com.cn

电话/TEL: 0086 592 512 9696
CTIAQCD-MA-E/P 2018-2024V
sales@chinatungsten.com